

F4110
Kvantová fyzika atomárních soustav
letní semestr 2010 - 2011

X.

Vibrace molekul a skleníkový jev

KOTLÁŘSKÁ 27. DUBNA 2011

Úvodem

- Exkurs do prostorové symetrie vibrací a využití teorie bodových grup a jejich representací
- Proč (a kdy) nemusíme kvantovat vibrační pohyb molekul?
- Jaké jsou podmínky, aby určitá vibrace byla IR aktivní?
- Jaký je vliv anharmonických oprav?
- Skleníkový efekt: přehled
- Skleníkový efekt: role skleníkových plynů

Minule ...

Minule: Adiabatický Hamiltonián víceatomové molekuly

$$\hat{H} = \sum_I \frac{1}{2M_I} \mathbf{p}_I^2 + U(\mathbf{r}_1, \dots, \mathbf{r}_n)$$

Explicitní dynamika jader jako hmotných bodů. Elektrony jako nehmotný tmel stabilizující molekulu svým příspěvkem do potenciální energie U .

Molekula může volně letět prostorem a rotovat jako celek.
Kromě toho koná vnitřní pohyby – vibrace.

DVĚ CESTY

Globální pohyby jsou zabudovány od začátku tím, že potenciální energie je vyjádřena jako funkce relativních vzdáleností atomů $|\mathbf{r}_I - \mathbf{r}_J|$

To byl postup v případě dvou-atomové molekuly v F IV.

Globální pohyby jsou pominuty, molekula je umístěna v prostoru. Minimum potenciální energie určuje rovnovážné polohy atomů, kolem nichž dochází k malým vibracím.

Dodatečně je využito toho, že potenciální energie se nemění při infinitesimálních translacích a rotacích molekuly jako tuhého celku.

Tak budeme nyní postupovat.

Minule: Harmonická approximace

Rovnovážné polohy atomů

$$\nabla_I U(\mathbf{r}_J = \mathbf{R}_J) = 0, \quad I = 1, \dots, n$$

Výchylky

$$\mathbf{u}_I = \mathbf{r}_I - \mathbf{R}_I$$

Harmonická approximace ... Taylorův rozvoj potenciální energie do 2. řádu

$$U = U(\mathbf{R}_I) + \frac{1}{2} \sum_I \sum_J \mathbf{u}_I \frac{\nabla^2 U(\mathbf{R}_I)}{\|\mathbf{r}_I\| \|\mathbf{r}_J\|} \mathbf{u}_J + \text{L}$$

Pohybové rovnice

pro polohy $M_I \ddot{\mathbf{r}}_I = -\nabla_I U(\mathbf{r}_J)$

pro výchylky $M_I \ddot{\mathbf{u}}_I = -\nabla_I U(\mathbf{R}_J + \mathbf{u}_J)$

Soustava vázaných diferenciálních rovnic. V harmonické approximaci lineárních.

Přepíšeme maticově.

Minule: Konfigurační prostor

Zavedeme konfigurační prostor dimenze $3N$

$$\mathbf{u} = \begin{vmatrix} \mathbf{u}_1 \\ \vdots \\ \mathbf{u}_n \end{vmatrix} = \begin{vmatrix} u_{1x} \\ u_{1y} \\ u_{1z} \\ \vdots \\ u_{nx} \\ u_{ny} \\ u_{nz} \end{vmatrix} = \begin{vmatrix} u_1 \\ u_2 \\ u_3 \\ \vdots \\ u_{3n-2} \\ u_{3n-1} \\ u_{3n} \end{vmatrix}$$

Pohybové rovnice v maticovém tvaru

$$M_i \ddot{u}_i = - \sum_j K_{ij} u_j, \quad K_{ij} = \underbrace{\frac{\partial^2 U}{\partial u_i \partial u_j}}_{\text{silové konstanty (tuhosti)}}$$

Mü = -Ku

Matice hmotností
reálná symetrická
positivně definitní
diagonální

M

Matice tuhostí
reálná symetrická
positivně semi-definitní
má vlastní číslo 0

K

Minule: Normální kmity

Porovnejme

jeden lineární oscilátor

$$M\ddot{u} = -Ku$$

$$u = a e^{-i\omega t}$$

$$\omega^2 = \frac{K}{M}$$

Zobecněný problém vlastních vektorů

maticový zápis vázaných oscilátorů

$$M\ddot{u} = -Ku$$

$$u = a e^{-i\omega t}$$

?

NORMÁLNÍ KMIT ("mód")

$$\omega^2 Ma = Ka$$

$$\det(\omega^2 M - K) = 0 \quad \text{sekulární rovnice}$$

$$b = M^{\frac{1}{2}} a$$

$$\omega^2 b = Db, \quad D = M^{-\frac{1}{2}} K M^{-\frac{1}{2}}$$

dynamická matice

Minule: Ortogonalita v zobecněném problému vlastních čísel

vzpomínka

$$\left. \begin{array}{l} \mathbf{A}\mathbf{u}_1 = \alpha_1 \mathbf{u}_1 \\ \mathbf{A}\mathbf{u}_2 = \alpha_2 \mathbf{u}_2 \end{array} \right\} \alpha_1 \neq \alpha_2 \Rightarrow \mathbf{u}_1^T \mathbf{u}_2 = 0$$

aplikace na daný problém

$$\left. \begin{array}{l} \mathbf{D}\mathbf{b}_1 = \omega_1^2 \mathbf{b}_1 \\ \mathbf{D}\mathbf{b}_2 = \omega_1^2 \mathbf{b}_2 \end{array} \right\} \omega_1^2 \neq \omega_1^2 \Rightarrow \mathbf{b}_1^T \mathbf{b}_2 = 0$$

zpětná substituce dá zobecněné relace ortogonality

$$\left. \begin{array}{l} \mathbf{K}\mathbf{a}_1 = \omega_1^2 \mathbf{M}\mathbf{a}_1 \\ \mathbf{K}\mathbf{a}_2 = \omega_1^2 \mathbf{M}\mathbf{a}_2 \end{array} \right\} \omega_1^2 \neq \omega_1^2 \Rightarrow \mathbf{a}_1^T \mathbf{M}\mathbf{a}_2 = 0$$

Čtyři otázky na cestě ke kvantové teorii vibrační spektroskopie molekul

Čtyři otázky

1. Jak systematicky využít symetrii polyatomických molekul k zjednodušení dynamického problému v harmonické approximaci
2. Jak je možné studovat kmity atomárního systému pomocí klasické mechaniky
3. Kdy lze kmity molekul pozorovat v infračervené spektroskopii
4. Jak se projeví (třeba i slabé) anharmonické opravy

Čtyři otázky

1. Jak systematicky využít symetrii polyatomických molekul k zjednodušení dynamického problému v harmonické approximaci
2. Jak je možné studovat kmity atomárního systému pomocí klasické mechaniky
3. Kdy lze kmity molekul pozorovat v infračervené spektroskopii
4. Jak se projeví (třeba i slabé) anharmonické opravy

... A JAK TOTO VŠECHNO SOUVISÍ SE
SKLENÍKOVÝM JEVEM

1

Využití symetrie při studiu vibrací molekul:
molekula vody

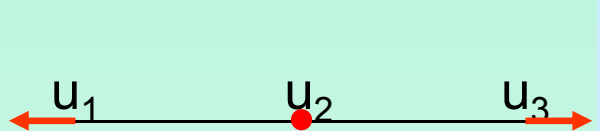
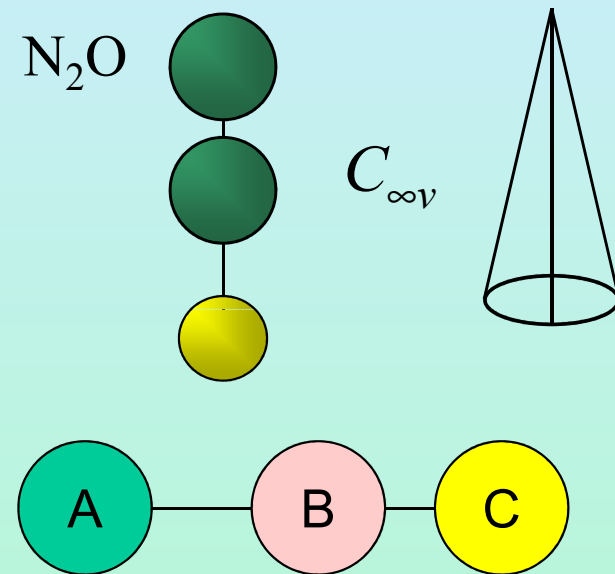
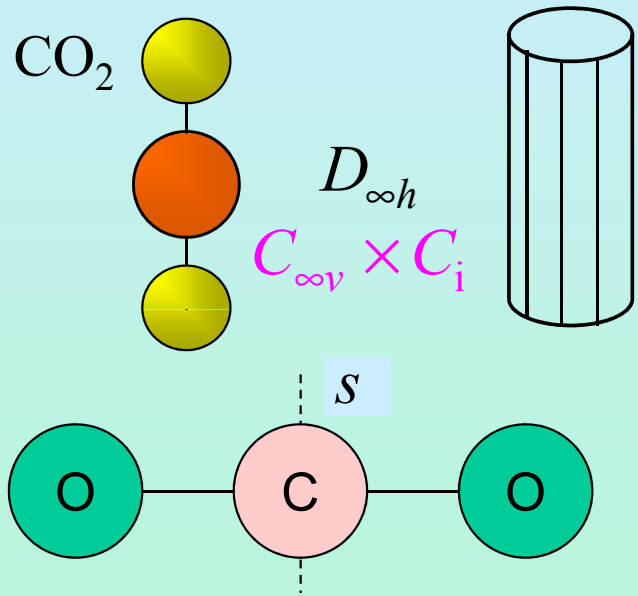
1

Využití symetrie při studiu vibrací molekul:
molekula vody
-- příští cvičení

1

Využití symetrie při studiu vibrací molekul:
molekula CO_2 vs. N_2O

Molekula CO_2 vs. N_2O : srovnání podélných kmitů



$$\begin{aligned} u_1 \\ u_2 &= 0 \\ u_3 &= -u_1 \end{aligned}$$



$$\begin{aligned} u_1 \\ u_2 &= -\frac{2M}{m}u_1 \\ u_3 &= +u_1 \end{aligned}$$



Čtyři otázky

1. ✓ Jak systematicky využít symetrii polyatomických molekul k zjednodušení dynamického problému v harmonické approximaci
2. Jak je možné studovat kmity atomárního systému pomocí klasické mechaniky a jak v kvantové oblasti
3. Kdy lze kmity molekul pozorovat v infračervené spektroskopii
4. Jak se projeví (třeba i slabé) anharmonické opravy

... A JAK TOTO VŠECHNO SOUVISÍ SE
SKLENÍKOVÝM JEVEM

2

Klasický a kvantový přístup
k molekulárním vibracím

DVA ALTERNATIVNÍ POSTUPY

Adiabatický Hamiltonián zapíšeme ve výchylkách (zatím klasicky)

$$\hat{H} = \sum_I \frac{1}{2M_I} \mathbf{p}_I^2 + U(\mathbf{R}_I + \mathbf{u}_I, \dots, \mathbf{R}_n + \mathbf{u}_n)$$

1. HARMONICKÉ PŘIBLÍŽENÍ pro U
rovnovážná konfigurace molekuly
2. vyhledání vlastních kmitů a jejich
frekvencí ... čistě klasicky
3. v harmonické approximaci soubor
 $3n - 6(5)$ nezávislých kmitů
4. amplitudy kmitů jako Lagrangeovy
zobecněné souřadnice nezávislých
harmonických oscilátorů
5. KVANTOVÁNÍ těchto oscilátorů
6. započtení anharmonických oprav –
interakce kvantových oscilátorů

1. KVANTOVÁNÍ adiabatického
Hamiltoniánu pro systém o $3n$
stupních volnosti
2. oddělení globálních stupňů volnosti
3. pohybové rovnice pro vnitřní stupně
volnosti a jejich formální řešení
4. HARMONICKÉ PŘIBLÍŽENÍ –
molekula jako systém vázaných
kvantových oscilátorů
5. jejich transformace na nezávislé
oscilátory
6. započtení anharmonických oprav –
interakce kvantových oscilátorů

B06: Schrödingerovy vlny: stacionární (nečasová) SR

Volná částice:

rovinná vlna

$$\mathbf{k} \rightarrow -\mathbf{k}$$

tomu odpovídá

Schrödingerova
rovnice

Částice ve vnějším
poli:

stacionární řešení
nečasová
Schrödingerova
rovnice

$$\Psi(\mathbf{r}, t) = A e^{-i(\omega t - \mathbf{k} \cdot \mathbf{r})}$$

$$\Psi'(\mathbf{r}, t) = A e^{-i(\omega t + \mathbf{k} \cdot \mathbf{r})}$$

$$E = \frac{1}{2} m \mathbf{v}^2 = \frac{1}{2m} \mathbf{p}^2$$

de Broglie

$$\mathbf{k} = \mathbf{p} / \hbar, \quad \omega = E / \hbar$$

dvě řešení ... stoj. vlna

dispersní zákon

$$i\hbar \frac{\partial}{\partial t} \Psi(\mathbf{r}, t) = -\frac{\hbar^2}{2m} \Delta \Psi(\mathbf{r}, t)$$

- 1. řádu v t počáteční podm. $\Psi(\mathbf{r}, t_0)$
kvantová kausalita
- lineární **princip superposice**

$$i\hbar \frac{\partial}{\partial t} \Psi(\mathbf{r}, t) = -\frac{\hbar^2}{2m} \Delta \Psi(\mathbf{r}, t) + V(\mathbf{r}) \Psi(\mathbf{r}, t)$$

$$+ \Delta \psi(\mathbf{r}) + \frac{2m}{\hbar^2} (E - V(\mathbf{r})) \psi(\mathbf{r}) = 0, \quad \Psi(\mathbf{r}, t) = \psi(\mathbf{r}) e^{-i\omega t}$$

vlastní
energie

vlastní
funkce

prostorová
amplituda

energiové hladiny

orbitály

Kvantování lineárního oscilátoru

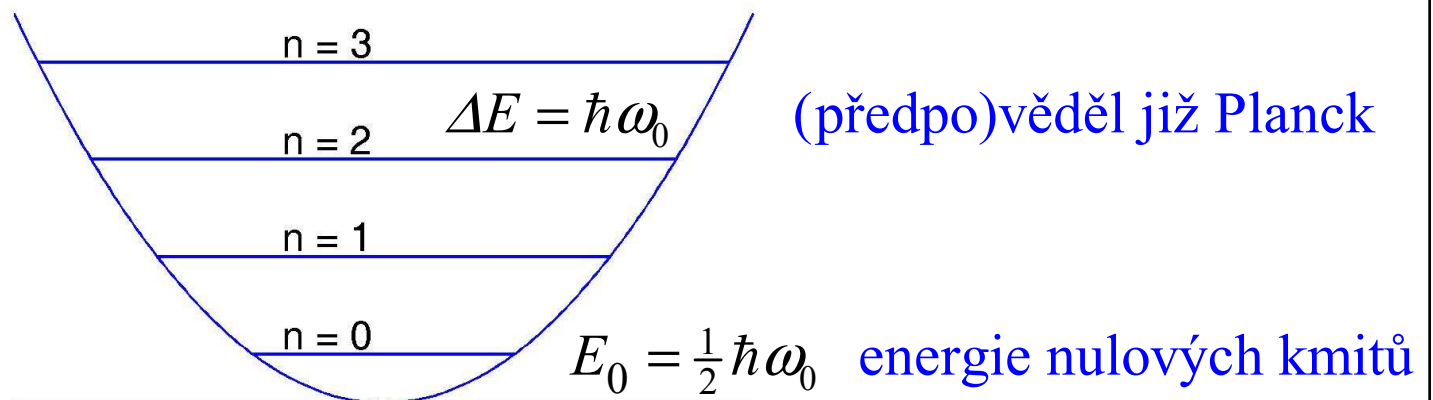
SCHRÖDINGEREOVA ROVNICE

$$+\frac{d^2}{dx^2}\psi(x) + \frac{2m}{\hbar^2}(E - V(x))\psi(x) = 0, \quad \Psi(x, t) = \psi(x)e^{-i\omega t}, \quad \omega = \frac{E}{\hbar}$$

$V(x) = \frac{1}{2}m\omega_0^2 \cdot x^2$ potenciální energie

$$E_n = \hbar\omega_0(n + \frac{1}{2}) \quad n = 0, 1, 2, \dots$$

harmonická approximace
ekvidistantní hladiny



Jak je možné studovat kmity atomárního systému pomocí kvantové mechaniky

KVANTOVÝ POSTUP (důsledné zpracování problému)

Adiabatický Hamiltonián zapíšeme ve výchylkách

$$\hat{H} = \sum_I \frac{1}{2M_I} \mathbf{p}_I^2 + U(\mathbf{R}_1 + \mathbf{u}_1, \dots, \mathbf{R}_n + \mathbf{u}_n)$$

Jak je možné studovat kmity atomárního systému pomocí kvantové mechaniky

KVANTOVÝ POSTUP (důsledné zpracování problému)

Adiabatický Hamiltonián zapíšeme ve výchylkách

$$\hat{H} = \sum_I \frac{1}{2M_I} \mathbf{p}_I^2 + U(\mathbf{R}_1 + \mathbf{u}_1, \dots, \mathbf{R}_n + \mathbf{u}_n)$$

Hybnosti jsou kanonicky sdružené jak s polohami, tak s výchylkami. Provedeme kvantování

$$[u_m, p_n] = i\hbar\delta_{mn} \quad \text{v souřadnicové representaci} \quad p_n = -i\hbar \frac{\partial}{\partial u_n}$$

Jak je možné studovat kmity atomárního systému pomocí kvantové mechaniky

KVANTOVÝ POSTUP (důsledné zpracování problému)

Adiabatický Hamiltonián zapíšeme ve výchylkách

$$\hat{H} = \sum_I \frac{1}{2M_I} \mathbf{p}_I^2 + U(\mathbf{R}_1 + \mathbf{u}_1, \dots, \mathbf{R}_n + \mathbf{u}_n)$$

Hybnosti jsou kanonicky sdružené jak s polohami, tak s výchylkami. Provedeme kvantování

$$[u_m, p_n] = i\hbar\delta_{mn} \quad \text{v souřadnicové representaci} \quad p_n = -i\hbar \frac{\partial}{\partial u_n}$$

Vlnová funkce má za argument vektor konfiguračního prostoru. Pro ni máme řešit Schrödingerovu rovnici:

$$i\hbar \frac{\partial}{\partial t} |\Psi\rangle = \hat{H} |\Psi\rangle, \quad |\Psi\rangle \leftrightarrow \Psi(u_1, \dots, u_n; t)$$

Jak je možné studovat kmity atomárního systému pomocí kvantové mechaniky

KVANTOVÝ POSTUP (důsledné zpracování problému)

Adiabatický Hamiltonián zapíšeme ve výchylkách

$$\hat{H} = \sum_I \frac{1}{2M_I} \mathbf{p}_I^2 + U(\mathbf{R}_1 + \mathbf{u}_1, \dots, \mathbf{R}_n + \mathbf{u}_n)$$

Hybnosti jsou kanonicky sdružené jak s polohami, tak s výchylkami. Provedeme kvantování

$$[u_m, p_n] = i\hbar\delta_{mn} \quad \text{v souřadnicové representaci} \quad p_n = -i\hbar \frac{\partial}{\partial u_n}$$

Vlnová funkce má za argument vektor konfiguračního prostoru. Pro ni máme řešit Schrödingerovu rovnici:

$$i\hbar \frac{\partial}{\partial t} |\Psi\rangle = \hat{H} |\Psi\rangle, \quad |\Psi\rangle \leftrightarrow \Psi(u_1, \dots, u_n; t)$$

Tato vlnová funkce $3n$ proměnných obsahuje úplnou informaci o systému, je však velmi nenázorná a také obtížná k manipulaci. Rozhodně se nepodobá představě o klasických kmitajících částicích.

Jak je možné studovat kmity atomárního systému pomocí kvantové mechaniky

KVANTOVÝ POSTUP (důsledné zpracování problému)

Adiabatický Hamiltonián zapíšeme ve výchylkách

$$\hat{H} = \sum_I \frac{1}{2M_I} \mathbf{p}_I^2 + U(\mathbf{R}_1 + \mathbf{u}_1, \dots, \mathbf{R}_n + \mathbf{u}_n)$$

Hybnosti jsou kanonicky sdružené jak s polohami, tak s výchylkami. Provedeme kvantování

$$[u_m, p_n] = i\hbar\delta_{mn} \quad \text{v souřadnicové representaci} \quad p_n = -i\hbar \frac{\partial}{\partial u_n}$$

Vlnová funkce má za argument vektor konfiguračního prostoru. Pro ni máme řešit Schrödingerovu rovnici:

$$i\hbar \frac{\partial}{\partial t} |\Psi\rangle = \hat{H} |\Psi\rangle, \quad |\Psi\rangle \leftrightarrow \Psi(u_1, \dots, u_n; t)$$

Tato vlnová funkce $3n$ proměnných obsahuje úplnou informaci o systému, je však velmi nenázorná a také obtížná k manipulaci. Rozhodně se nepodobá představě o klasických kmitajících částicích.

V harmonické approximaci je však oba pohledy možno těsně sblížit →

Dva postupy vhodné pro harmonickou approximaci

"STANDARDNÍ POSTUP"

Od úplné SR

$$i\hbar \frac{\partial}{\partial t} |\Psi\rangle = \hat{H} |\Psi\rangle$$

přejdeme k hledání **stacionárních stavů** z nečasové SR

$$|\Psi\rangle = e^{-iEt/\hbar} |\Phi\rangle$$

$$\hat{H} |\Phi\rangle = E |\Phi\rangle$$

Pouze v harmonické approximaci je možná separace proměnných
(nebudeme provádět)

$$|\Phi\rangle = \prod_{\alpha} |\alpha; n_{\alpha}\rangle$$

$$\hat{H} = \sum_{\alpha} \hat{H}_{\alpha}$$

$$E = \sum_{\alpha} (n_{\alpha} + \frac{1}{2}) \omega_{\alpha}$$

nezávislé
normální
kmity

Dva postupy vhodné pro harmonickou approximaci

"STANDARDNÍ POSTUP"

Od úplné SR

$$i\hbar \frac{\partial}{\partial t} |\Psi\rangle = \hat{H} |\Psi\rangle$$

přejdeme k hledání **stacionárních stavů** z nečasové SR

$$|\Psi\rangle = e^{-iEt/\hbar} |\Phi\rangle$$

$$\hat{H} |\Phi\rangle = E |\Phi\rangle$$

Pouze v harmonické approximaci je možná separace proměnných
(nebudeme provádět)

$$|\Phi\rangle = \prod_{\alpha} |\alpha; n_{\alpha}\rangle$$

$$\hat{H} = \sum_{\alpha} \hat{H}_{\alpha}$$

$$E = \sum_{\alpha} (n_{\alpha} + \frac{1}{2}) \omega_{\alpha}$$

nezávislé normální kmity

nezávislé amplitudy pravděpodobnosti se násobí
energie nezávislých normálních kmitů se sčítají

energie každého kmitu se kvantuje zvlášť

Dva postupy vhodné pro harmonickou approximaci

"STANDARDNÍ POSTUP"

Od úplné SR

$$i\hbar \frac{\partial}{\partial t} |\Psi\rangle = \hat{H} |\Psi\rangle$$

přejdeme k hledání **stacionárních stavů** z nečasové SR

$$|\Psi\rangle = e^{-iEt/\hbar} |\Phi\rangle$$

$$\hat{H} |\Phi\rangle = E |\Phi\rangle$$

Pouze v harmonické approximaci je možná separace proměnných (nebudeme provádět)

$$|\Phi\rangle = \prod_{\alpha} |\alpha; n_{\alpha}\rangle$$

nezávislé
normální
kmity

$$\hat{H} = \sum_{\alpha} \hat{H}_{\alpha}$$

$$E = \sum_{\alpha} (n_{\alpha} + \frac{1}{2}) \omega_{\alpha}$$

SMĚREM KE "KLASICE"

Počítáme střední hodnoty pozorovatelných

$$\langle \Psi | A | \Psi \rangle \equiv \langle A \rangle$$

v závislosti na čase. To odpovídá klasickému obrazu. Pro časovou změnu platí **Ehrenfestův teorém**

$$\langle \hat{A} \rangle^{\square} = \langle (i\hbar)^{-1} [\hat{A}, \hat{H}] \rangle$$

operátor
časové
změny

Tyto vztahy mají podobu pohybových rovnic, které však zpravidla nejsou uzavřené.

Harmonická approximace je v tom výjimečná

Jak je možné studovat kmity atomárního systému pomocí klasické mechaniky

"KVANTOVÉ HAMILTONOVY ROVNICE":

$$M_i \langle u_i \rangle^{\square} = \langle p_i \rangle, \quad \langle p_i \rangle^{\square} = - \left\langle \frac{\partial}{\partial u_i} U \right\rangle$$

v harmonické approximaci tak dostáváme

$$M_i \langle u_i \rangle^{\square\!\square} = - \sum_k K_{ik} \langle u_k \rangle$$

tedy **střední hodnoty výchylek splňují klasické Newtonovy rovnice.**

Jak je možné studovat kmity atomárního systému pomocí klasické mechaniky

"KVANTOVÉ HAMILTONOVY ROVNICE":

$$M_i \langle u_i \rangle^{\square} = \langle p_i \rangle, \quad \langle p_i \rangle^{\square} = - \left\langle \frac{\partial}{\partial u_i} U \right\rangle$$

v harmonické approximaci tak dostáváme

$$M_i \langle u_i \rangle^{\square\!\!\square} = - \sum_k K_{ik} \langle u_k \rangle$$

tedy **střední hodnoty výchylek splňují klasické Newtonovy rovnice.**

Navíc se oscilující klubka během času nerozplývají, jejich neurčitost zůstává konečná. Vezměme jeden oscilátor s amplitudou rozkmitu \bar{x} :

$$\begin{aligned} E &= \frac{1}{2m} \langle p^2 \rangle + \frac{1}{2} m \omega_0^2 \langle x^2 \rangle \\ &= \frac{1}{2m} \langle p \rangle^2 + \frac{1}{2} m \omega_0^2 \langle x \rangle^2 + \frac{1}{2m} \left\langle (p - \langle p \rangle)^2 \right\rangle + \frac{1}{2} m \omega_0^2 \left\langle (x - \langle x \rangle)^2 \right\rangle \\ &= \underbrace{E_{\text{cl}}}_{m \omega_0^2 \bar{x}^2} + \underbrace{\frac{1}{2m} \Delta^2 p + \frac{1}{2} m \omega_0^2 \Delta^2 x}_{E - E_{\text{cl}} = \text{const}} \end{aligned}$$

Jak je možné studovat kmity atomárního systému pomocí klasické mechaniky

"KVANTOVÉ HAMILTONOVY ROVNICE":

$$M_i \langle u_i \rangle^{\square} = \langle p_i \rangle, \quad \langle p_i \rangle^{\square} = - \left\langle \frac{\partial}{\partial u_i} U \right\rangle$$

v harmonické approximaci tak dostáváme

$$M_i \langle u_i \rangle^{\square\!\!\square} = - \sum_k K_{ik} \langle u_k \rangle$$

tedy **střední hodnoty výchylek splňují klasické Newtonovy rovnice.**

Navíc se oscilující klubka během času nerozplývají, jejich neurčitost zůstává konečná. Vezměme jeden oscilátor s amplitudou rozkmitu \bar{x}

$$\begin{aligned} E &= \frac{1}{2m} \langle p^2 \rangle + \frac{1}{2} m \omega_0^2 \langle x^2 \rangle \\ &= \frac{1}{2m} \langle p \rangle^2 + \frac{1}{2} m \omega_0^2 \langle x \rangle^2 + \frac{1}{2m} \left\langle (p - \langle p \rangle)^2 \right\rangle + \frac{1}{2} m \omega_0^2 \left\langle (x - \langle x \rangle)^2 \right\rangle \\ &= \underbrace{E_{\text{cl}}}_{m \omega_0^2 \bar{x}^2} + \underbrace{\frac{1}{2m} \Delta^2 p + \frac{1}{2} m \omega_0^2 \Delta^2 x}_{E - E_{\text{cl}} = \text{const}} \end{aligned}$$

➡ koherentní stavy

Jak je možné studovat kmity atomárního systému pomocí klasické mechaniky

"KVANTOVÉ HAMILTONOVY ROVNICE":

$$M_i \langle u_i \rangle^{\square} = \langle p_i \rangle, \quad \langle p_i \rangle^{\square} = - \left\langle \frac{\partial}{\partial u_i} U \right\rangle$$

v harmonické approximaci tak dostáváme

$$M_i \langle u_i \rangle^{\square\!\!\square} = - \sum_k K_{ik} \langle u_k \rangle$$

tedy **střední hodnoty výchylek splňují klasické Newtonovy rovnice.**

Tím je s hlediska kvantové fyziky plně podložen náš postup, kdy jsme řešili klasické pohybové rovnice pro vlastní kmity molekuly:
kvantové rovnice jsou v harmonické approximaci totožné a vedou ke stejnemu výsledku.

Jak je možné studovat kmity atomárního systému pomocí klasické mechaniky

"KVANTOVÉ HAMILTONOVY ROVNICE":

$$M_i \langle u_i \rangle^{\square} = \langle p_i \rangle, \quad \langle p_i \rangle^{\square} = - \left\langle \frac{\partial}{\partial u_i} U \right\rangle$$

v harmonické approximaci tak dostáváme

$$M_i \langle u_i \rangle^{\square\!\!\square} = - \sum_k K_{ik} \langle u_k \rangle$$

tedy **střední hodnoty výchylek splňují klasické Newtonovy rovnice.**

Tím je s hlediska kvantové fyziky plně podložen náš postup, kdy jsme řešili klasické pohybové rovnice pro vlastní kmity molekul: kvantové rovnice jsou v harmonické approximaci totožné a vedou ke stejnemu výsledku.

Podobně tomu je pro všechny Hamiltoniány nejvíše kvadratické v kanonických proměnných (*volná částice, částice v homogenním elektrickém i magnetickém poli, harmonický oscilátor, parametricky modulovaný harmonický oscilátor apod.*). Kvantové opravy jsou ovšem nezbytné: již první anharmonické opravy vedou k rozdílným výsledkům.

Jak je možné studovat kmity atomárního systému pomocí klasické mechaniky

"KVANTOVÉ HAMILTONOVY ROVNICE":

$$M_i \langle u_i \rangle^{\square} = \langle p_i \rangle, \quad \langle p_i \rangle^{\square} = - \left\langle \frac{\partial}{\partial u_i} U \right\rangle$$

v harmonické approximaci tak dostáváme

$$M_i \langle u_i \rangle^{\square\!\!\square} = - \sum_k K_{ik} \langle u_k \rangle$$

tedy **střední hodnoty výchylek splňují klasické Newtonovy rovnice.**

Tím je s hlediska kvantové fyziky plně podložen náš postup, kdy jsme řešili klasické pohybové rovnice pro vlastní kmity molekul: kvantové rovnice jsou v harmonické approximaci totožné a vedou ke stejnemu výsledku.

Podobně tomu je pro všechny Hamiltoniány nejvíše kvadratické v kanonických proměnných (*volná částice, částice v homogenním elektrickém i magnetickém poli, harmonický oscilátor, parametricky modulovaný harmonický oscilátor apod.*). Kvantové opravy jsou ovšem nezbytné: již první anharmonické opravy vedou k rozdílným výsledkům.

Jak je možné studovat kmity atomárního systému pomocí klasické mechaniky

"KVANTOVÉ HAMILTONOVY ROVNICE":

$$M_i \langle u_i \rangle^{\square} = \langle p_i \rangle, \quad \langle p_i \rangle^{\square} = - \left\langle \frac{\partial}{\partial u_i} U \right\rangle$$

v harmonické approximaci tak dostáváme

$$M_i \langle u_i \rangle^{\square\!\!\square} = - \sum_k K_{ik} \langle u_k \rangle$$

tedy **střední hodnoty výchylek splňují klasické Newtonovy rovnice.**

Historicky byl harmonický oscilátor nejlepší kandidát pro kvantové vyšetřování, protože měl kvasiklasický charakter a dal se proto ochotně zpracovat již tzv. naivně kvantovými metodami.

Čtyři otázky

1. ✓ Jak systematicky využít symetrii polyatomických molekul k zjednodušení dynamického problému v harmonické approximaci
2. ✓ Jak je možné studovat kmity atomárního systému pomocí klasické mechaniky a jak v kvantové oblasti
3. Kdy lze kmity molekul pozorovat v infračervené spektroskopii
4. Jak se projeví (třeba i slabé) anharmonické opravy

... A JAK TOTO VŠECHNO SOUVISÍ SE
SKLENÍKOVÝM JEVEM

3a

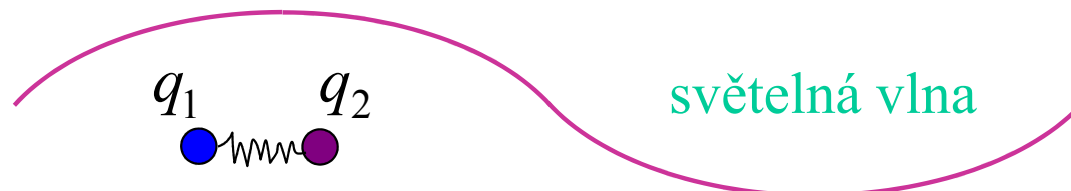
Infračervená absorpcce molekulárními kmity
v popisu klasické fysiky

Infračervená absorpcie: dvouatomová molekula

dipólová approximace

$$E = E_0 n e^{-i\omega t}$$

homogenní pole



oscilátor ... $a \sim \text{nm} \ll \lambda (\text{IR}) \sim 5 - 100 \mu\text{m}$

klasická pohybová rovnice

$$m\ddot{u} = -m\omega_0^2 u - \gamma\dot{u} + qE(t)$$

$$q = q_2 - q_1$$

efektivní náboj

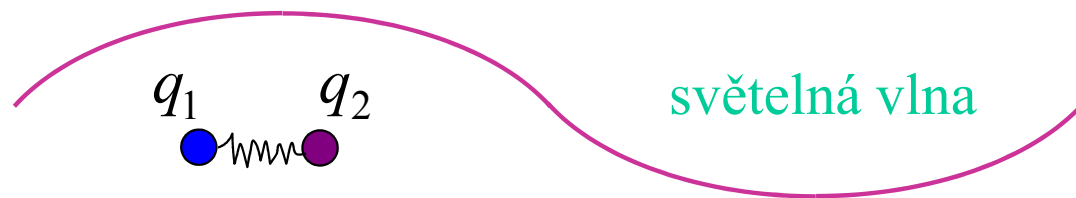
tlumení *fenomenologicky* přidáno

Infracervená absorpcie: dvouatomová molekula

dipólová approximace

$$E = E_0 n e^{-i\omega t}$$

homogenní pole



oscilátor ... $a \sim \text{nm} \ll \lambda (\text{IR}) \sim 5 - 100 \mu\text{m}$

klasická pohybová rovnice

$$m\ddot{u} = -m\omega_0^2 u - \gamma\dot{u} + qE(t)$$

tlumení *fenomén*

$$q = q_2 - q_1$$

efektivní náboj
od elektrického dipólu
molekuly

přesněji: jeho části
lineárně závislé na
výchylce, zde tedy

$$\mu = qu$$

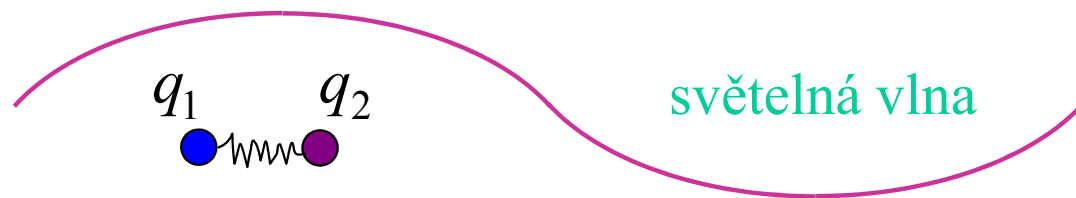
kde q je efektivní
náboj (takto vlastně
definovaný)

Infracervená absorpcie: dvouatomová molekula

dipólová approximace

$$E = E_0 n e^{-i\omega t}$$

homogenní pole



oscilátor ... $a \sim \text{nm} \ll \lambda (\text{IR}) \sim 5 - 100 \mu\text{m}$

klasická pohybová rovnice

$$m\ddot{u} = -m\omega_0^2 u - \gamma\dot{u} + qE(t)$$

$$q = q_2 - q_1$$

efektivní náboj

ustálené řešení

$$u = u_0 e^{-i\omega t}$$

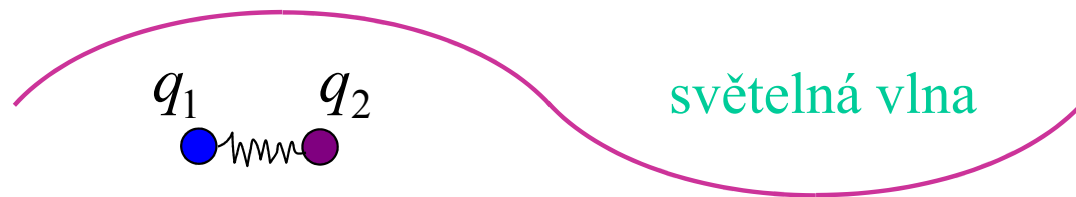
tlumení fenomenologicky přidáno

Infracervená absorpce: dvouatomová molekula

dipólová approximace

$$E = E_0 n e^{-i\omega t}$$

homogenní pole



oscilátor ... $a \sim \text{nm} \ll \lambda (\text{IR}) \sim 5 - 100 \mu\text{m}$

klasická pohybová rovnice

$$m\ddot{u} = -m\omega_0^2 u - \gamma\dot{u} + qE(t)$$

$$q = q_2 - q_1$$

efektivní náboj

$$u = u_0 e^{-i\omega t}$$

tlumení fenomenologicky přidáno

$$m(\omega_0^2 - \omega^2 - i\gamma\omega)u_0 = qE_0$$

$$u_0 = \frac{q}{m} \frac{1}{\omega_0^2 - \omega^2 - i\gamma\omega} E_0$$

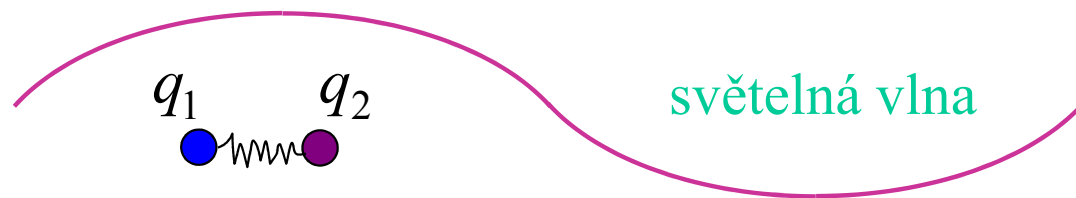
ustálené řešení

Infracervená absorpcie: dvouatomová molekula

dipólová approximace

$$E = E_0 n e^{-i\omega t}$$

homogenní pole



oscilátor ... $a \sim \text{nm} \ll \lambda (\text{IR}) \sim 5 - 100 \mu\text{m}$

klasická pohybová rovnice

$$m\ddot{u} = -m\omega_0^2 u - \gamma\dot{u} + qE(t)$$

$$q = q_2 - q_1$$

efektivní náboj

$$u = u_0 e^{-i\omega t}$$

tlumení *fenomenologicky přidáno*

$$m(\omega_0^2 - \omega^2 - i\gamma\omega)u_0 = qE_0$$

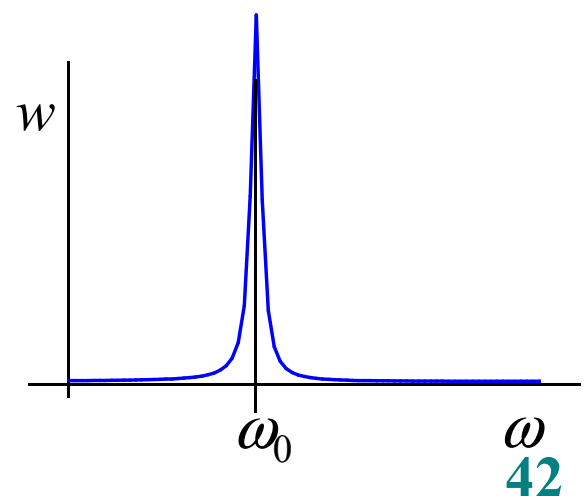
$$u_0 = \frac{q}{m} \frac{1}{\omega_0^2 - \omega^2 - i\gamma\omega} E_0$$

absorbovaný výkon

$$\langle quE \rangle$$

\rightarrow

$$w = \frac{\gamma q^2}{m} \frac{\omega^2 E_0^2}{(\omega_0^2 - \omega^2)^2 + \gamma^2 \omega^2}$$



Infračervená absorpcie víceatomovými molekulami

Systemicky: Hamiltonián doplníme o dipólovou interakci

$$\hat{H} = \sum_{I\alpha} \frac{1}{2M_I} \mathbf{p}_{I\alpha}^2 + \frac{1}{2} \sum_{I\alpha} \sum_{J\beta} u_{I\alpha} K_{I\alpha, J\beta} u_{J\beta} - \boxed{\sum_{I\alpha, \beta} \chi_{I\alpha, \beta} u_{I\alpha} E_\beta e^{-i\omega t}}$$

- I zde platí klasické pohybové rovnice pro střední výchylky, očekáváme tedy **resonance u charakteristických frekvencí normálních kmitů**
- podmínka nenulových polarisovatelností (permanentní dipól nepomůže)
- záleží na polarisaci (směru) elektrického vektoru

Infračervená absorpcie víceatomovými molekulami

Systematicky: Hamiltonián doplníme o dipólovou interakci

$$\hat{H} = \sum_{I\alpha} \frac{1}{2M_I} \mathbf{p}_{I\alpha}^2 + \frac{1}{2} \sum_{I\alpha} \sum_{J\beta} u_{I\alpha} K_{I\alpha, J\beta} u_{J\beta} - \boxed{\sum_{I\alpha, \beta} \chi_{I\alpha, \beta} u_{I\alpha} E_\beta e^{-i\omega t}}$$

- I zde platí klasické pohybové rovnice pro střední výchylky, očekáváme tedy **resonance u charakteristických frekvencí normálních kmitů**
- podmínka nenulových polarisovatelností (permanentní dipól nepomůže)
- záleží na polarisaci (směru) elektrického vektoru



3b

Infračervená absorpce molekulárními kmity:
kvantově

Infracervená absorpce víceatomovými molekulami kvantově

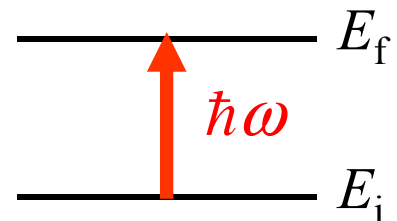
Resonanční přechody v kvantové mluvě ... **mezi stacionárními stavy**

$$\text{---} E_f$$

$$\text{---} E_i$$

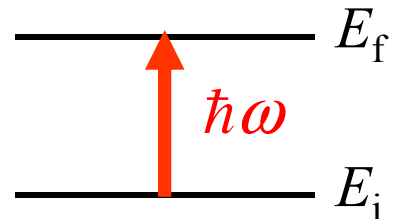
Infracervená absorpce víceatomovými molekulami kvantově

Resonanční přechody v kvantové mluvě ... **mezi stacionárními stavy**



Infracervená absorpce víceatomovými molekulami kvantově

Resonanční přechody v kvantové mluvě ... mezi stacionárními stavý



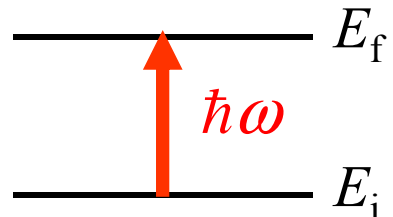
Bohrova podmínka:

$$\hbar\omega = E_f - E_i$$

Infracervená absorpce víceatomovými molekulami kvantově

Resonanční přechody v kvantové mluvě ... mezi stacionárními stavý

absorpce fotonu
+
„kvantový přeskok“



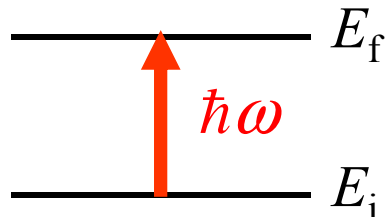
Bohrova podmínka:

$$\hbar\omega = E_f - E_i$$

Infracervená absorpce víceatomovými molekulami kvantově

Resonanční přechody v kvantové mluvě ... mezi stacionárními stavy

absorpce fotonu
+
„kvantový přeskok“



Bohrova podmínka:

$$\hbar\omega = E_f - E_i$$

Intensita absorpce (pravděpodobnost přechodu)

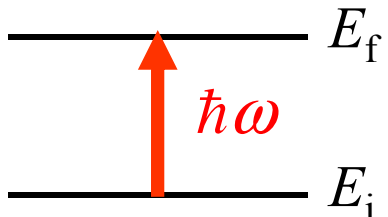
Fermiho zlaté pravidlo (naučíme se bez odvození)

$$w_{if} = \frac{2\pi}{\hbar^2} E_0^2 \left| \langle i | qx | f \rangle \right|^2 \delta(E_f - E_i - \hbar\omega)$$

Infracervená absorpce víceatomovými molekulami kvantově

Resonanční přechody v kvantové mluvě ... mezi stacionárními stavy

absorpce fotonu
+
„kvantový přeskok“



Bohrova podmínka:

$$\hbar\omega = E_f - E_i$$

Intensita absorpce (pravděpodobnost přechodu)

Fermiho zlaté pravidlo

$$w_{if} = \frac{2\pi}{\hbar^2} E_0^2 \underbrace{\left| \langle i | qx | f \rangle \right|^2}_{|M_{if}|^2} \delta(E_f - E_i - \hbar\omega)$$

úměrno intenzitě
vnějšího pole

maticový element
přechodu

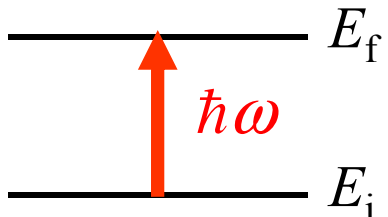
$M_{if} = 0$ zakázaný přechod
 $M_{if} \neq 0$ dovolený přechod

výběrová pravidla

Infracervená absorpce víceatomovými molekulami kvantově

Resonanční přechody v kvantové mluvě ... mezi stacionárními stavy

absorpce fotonu
+
„kvantový přeskok“



Bohrova podmínka:

$$\hbar\omega = E_f - E_i$$

Intensita absorpce (pravděpodobnost přechodu)

Fermiho zlaté pravidlo

$$w_{if} = \frac{2\pi}{\hbar^2} E_0^2 \underbrace{\left| \langle i | qx | f \rangle \right|^2}_{|M_{if}|^2} \delta(E_f - E_i - \hbar\omega)$$

úměrno intenzitě
vnějšího pole

maticový element
přechodu

$M_{if} = 0$ zakázaný přechod
 $M_{if} \neq 0$ dovolený přechod

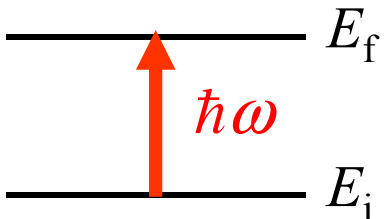
výběrová pravidla

elektrický dipólový moment
jako v klasickém popisu:
dipólové optické přechody

Infracervená absorpce víceatomovými molekulami kvantově

Resonanční přechody v kvantové mluvě ... mezi stacionárními stavy

absorpce fotonu
+
„kvantový přeskok“



Bohrova podmínka:

$$\hbar\omega = E_f - E_i$$

Intensita absorpce (pravděpodobnost přechodu)

Fermiho zlaté pravidlo

$$w_{if} = \frac{2\pi}{\hbar^2} E_0^2 \underbrace{\left| \langle i | qx | f \rangle \right|^2}_{|M_{if}|^2} \delta(E_f - E_i - \hbar\omega)$$

$M_{if} = 0$ zakázaný přechod

$M_{if} \neq 0$ dovolený přechod
výběrová pravidla

Pro harmonický oscilátor přísné výběrové pravidlo:

$$\langle n | x | n' \rangle \neq 0 \quad \text{pro} \quad n' = n \pm 1$$

Proto

$$|E_n - E_{n'}| = \hbar\omega_0$$

a

**kvantová resonanční podmínka
se shoduje s klasickou.**

Čtyři otázky

1. ✓ Jak systematicky využít symetrii polyatomických molekul k zjednodušení dynamického problému v harmonické approximaci
2. ✓ Jak je možné studovat kmity atomárního systému pomocí klasické mechaniky a jak v kvantové oblasti
3. ✓ Kdy lze kmity molekul pozorovat v infračervené spektroskopii
4. Jak se projeví (třeba i slabé) anharmonické opravy

... A JAK TOTO VŠECHNO SOUVISÍ SE
SKLENÍKOVÝM JEVEM

4

Infračervená absorpce molekulárními kmity:
anharmonické jevy

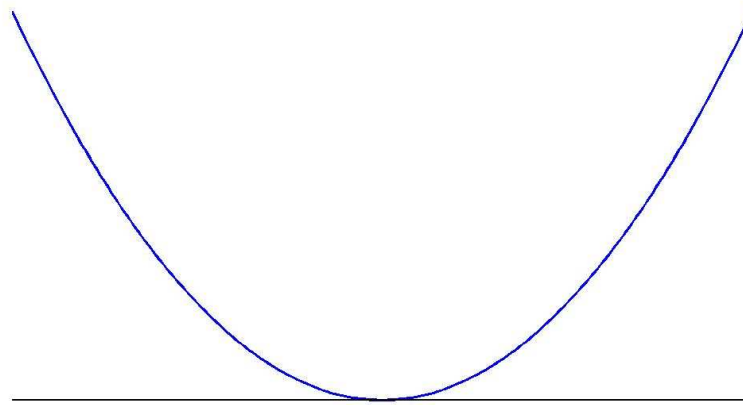
Anharmonické efekty

Anharmonický potenciál pro jedinou oscilaci

$$U(u) = U_0 + \frac{1}{2}ku^2 + \varepsilon u^3 + \zeta u^4 + \dots$$

vede ke změně spektra vlastních energií i vlastních funkcí.

harmonická approximace



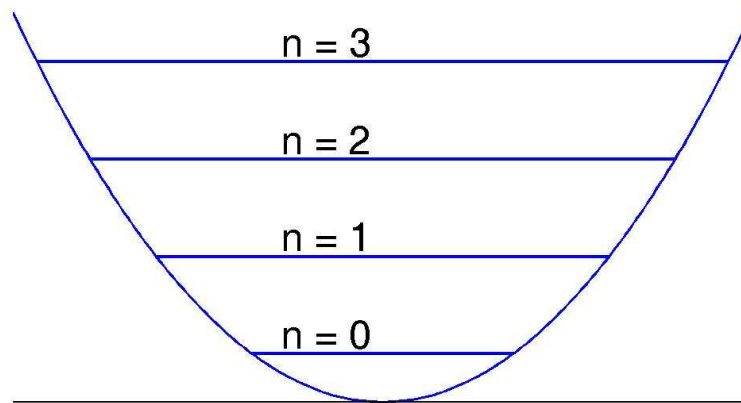
Anharmonické efekty

Anharmonický potenciál pro jedinou oscilaci

$$U(u) = U_0 + \frac{1}{2}ku^2 + \varepsilon u^3 + \zeta u^4 + \dots$$

vede ke změně spektra vlastních energií i vlastních funkcí.

harmonická approximace
ekvidistantní hladiny



Anharmonické efekty

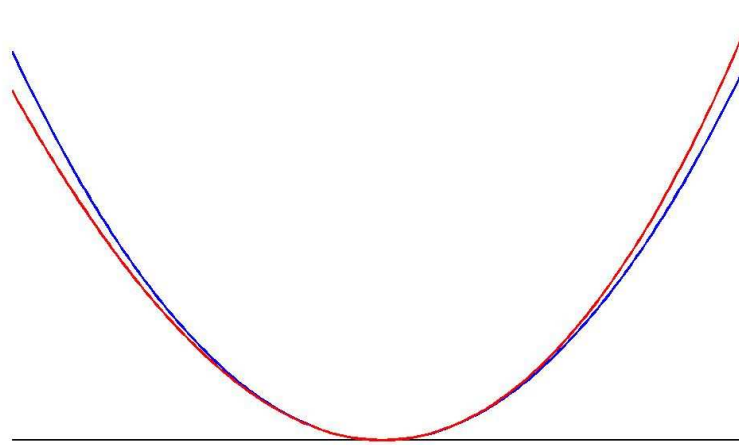
Anharmonický potenciál pro jedinou oscilaci

$$U(u) = U_0 + \frac{1}{2}ku^2 + \varepsilon u^3 + \zeta u^4 + \dots$$

vede ke změně spektra vlastních energií i vlastních funkcí.

kubická korekce

asymetrie potenciálu



Anharmonické efekty

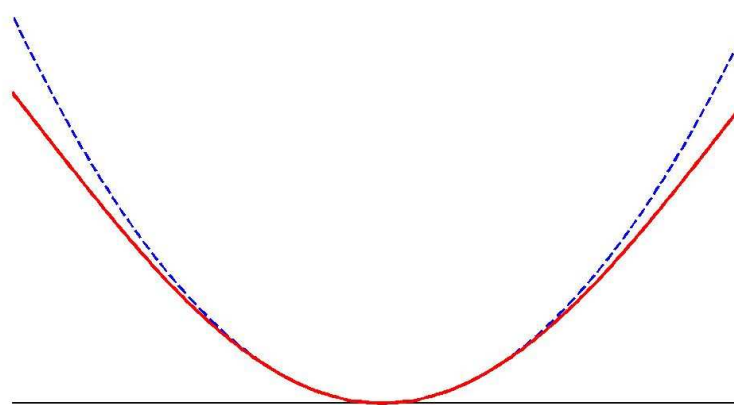
Anharmonický potenciál pro jedinou oscilaci

$$U(u) = U_0 + \frac{1}{2}ku^2 + \varepsilon u^3 + \zeta u^4 + \dots$$

vede ke změně spektra vlastních energií i vlastních funkcí.

kvartická korekce

zde „měknutí“
potenciálu při vyšších
energiích



Anharmonické efekty

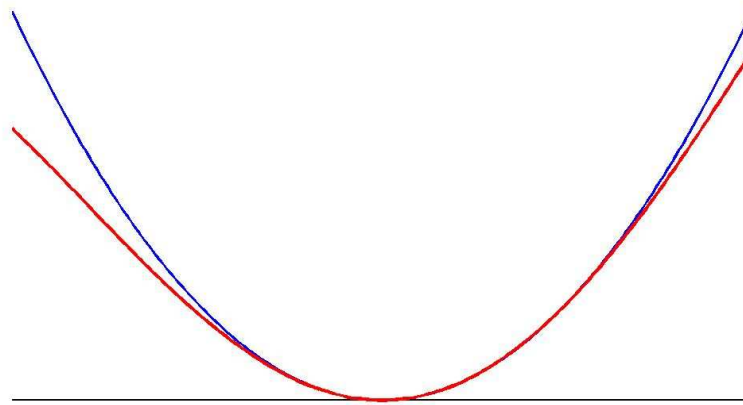
Anharmonický potenciál pro jedinou oscilaci

$$U(u) = U_0 + \frac{1}{2}ku^2 + \varepsilon u^3 + \zeta u^4 + \dots$$

vede ke změně spektra vlastních energií i vlastních funkcí.

anharmonický
potenciál

spojuje obě hlavní
anharmonické opravy

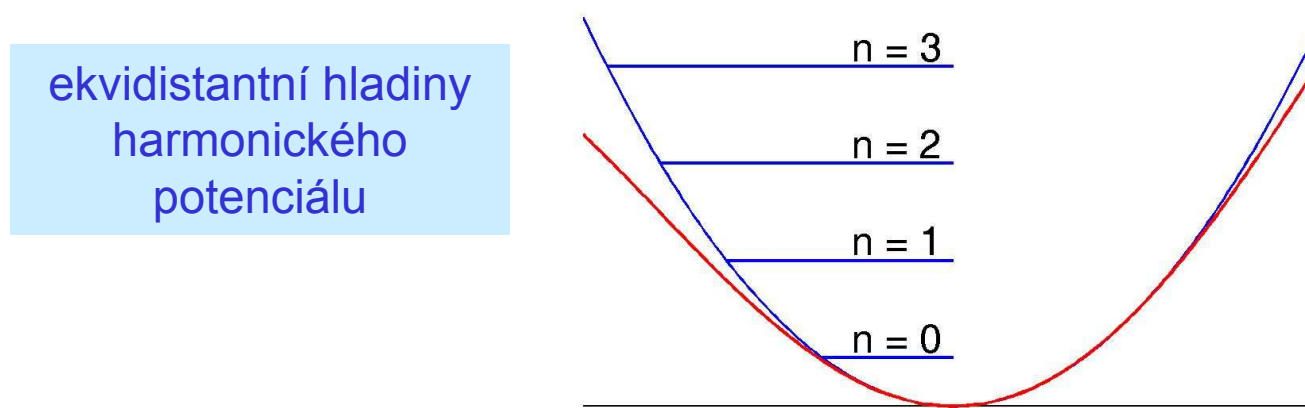


Anharmonické efekty

Anharmonický potenciál pro jedinou oscilaci

$$U(u) = U_0 + \frac{1}{2}ku^2 + \varepsilon u^3 + \zeta u^4 + \dots$$

vede ke změně spektra **vlastních energií** i vlastních funkcí.



Anharmonické efekty

Anharmonický potenciál pro jedinou oscilaci

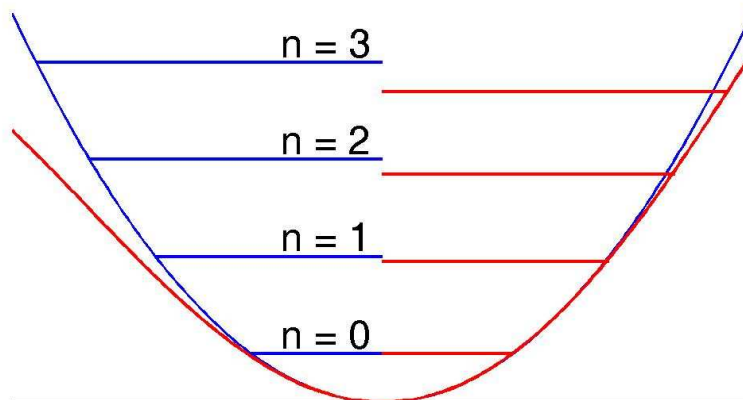
$$U(u) = U_0 + \frac{1}{2}ku^2 + \varepsilon u^3 + \zeta u^4 + \dots$$

vede ke změně spektra **vlastních energií** i vlastních funkcí.

ekvidistantní hladiny
harmonického
potenciálu



postupně se
odchylující hladiny
anharmonického
potenciálu



Anharmonické efekty

Anharmonický potenciál pro jedinou oscilaci

$$U(u) = U_0 + \frac{1}{2}ku^2 + \varepsilon u^3 + \zeta u^4 + \dots$$

vede ke změně spektra **vlastních energií** i **vlastních funkcí**.

Anharmonické efekty

Anharmonický potenciál pro jedinou oscilaci

$$U(u) = U_0 + \frac{1}{2}ku^2 + \varepsilon u^3 + \zeta u^4 + \dots$$

vede ke změně spektra vlastních energií i vlastních funkcí.

Poruchový rozvoj: Pro slabé anharmonicity výsledek bude zhruba

$$|nA\rangle = c_0 |n\rangle + c_1 |n+1\rangle + c_{-1} |n-1\rangle + c_2 |n+2\rangle + c_{-2} |n-2\rangle + \dots$$

kde jenom c_0 je řádu 1, ostatní koeficienty jsou malé, $c_{\ell \neq 0} = O(\varepsilon, \zeta)$.

Anharmonické efekty

Anharmonický potenciál pro jedinou oscilaci

$$U(u) = U_0 + \frac{1}{2}ku^2 + \varepsilon u^3 + \zeta u^4 + \dots$$

vede ke změně spektra vlastních energií i vlastních funkcí.

Poruchový rozvoj: Pro slabé anharmonicity výsledek bude zhruba

$$|nA\rangle = c_0 |n\rangle + c_1 |n+1\rangle + c_{-1} |n-1\rangle + c_2 |n+2\rangle + c_{-2} |n-2\rangle + \dots$$

kde jenom c_0 je řádu 1, ostatní koeficienty jsou malé, $c_{\ell \neq 0} = O(\varepsilon, \zeta)$.

Výběrové pravidlo je nyní oslabeno:

$$\langle nA | x | n'A \rangle = c_0 c'_0 \langle n | x | n' \rangle + c_0 c'_{-1} \langle n | x | n'-1 \rangle + c_0 c'_{-2} \langle n | x | n'-2 \rangle + \dots$$

$n' = n+1, n+2, n+3, \dots$ vyšší harmonické

Přechody jsou tak možné na dvojnásobek, trojnásobek, ... základní frekvence.

Anharmonické efekty

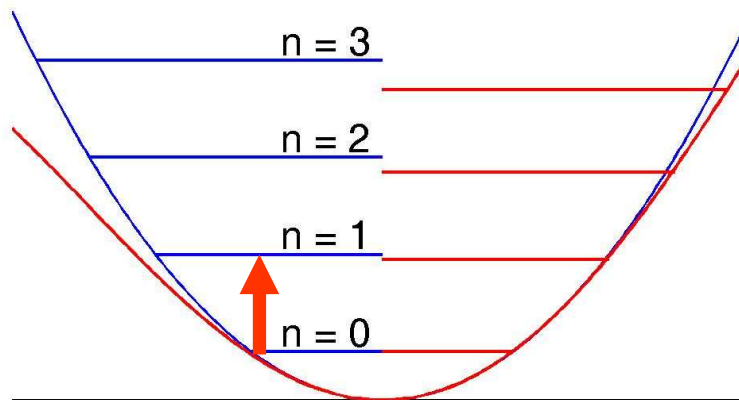
Anharmonický potenciál pro jedinou oscilaci

$$U(u) = U_0 + \frac{1}{2}ku^2 + \varepsilon u^3 + \zeta u^4 + \dots$$

vede ke změně spektra vlastních energií i vlastních funkcí.

Výběrové pravidlo je oslabeno:

Přechody jsou tak možné na dvojnásobek, trojnásobek, ... základní frekvence.



Anharmonické efekty

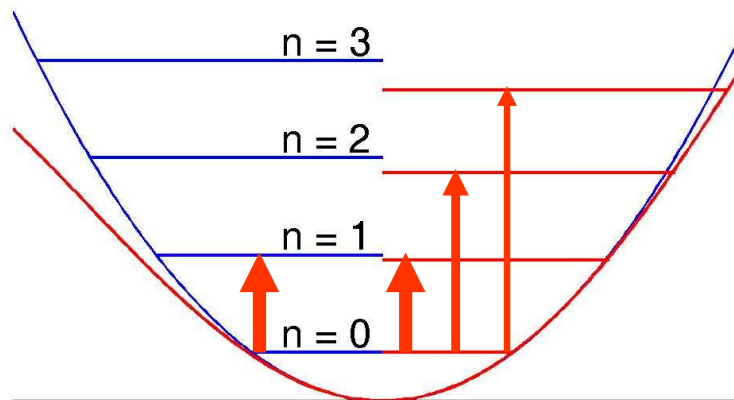
Anharmonický potenciál pro jedinou oscilaci

$$U(u) = U_0 + \frac{1}{2}ku^2 + \varepsilon u^3 + \zeta u^4 + \dots$$

vede ke změně spektra vlastních energií i vlastních funkcí.

Výběrové pravidlo je oslabeno:

Přechody jsou tak možné na dvojnásobek, trojnásobek, ... základní frekvence.



Anharmonické efekty

Anharmonický potenciál pro jedinou oscilaci

$$U(u) = U_0 + \frac{1}{2}ku^2 + \varepsilon u^3 + \zeta u^4 + \dots$$

vede ke změně spektra vlastních energií i vlastních funkcí.

Poruchový rozvoj: Pro slabé anharmonicity výsledek bude zhruba

$$|nA\rangle = c_0 |n\rangle + c_1 |n+1\rangle + c_{-1} |n-1\rangle + c_2 |n+2\rangle + c_{-2} |n-2\rangle + \dots$$

kde jenom c_0 je řádu 1, ostatní koeficienty jsou malé, $c_{\ell \neq 0} = O(\varepsilon, \zeta)$.

Výběrové pravidlo je nyní oslabeno:

$$\langle nA | x | n'A \rangle = c_0 c'_0 \langle n | x | n' \rangle + c_0 c'_{-1} \langle n | x | n'-1 \rangle + c_0 c'_{-2} \langle n | x | n'-2 \rangle + \dots$$

$n' = n+1, n+2, n+3, \dots$ vyšší harmonické

Přechody jsou tak možné na dvojnásobek, trojnásobek, ... základní frekvence.

Anharmonický potenciál pro vázané oscilace víceatomové molekuly

$$U = U_0 + \underbrace{\frac{1}{2} \sum K_{ij} u_i u_j}_{\text{nezávislé normální kmity}} + \underbrace{\frac{1}{6} \sum Q_{\lambda i, \nu j, \kappa k} u_{\lambda i} u_{\nu j} u_{\kappa k}}_{\text{anharmonická vazba mezi normálními kmity}} + \text{kvartický člen} + \dots$$

Anharmonické efekty

Anharmonický potenciál pro jedinou oscilaci

$$U(u) = U_0 + \frac{1}{2}ku^2 + \varepsilon u^3 + \zeta u^4 + \dots$$

vede ke změně spektra vlastních energií i vlastních funkcí.

Poruchový rozvoj: Pro slabé anharmonicity výsledek bude zhruba

$$|nA\rangle = c_0 |n\rangle + c_1 |n+1\rangle + c_{-1} |n-1\rangle + c_2 |n+2\rangle + c_{-2} |n-2\rangle + \dots$$

kde jenom c_0 je řádu 1, ostatní koeficienty jsou malé, $c_{\ell \neq 0} = O(\varepsilon, \zeta)$.

Výběrové pravidlo je nyní oslabeno:

$$\langle nA | x | n'A \rangle = c_0 c'_0 \langle n | x | n' \rangle + c_0 c'_{-1} \langle n | x | n'-1 \rangle + c_0 c'_{-2} \langle n | x | n'-2 \rangle + \dots$$

$n' = n+1, n+2, n+3, \dots$ vyšší harmonické

Přechody jsou tak možné na dvojnásobek, trojnásobek, ... základní frekvence.

Anharmonický potenciál pro vázané oscilace víceatomové molekuly

$$U = U_0 + \frac{1}{2} \sum K_{ij} u_i u_j + \frac{1}{6} \underbrace{\sum Q_{\lambda i, \nu j, \kappa k} u_{\lambda i} u_{\nu j} u_{\kappa k}}_{\text{nezávislé normální kmity}} + \underbrace{\text{anharmónická vazba mezi normálními kmity}}_{\text{kvartický člen}} + \dots$$

$2\omega_a, \dots$

vyšší harmonické + kombinační frekvence

$\omega_a + \omega_b, \dots$

Čtyři otázky

1. ✓ Jak systematicky využít symetrii polyatomických molekul k zjednodušení dynamického problému v harmonické approximaci
2. ✓ Jak je možné studovat kmity atomárního systému pomocí klasické mechaniky a jak v kvantové oblasti
3. ✓ Kdy lze kmity molekul pozorovat v infračervené spektroskopii
4. ✓ Jak se projeví (třeba i slabé) anharmonické opravy

... A JAK TOTO VŠECHNO SOUVISÍ SE
SKLENÍKOVÝM JEVEM

Čtyři otázky

1. ✓ Jak systematicky využít symetrii polyatomických molekul k zjednodušení dynamického problému v harmonické approximaci
2. ✓ Jak je možné studovat kmity atomárního systému pomocí klasické mechaniky a jak v kvantové oblasti
3. ✓ Kdy lze kmity molekul pozorovat v infračervené spektroskopii
4. ✓ Jak se projeví (třeba i slabé) anharmonické opravy

... A JAK TOTO VŠECHNO SOUVISÍ SE
SKLENÍKOVÝM JEVEM

IR absorpcí některými skleníkovými molekulami

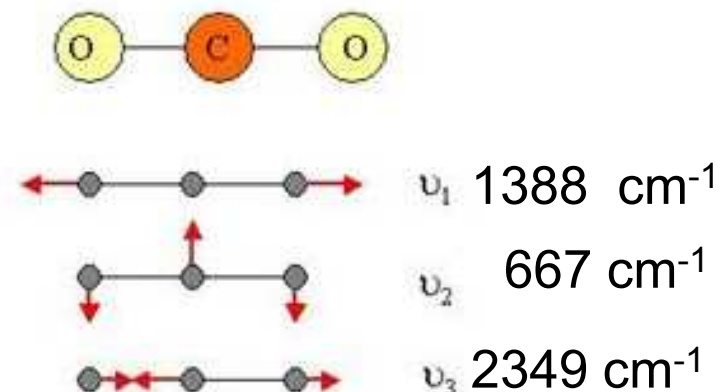
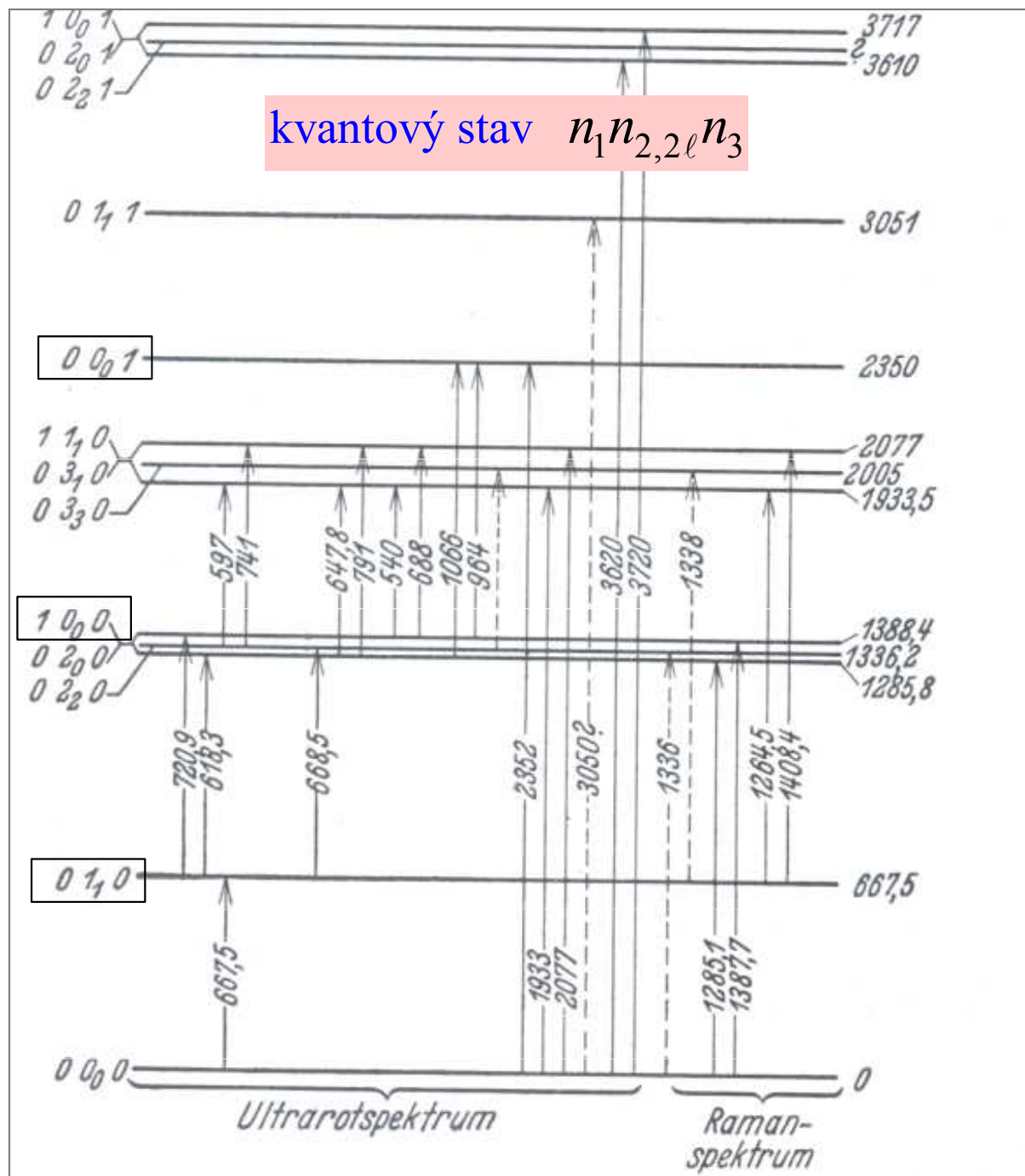
Oxid uhličitý

IR spektrum oxidu uhlíčitého CO₂

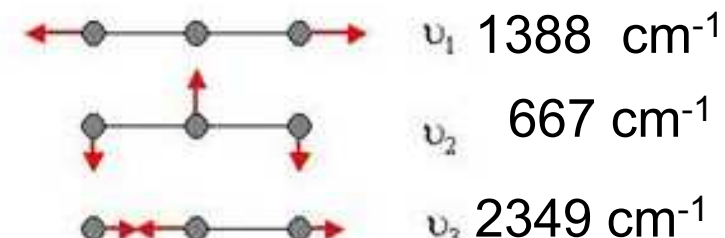
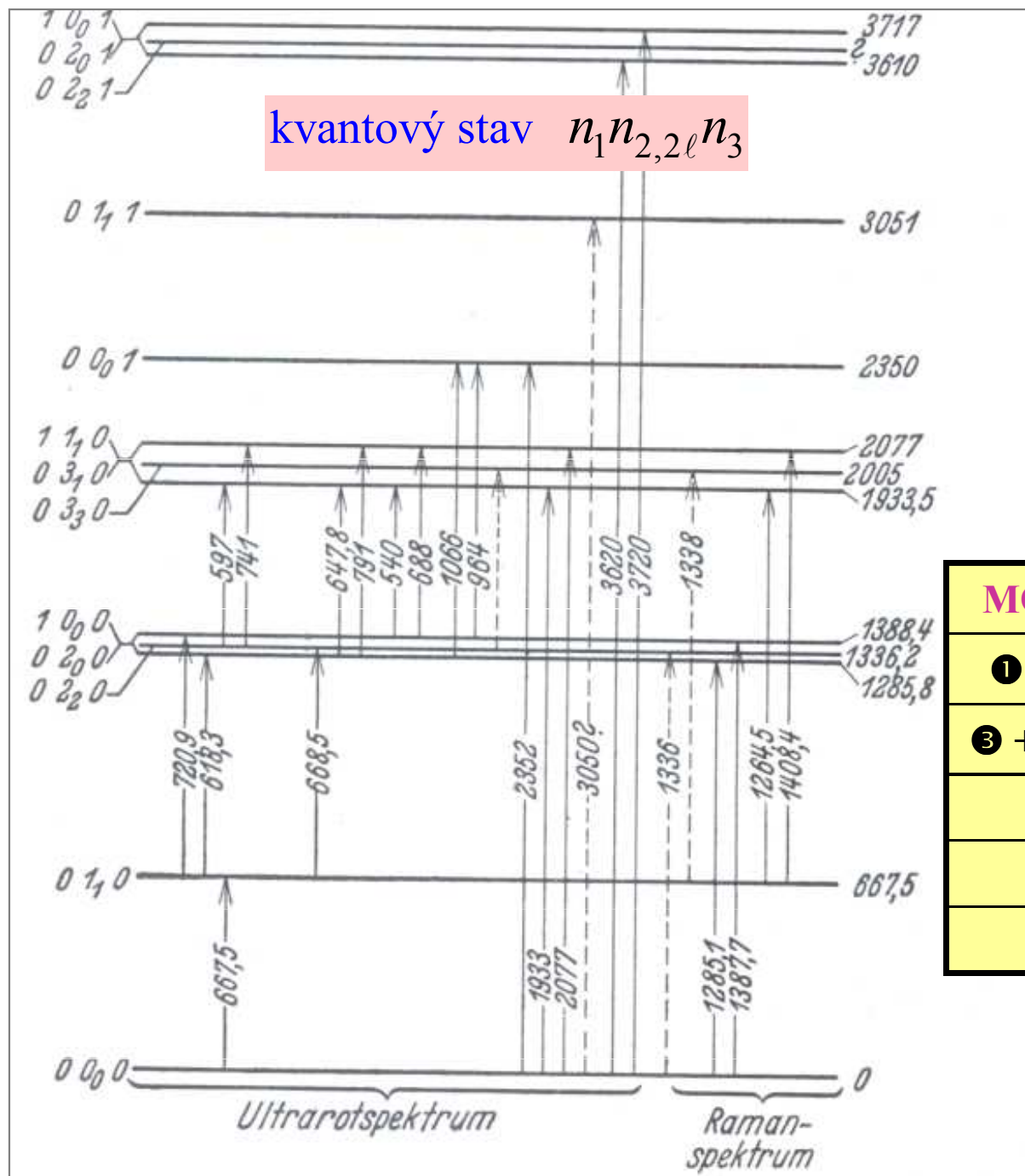


v_1	symetrický kmit ... nemá dipólový moment	1388 cm ⁻¹
v_2	↑ dipólový moment se váže na $E_{y,z}$	667 cm ⁻¹
v_3	→ dipólový moment se váže na E_x	2349 cm ⁻¹

IR spektrum oxidu uhlíčitého CO_2



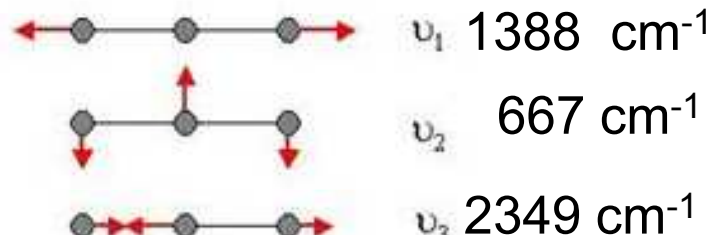
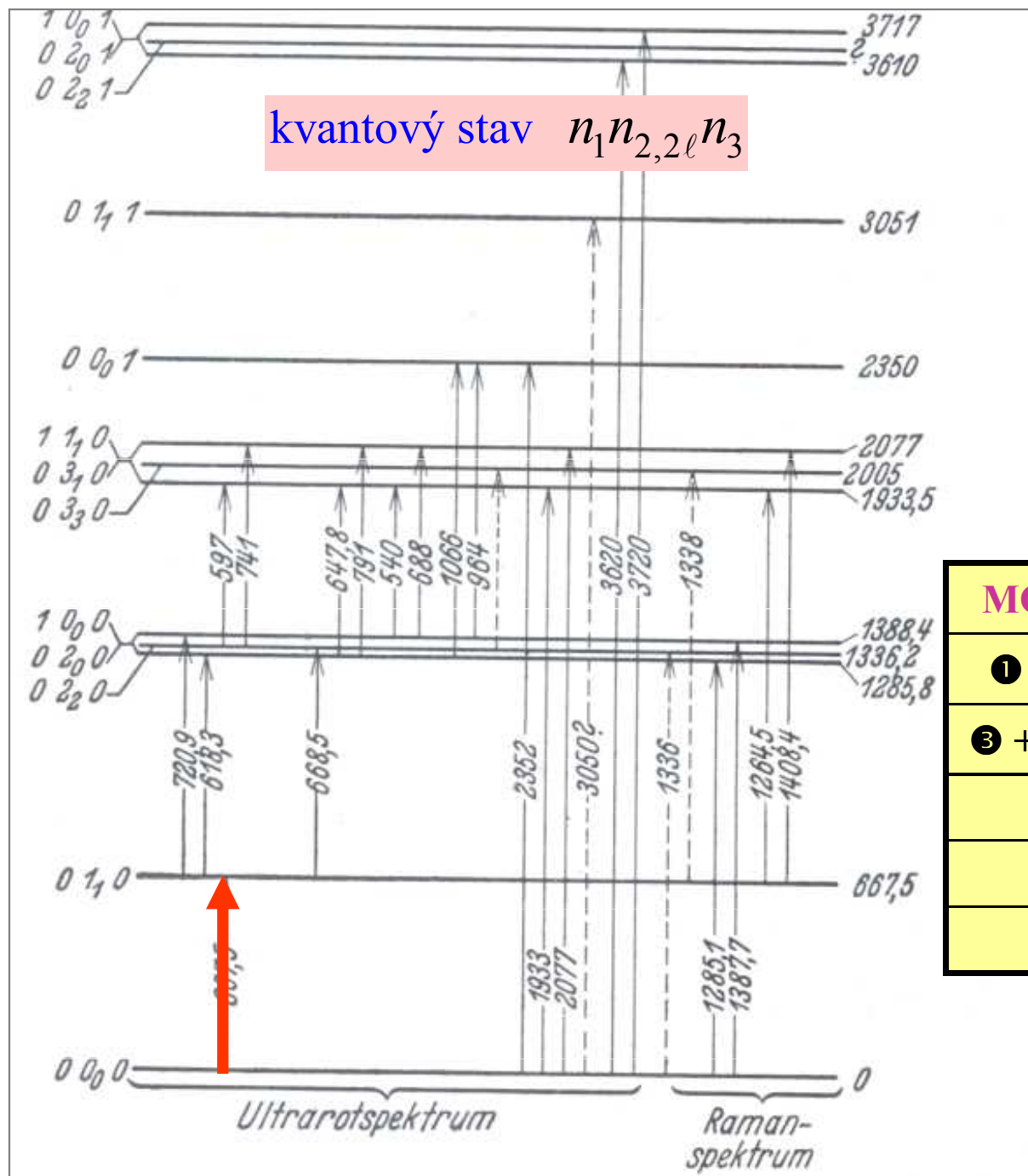
IR spektrum oxidu uhlíčitého CO_2



TABULKA IR FREKVENCÍ

MÓDY	cm^{-1}	kombinace zákl. frekv.
$\textcircled{1} + \textcircled{3}$	3716	$2349 + 1388 = 3737$
$\textcircled{3} + 2 \times \textcircled{2}$	3609	$2349 + 2 \times 667 = 3683$
$\textcircled{3}$	2349	základní frekvence
$\textcircled{1}$	1388	IR neaktivní
$\textcircled{2}$	667	dvojnásobná degenerace

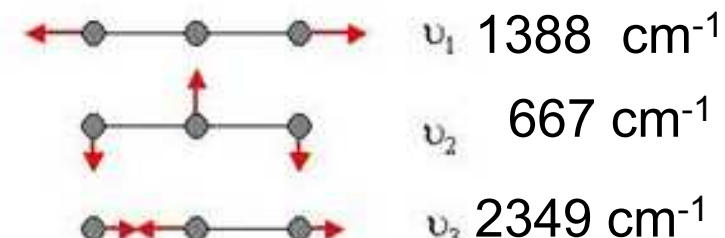
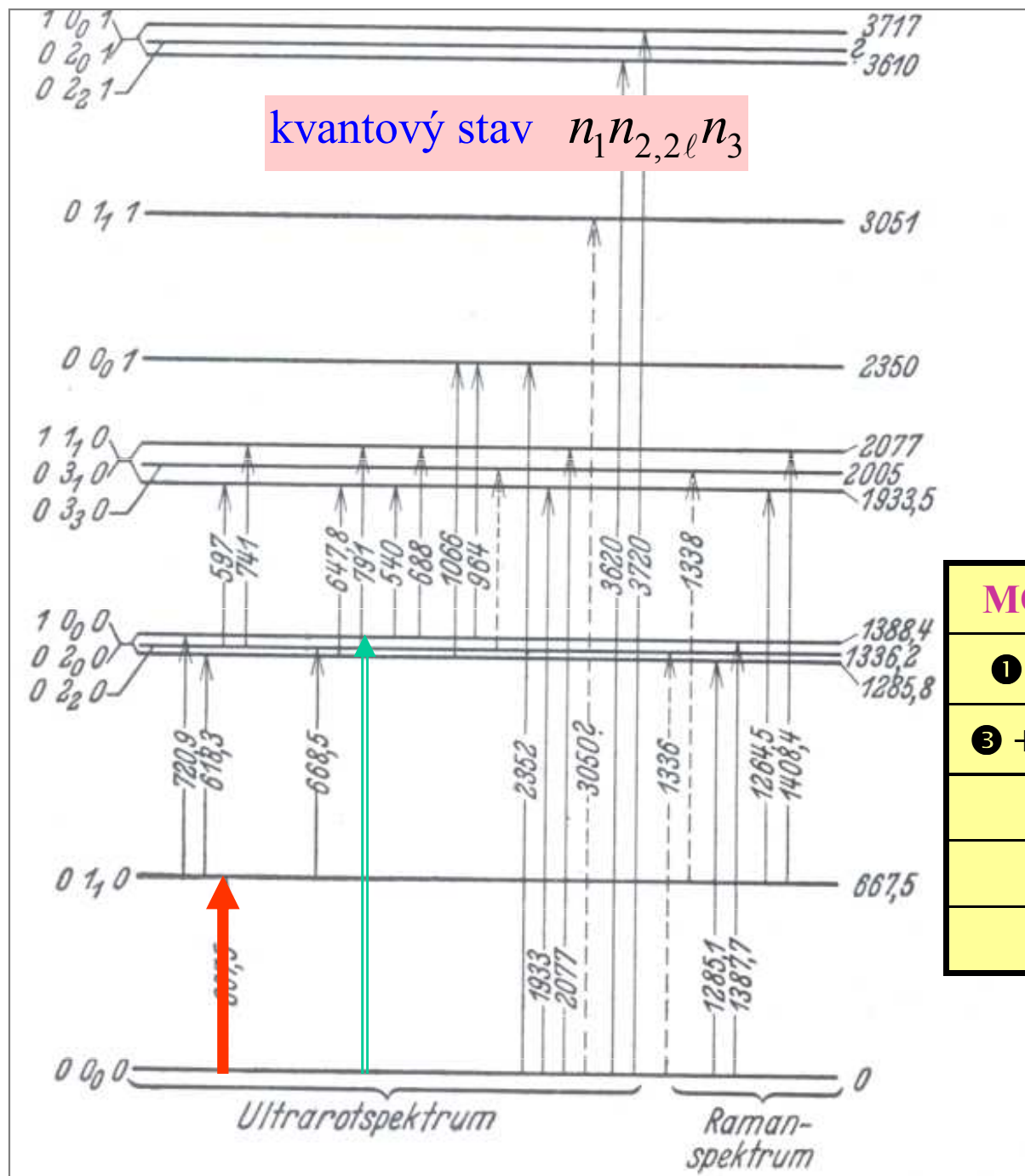
IR spektrum oxidu uhlíčitého CO₂



TABULKA IR FREKVENCÍ

MÓDY	cm ⁻¹	kombinace zákl. frekv.
① + ③	3716	2349+1388=3737
③ + 2x②	3609	2349+2x667=3683
③	2349	základní frekvence
①	1388	IR neaktivní
②	667	dvojnásobná degenerace

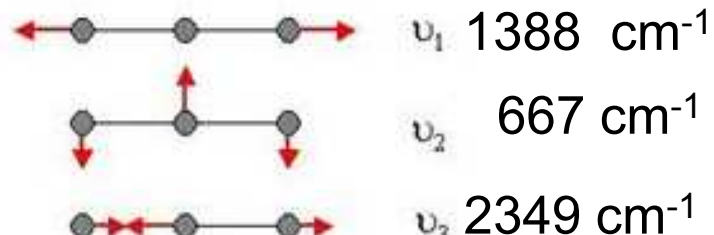
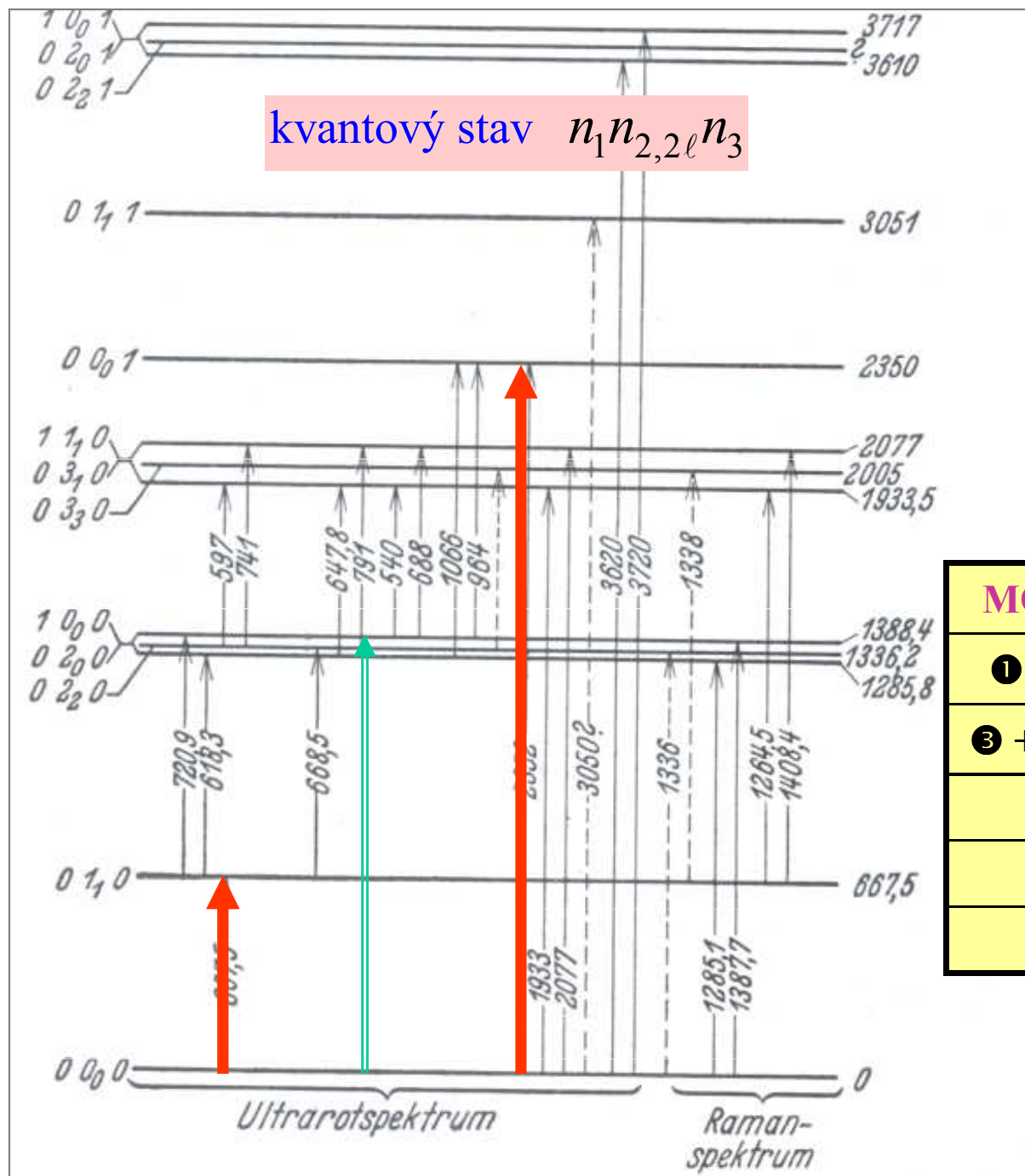
IR spektrum oxidu uhlíčitého CO_2



TABULKA IR FREKVENCÍ

MÓDY	cm^{-1}	kombinace zákl. frekv.
① + ③	3716	$2349+1388=3737$
③ + $2 \times$ ②	3609	$2349+2 \times 667=3683$
③	2349	základní frekvence
①	1388	IR neaktivní
②	667	dvojnásobná degenerace

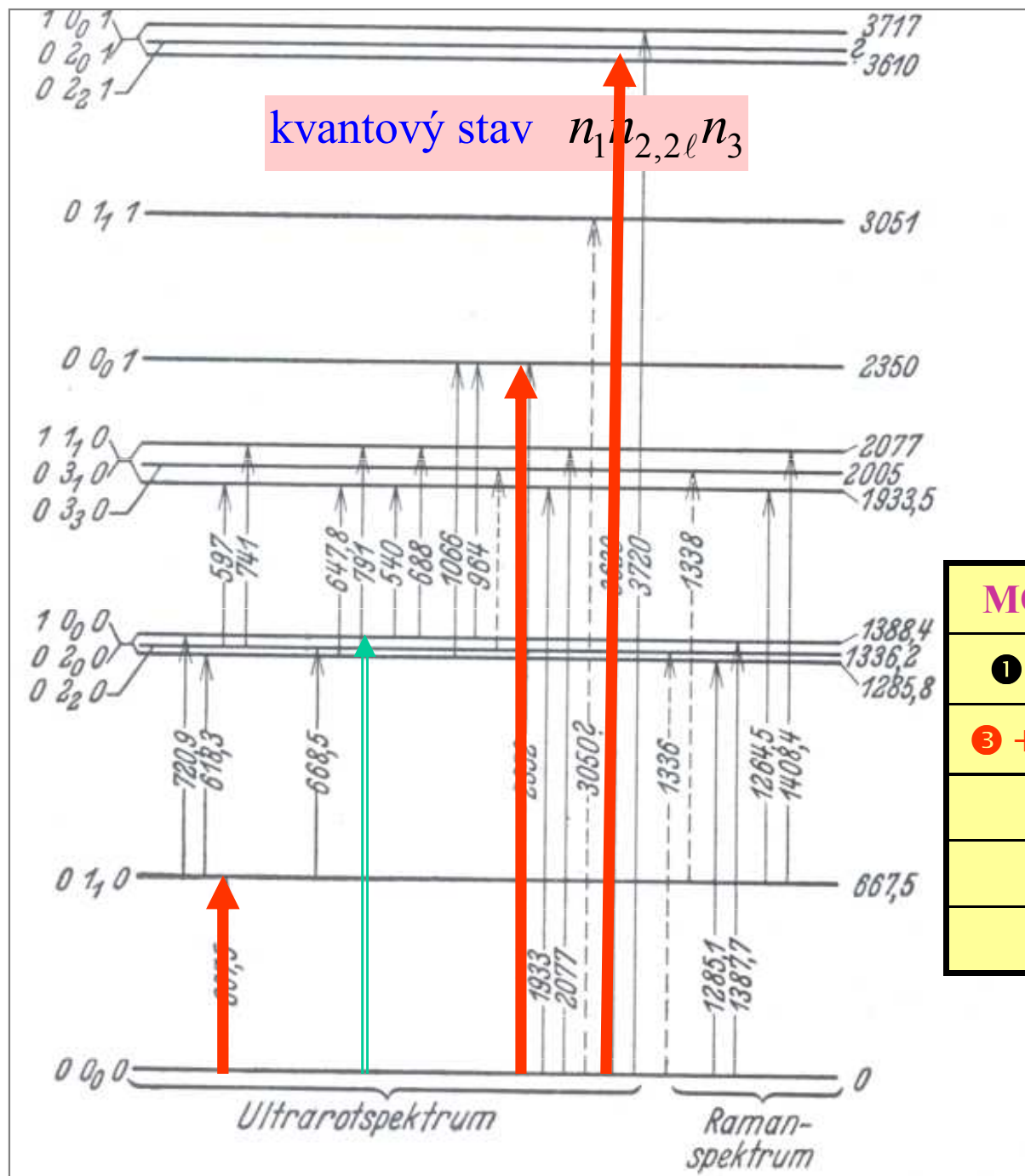
IR spektrum oxidu uhlíčitého CO_2



TABULKA IR FREKVENCÍ

MÓDY	cm^{-1}	kombinace zákl. frekv.
① + ③	3716	$2349+1388=3737$
③ + 2x②	3609	$2349+2\times667=3683$
③	2349	základní frekvence
①	1388	IR neaktivní
②	667	dvojnásobná degenerace

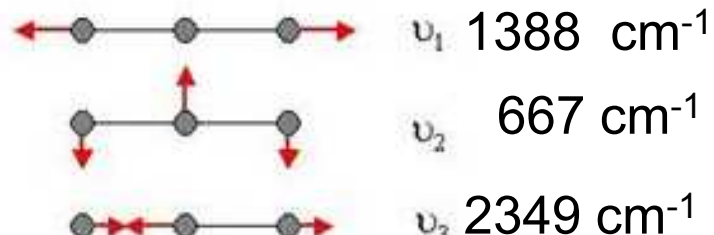
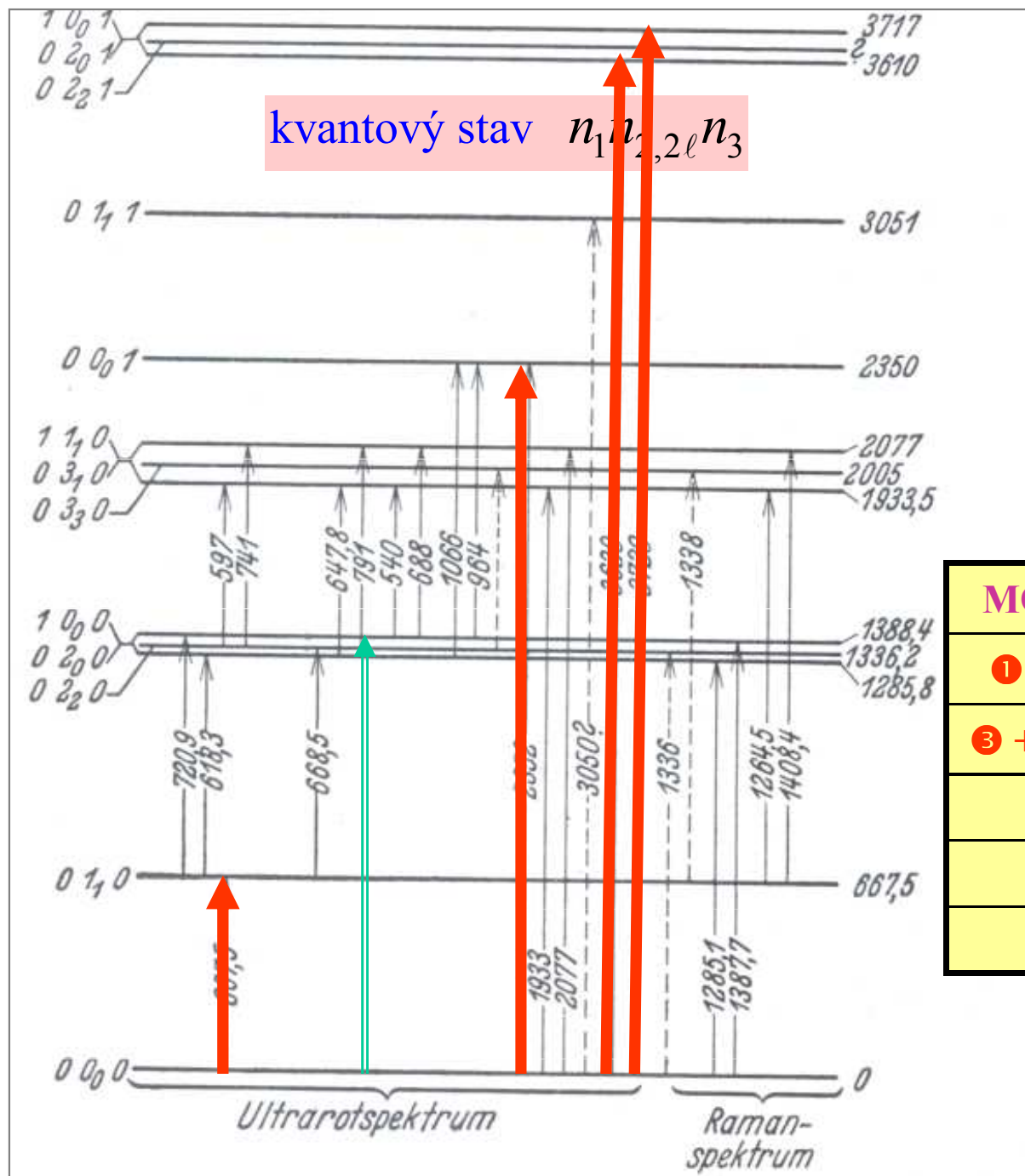
IR spektrum oxidu uhlíčitého CO_2



TABULKA IR FREKVENCÍ

MÓDY	cm^{-1}	kombinace zákl. frekv.
❶ + ❸	3716	$2349 + 1388 = 3737$
❸ + 2x❷	3609	$2349 + 2 \times 667 = 3683$
❸	2349	základní frekvence
❶	1388	IR neaktivní
❷	667	dvojnásobná degenerace

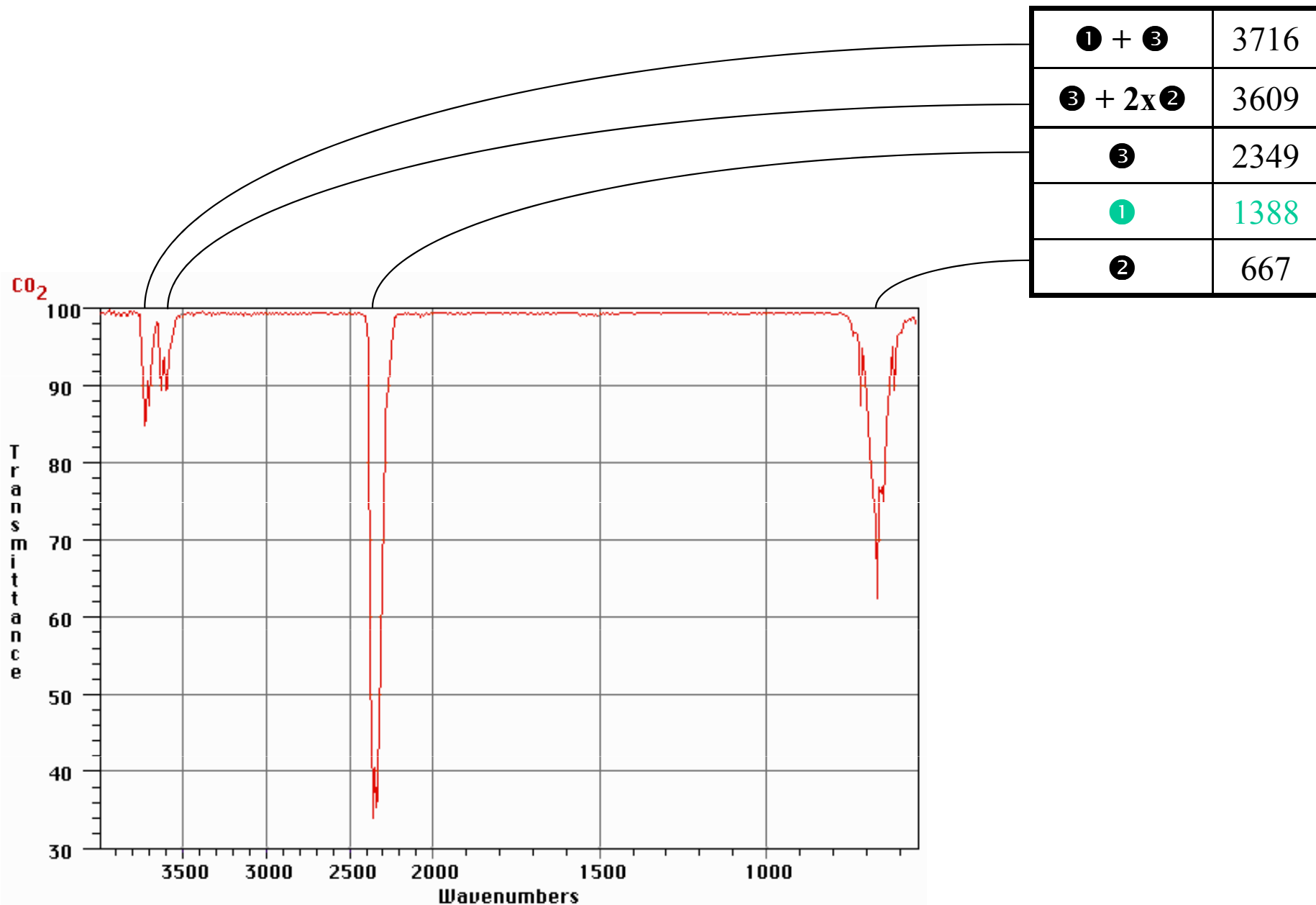
IR spektrum oxidu uhlíčitého CO_2



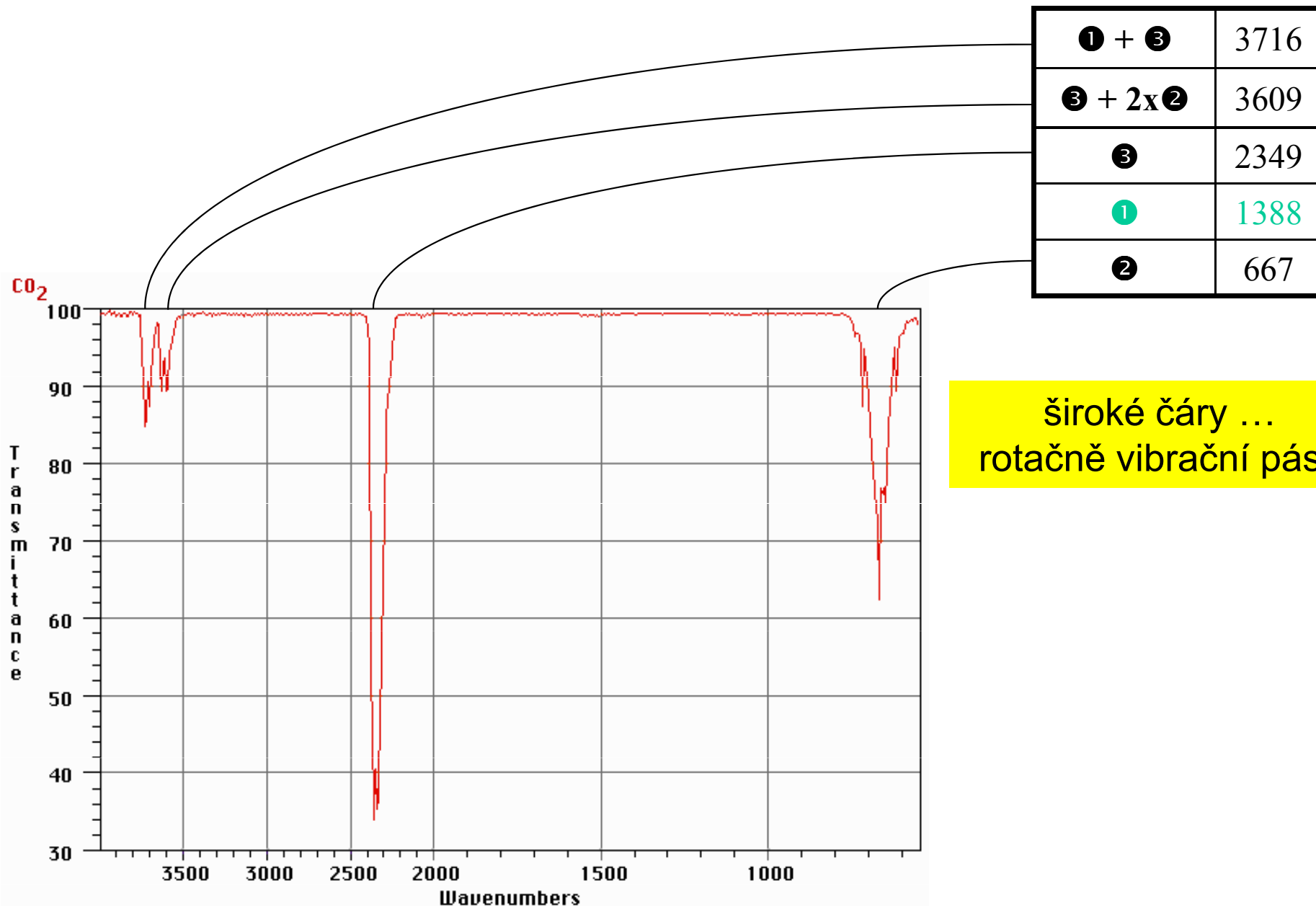
TABULKA IR FREKVENCÍ

MÓDY	cm^{-1}	kombinace zákl. frekv.
① + ③	3716	$2349+1388=3737$
③ + 2x②	3609	$2349+2\times667=3683$
③	2349	základní frekvence
①	1388	IR neaktivní
②	667	dvojnásobná degenerace

Sumární absorpční spektrum oxidu uhlíčitého CO₂



Sumární absorpční spektrum oxidu uhlíčitého CO_2



Další IR aktivní molekuly
(jak uvidíme, skleníkové)

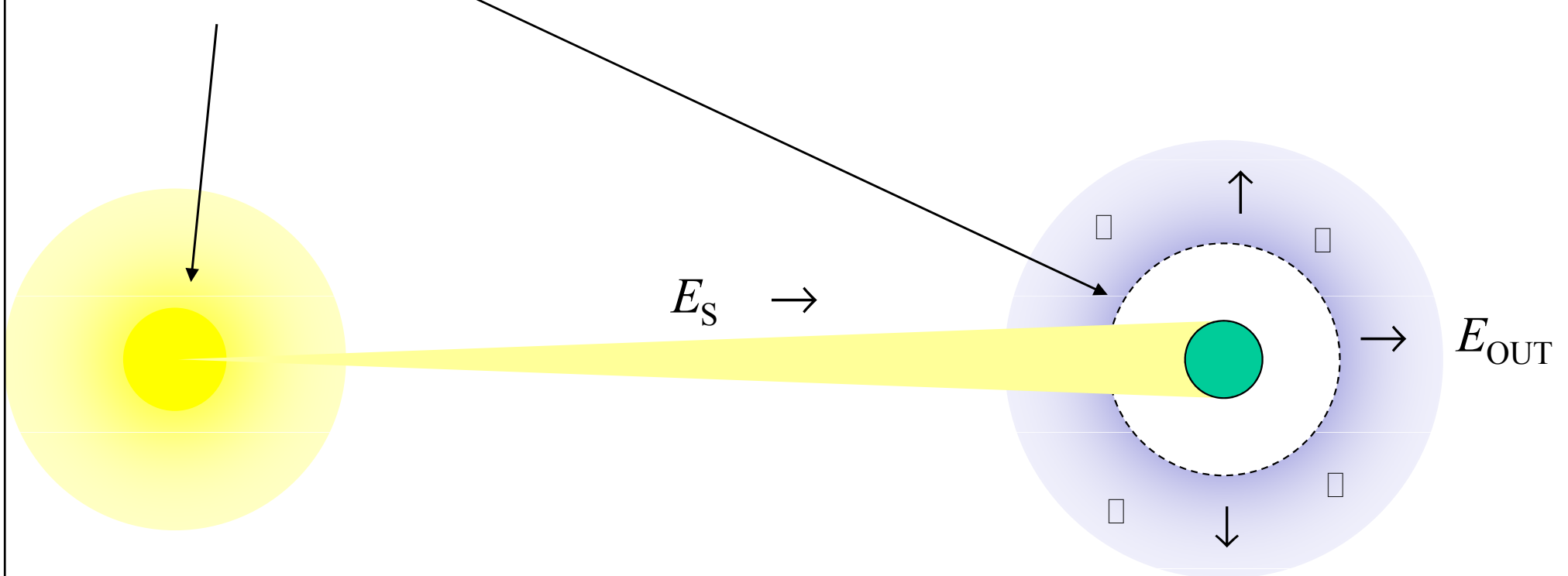
Zábavný přehled vibrací a IR spekter pro skleníkové molekuly



Skleníkový efekt

Energetická bilance Země

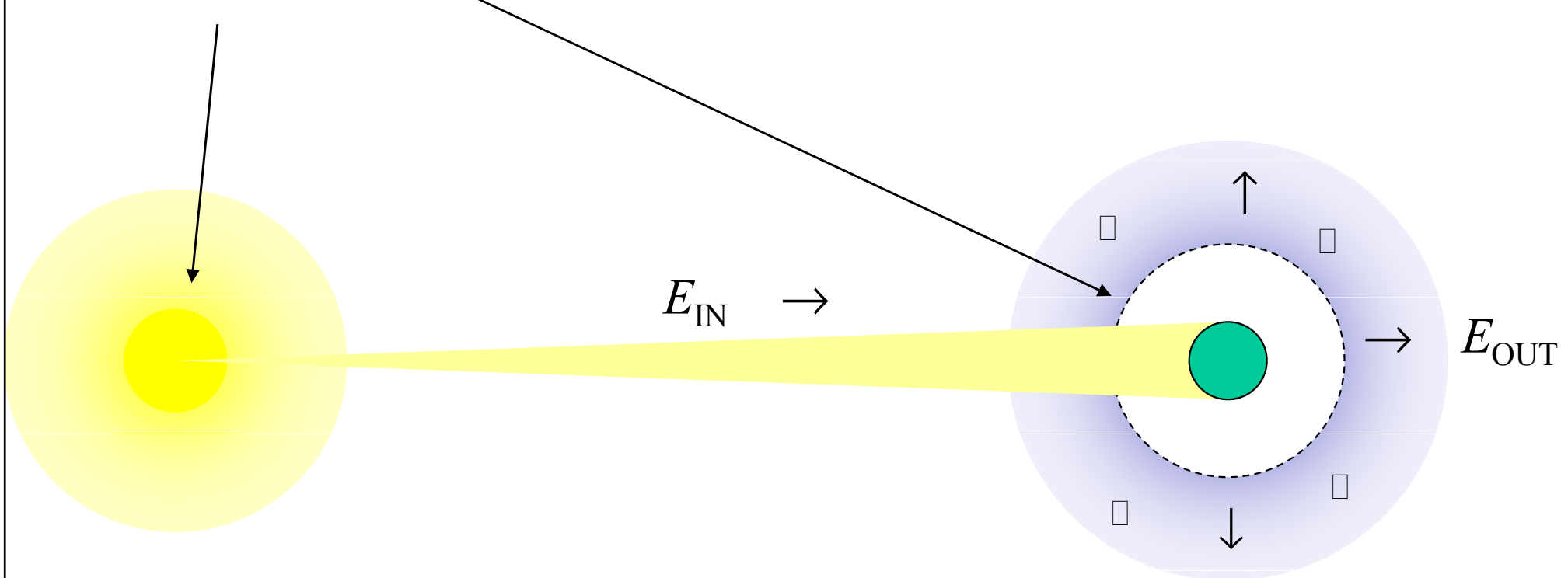
Slunce a Země: energetická bilance



Země jako isolovaná soustava

$$E_S = E_{OUT} \text{ (+} E_{GEOTHERM} \text{)} \text{ podmínka stacionarity}$$

Slunce a Země: energetická bilance

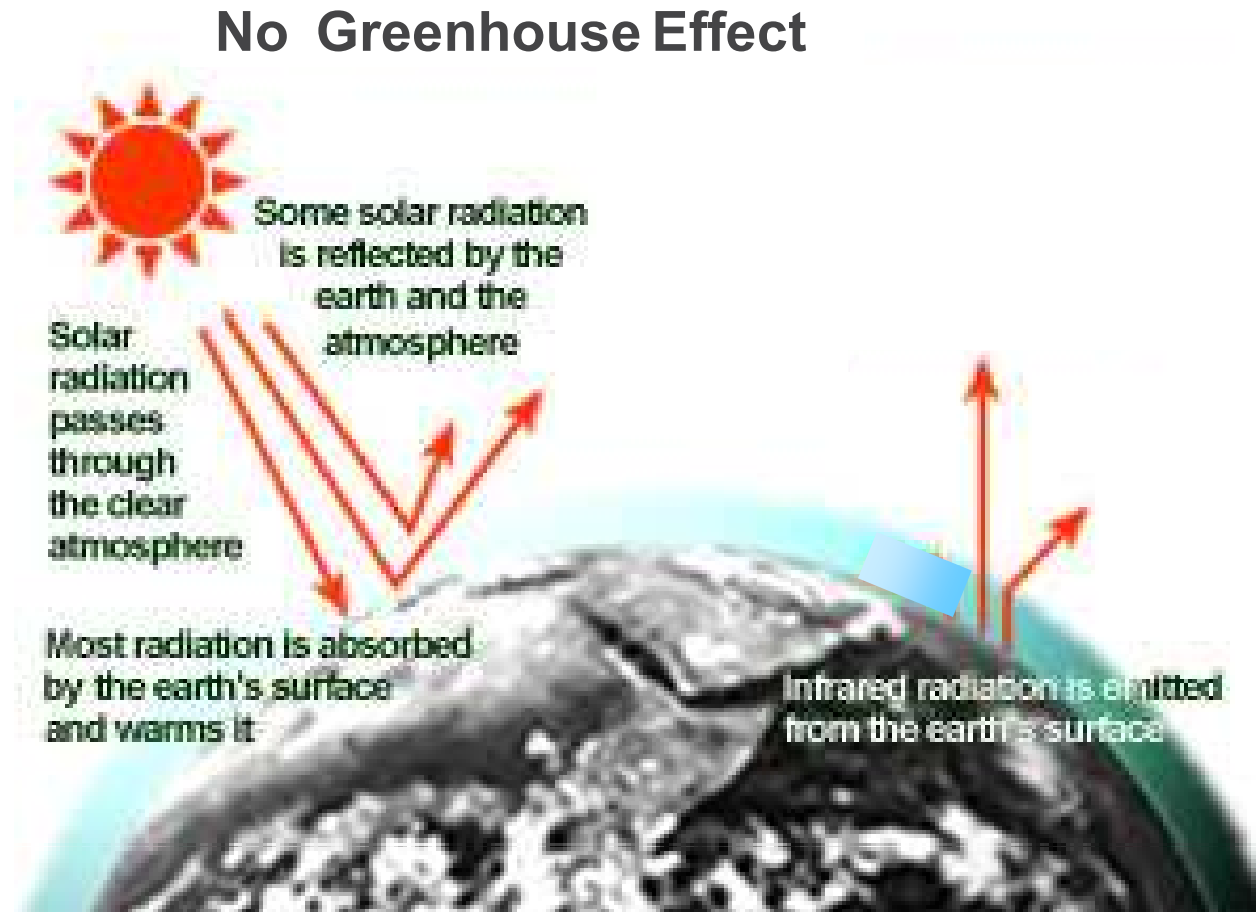


Země jako isolovaná soustava

$$E_S = E_{OUT} (+E_{GEOTHERM}) \text{ podmínka stacionarity}$$

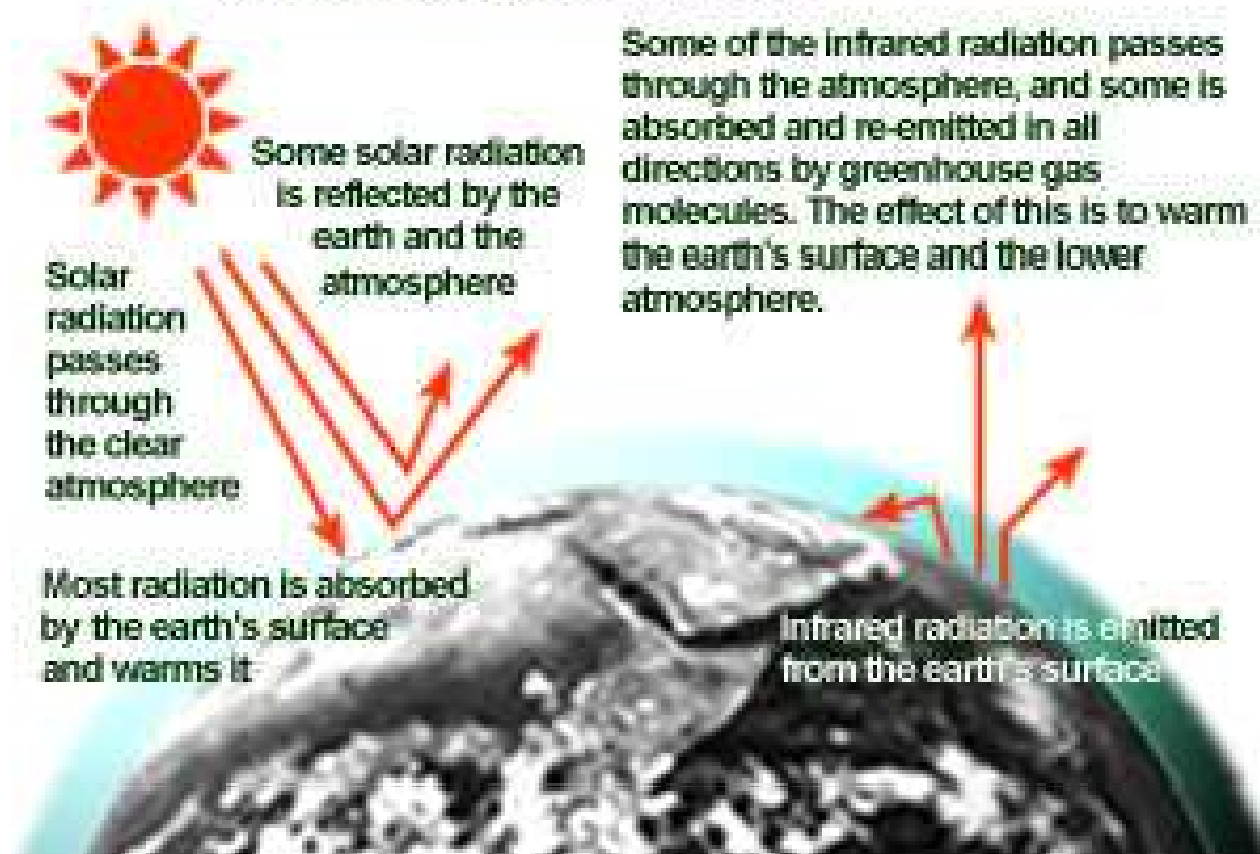
malá

Skleníkový efekt: základní schematický pohled



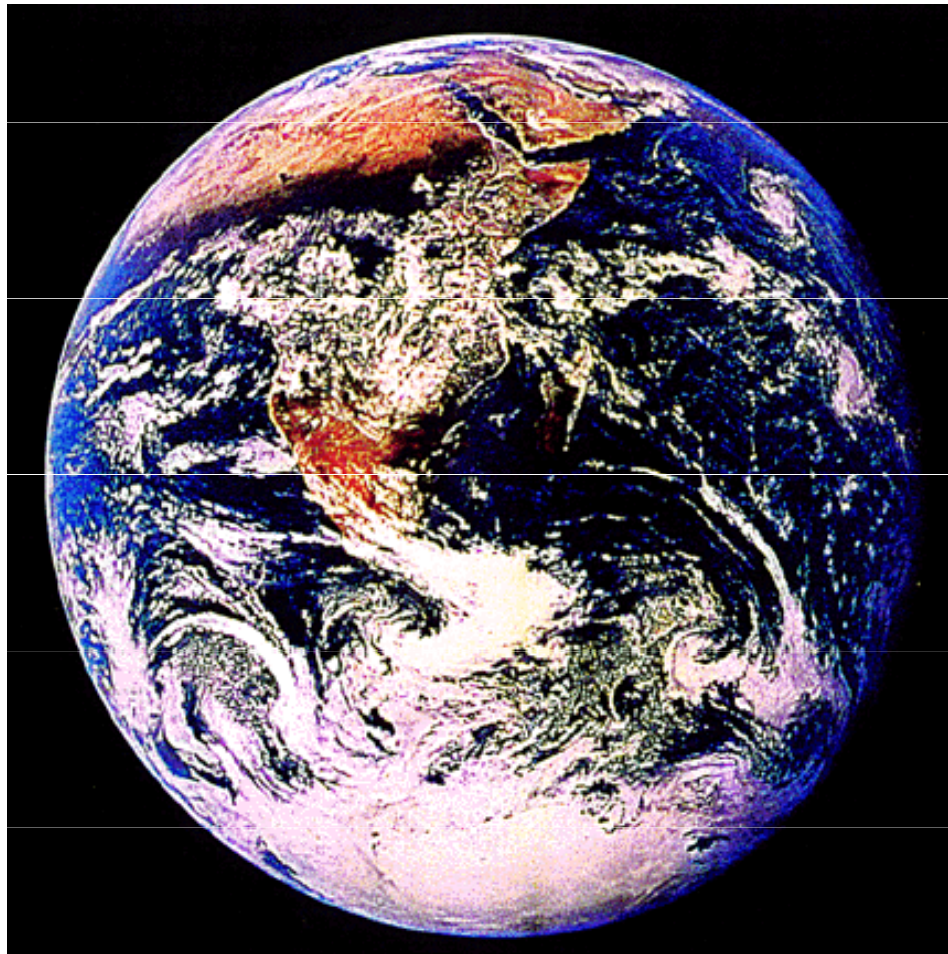
Skleníkový efekt: základní schematický pohled

The Greenhouse Effect



Albedo Země z Vesmíru je asi 30%

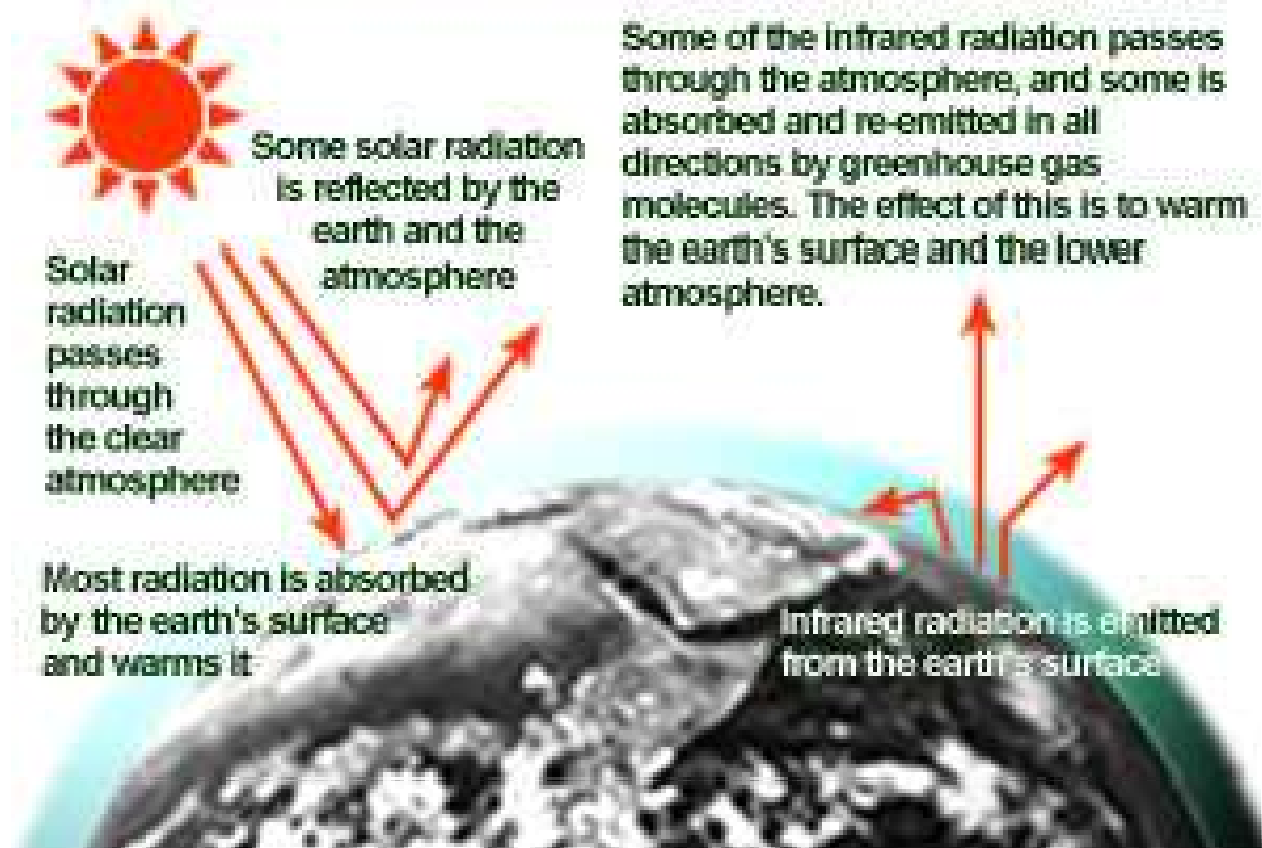
$$\alpha = \frac{\text{vysílaná energie}}{\text{dopadající energie}}$$



Oceány	(~ 6 – 10 %)
Zemědělská půda	(10 – 20 %)
Lesy	(10 – 20 %)
Pouště	(25 – 40 %)
Oblaka	(35 – 40 %)
Sníh, led	(60 – 80 %)
Celek	~ 30 %

Skleníkový efekt: základní schematický pohled

The Greenhouse Effect

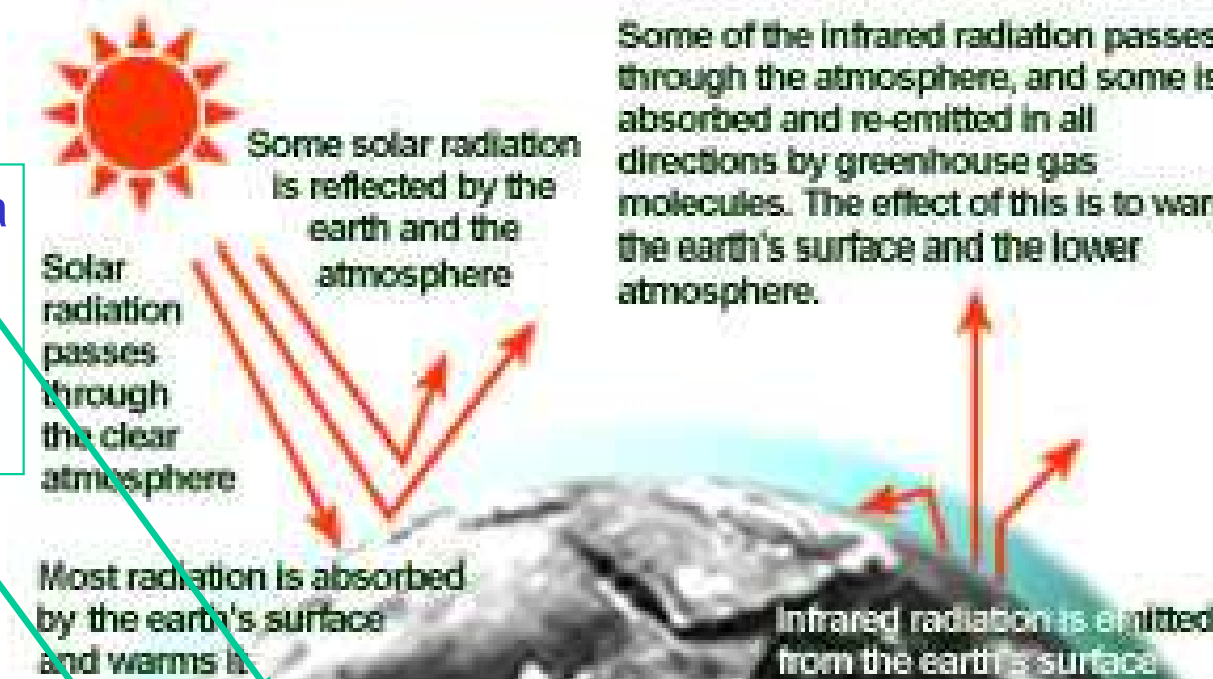


Skleníkový efekt: odhad

The Greenhouse Effect

solární konstanta
1368 Wm⁻²

albedo
0,3



Od Slunce přichází

$$E_S = S \times \pi R_Z^2$$

Z toho se odrazí

$$\alpha E_S \quad \alpha = 0.3$$

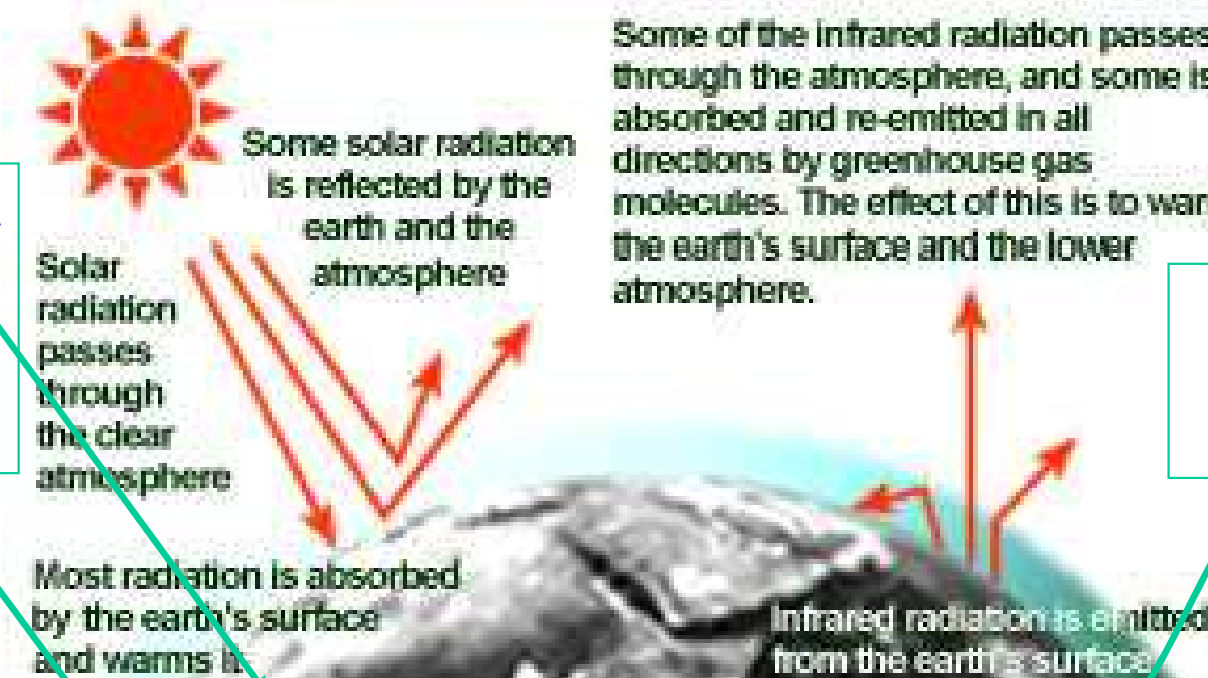
Země zachytí

$$E_{IN} = E_S(1 - \alpha)$$

Skleníkový efekt: odhad

The Greenhouse Effect

solární konstanta
1368 Wm⁻²
albedo
0,3



emisivita atmosféry
?

Od Slunce přichází

$$E_S = S \times \pi R_Z^2$$

Z toho se odrazí

$$\alpha E_S \quad \alpha = 0.3$$

Země zachytí

$$E_{IN} = E_S(1 - \alpha)$$

$$E_Z = \sigma T_Z^4 \times 4\pi R_Z^2$$

$$E_Z \varepsilon$$

Země vyzářuje

Skleník. plyny zachytí

$$E_{OUT} = E_{IN}$$

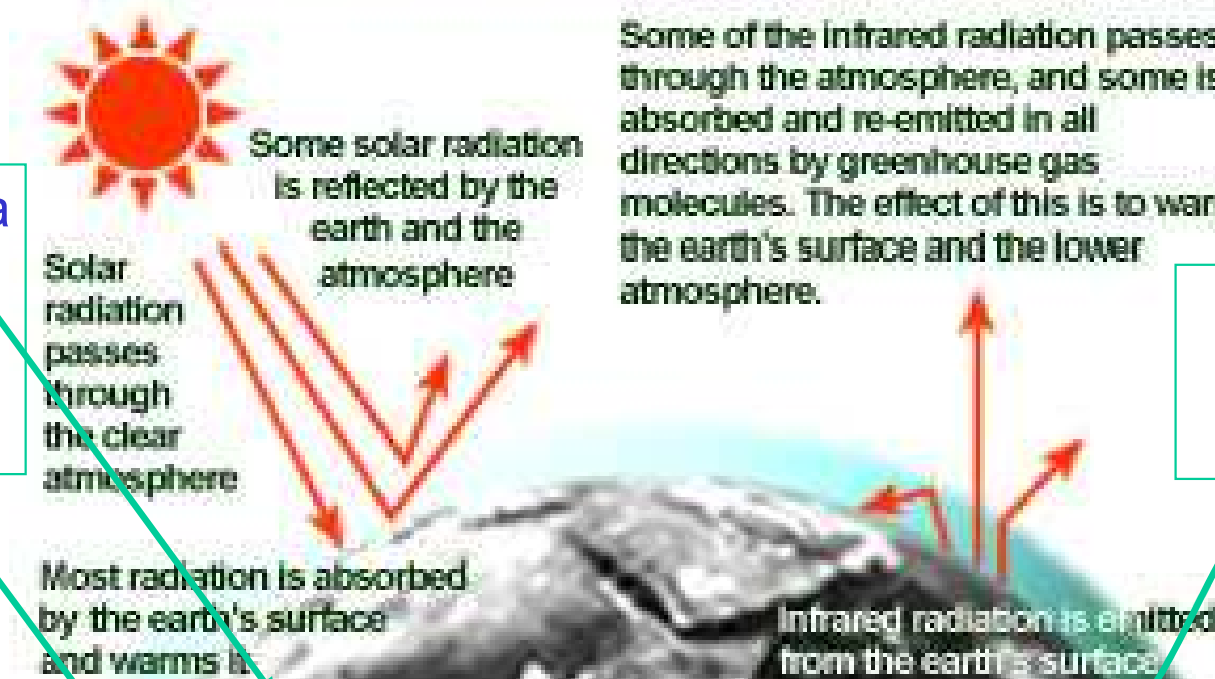
Do prostoru odchází

Podmínka rovnováhy

Skleníkový efekt: odhad

The Greenhouse Effect

solární konstanta
1368 Wm⁻²
albedo
0,3



Od Slunce přichází

$$E_S = S \times \pi R_Z^2$$

Z toho se odrazí

$$\alpha E_S \quad \alpha = 0.3$$

Země zachytí

$$E_{IN} = E_S(1 - \alpha)$$

$$E_Z = \sigma T_Z^4 \times 4\pi R_Z^2$$

$$E_Z \varepsilon$$

$$E_{OUT} = E_{IN}$$

Země vyzáruje

Skleník. plyny zachytí

Do prostoru odchází

Podmínka rovnováhy

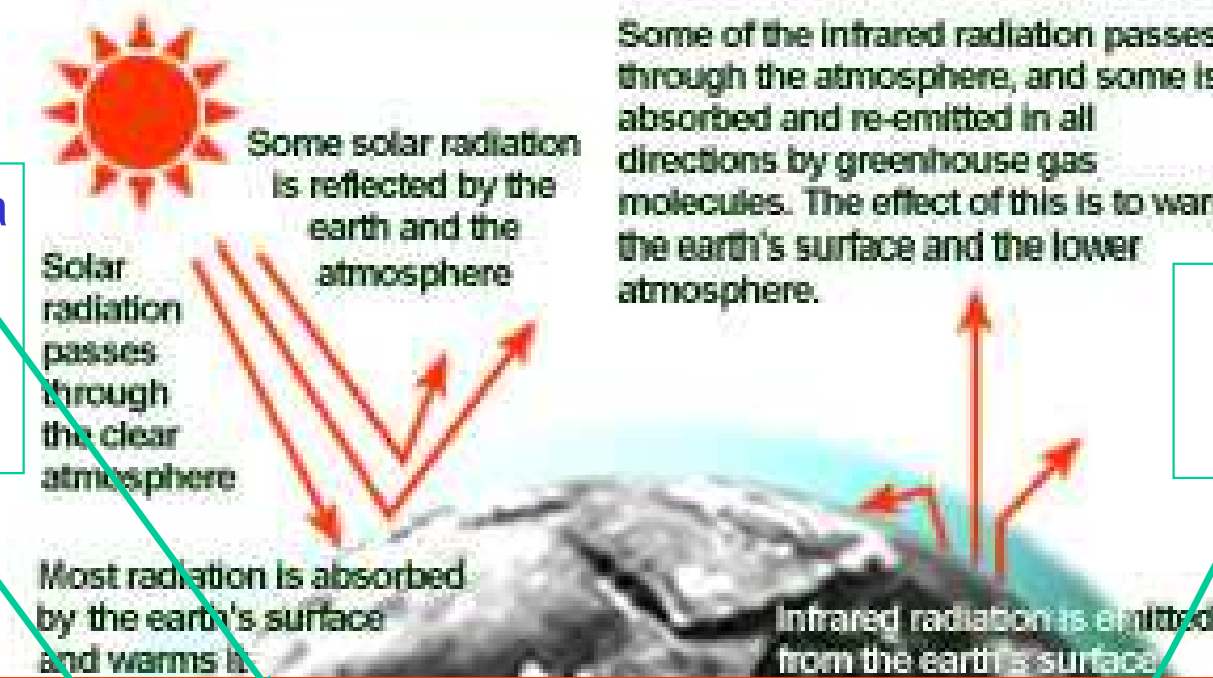
$$T_Z = \sqrt[4]{\frac{S(1-\alpha)}{4\sigma(1-\frac{1}{2}\varepsilon)}}$$

Ustálená teplota Země

Skleníkový efekt: odhad

The Greenhouse Effect

solární konstanta
1368 Wm⁻²
albedo
0,3



emisivita atmosféry
?

Od Slunce přichází

$$E_S = S \times \pi R_Z^2$$

$$E_Z = \sigma T_Z^4 \times 4\pi R_Z^2$$

Země vyzařuje

Z toho se odrazí

$$\alpha E_S \quad \alpha = 0.3$$

$$E_Z \epsilon$$

Skleník. plyny zachytí

Země zachytí

$$E_{IN} = E_S(1 - \alpha)$$

$$E_{OUT} = E_Z(1 - \frac{1}{2}\epsilon)$$

Do prostoru odchází

$$\epsilon = 0 \Rightarrow$$

$$T_Z = 255K$$

$$E_{OUT} = E_{IN}$$

Podmínka rovnováhy

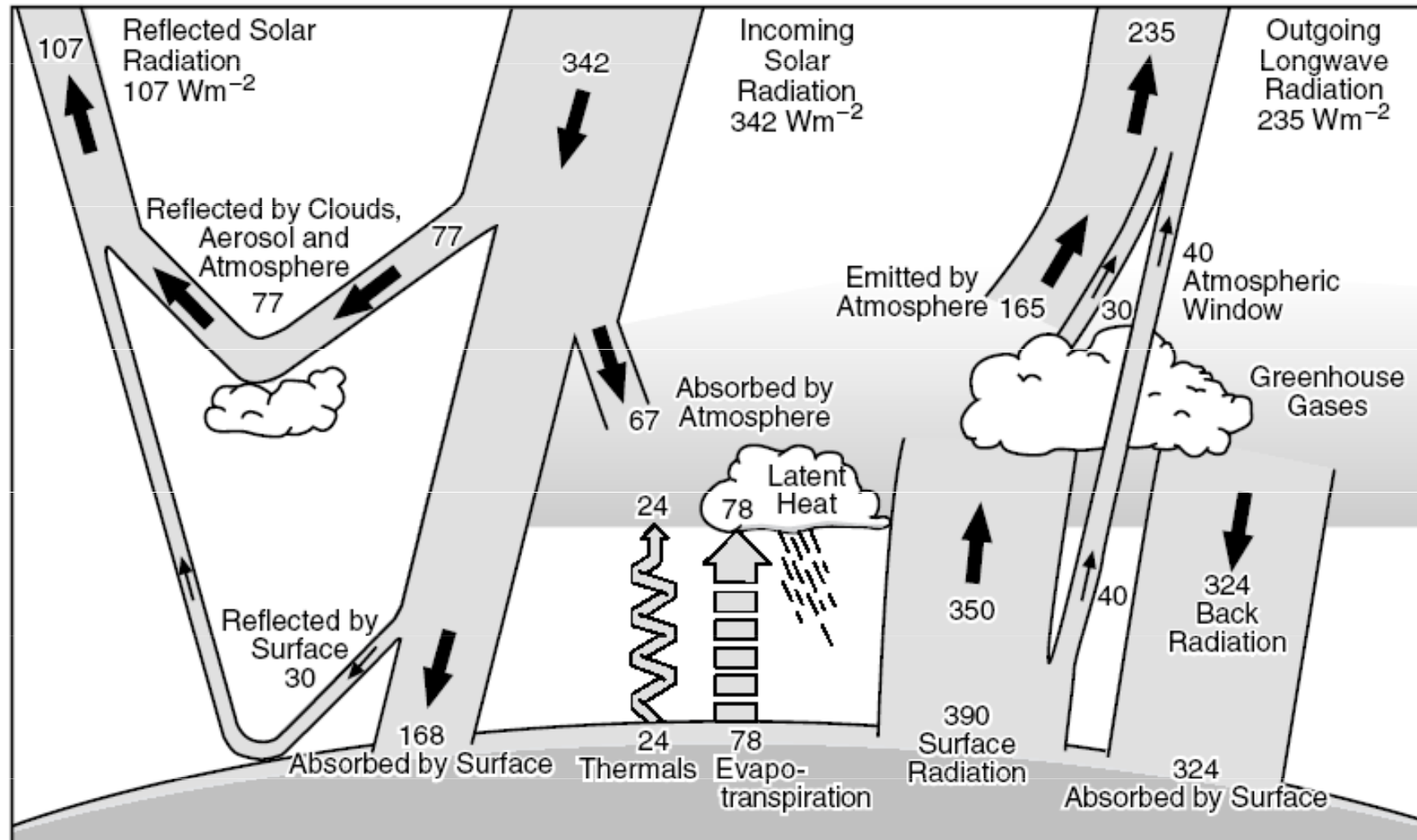
$$T_Z = 288K \Rightarrow$$

$$\epsilon = 0.76$$

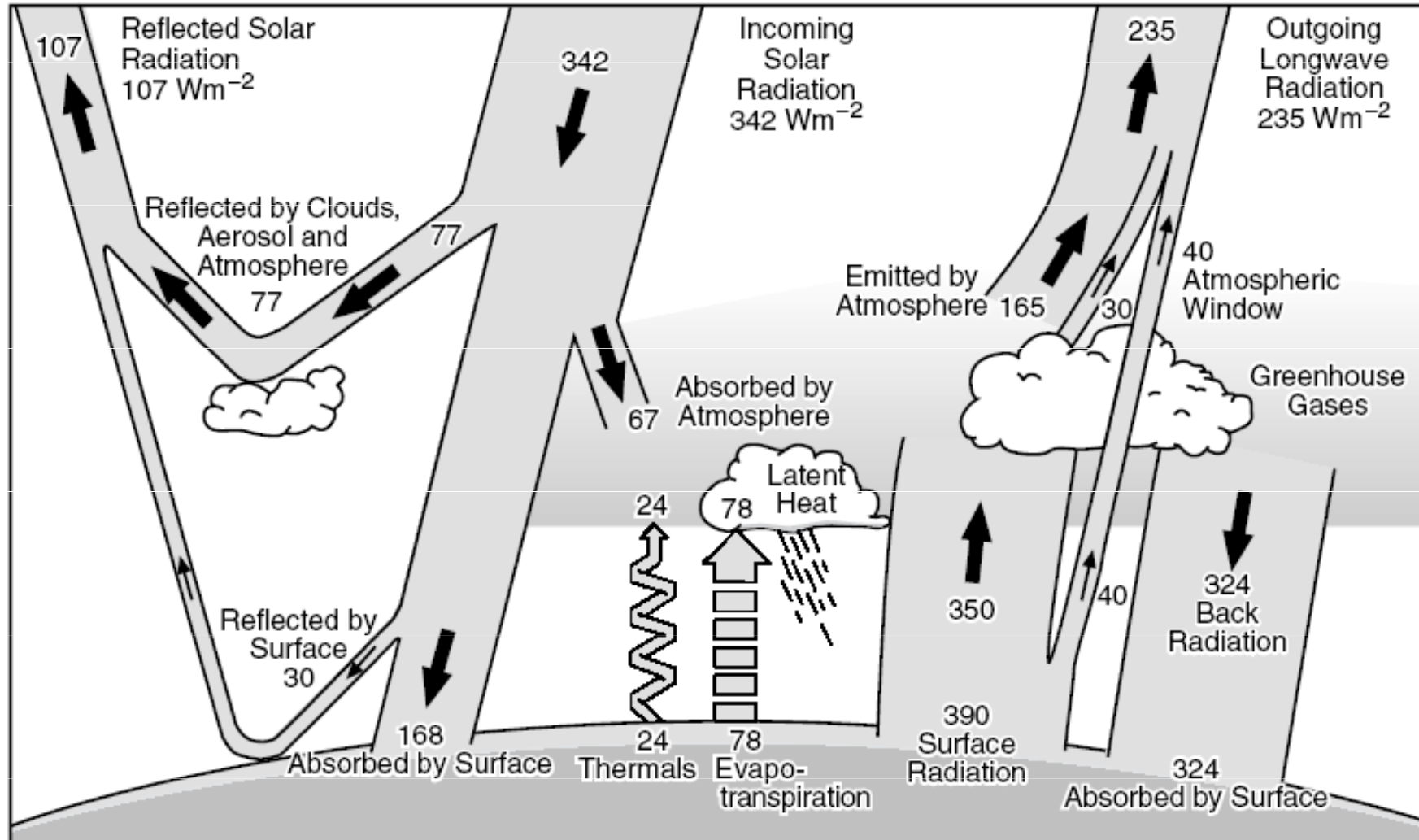
$$T_Z = \sqrt[4]{\frac{S(1-\alpha)}{4\sigma(1-\frac{1}{2}\epsilon)}}$$

Ustálená teplota Země

Podrobnosti tepelné rovnováhy Země

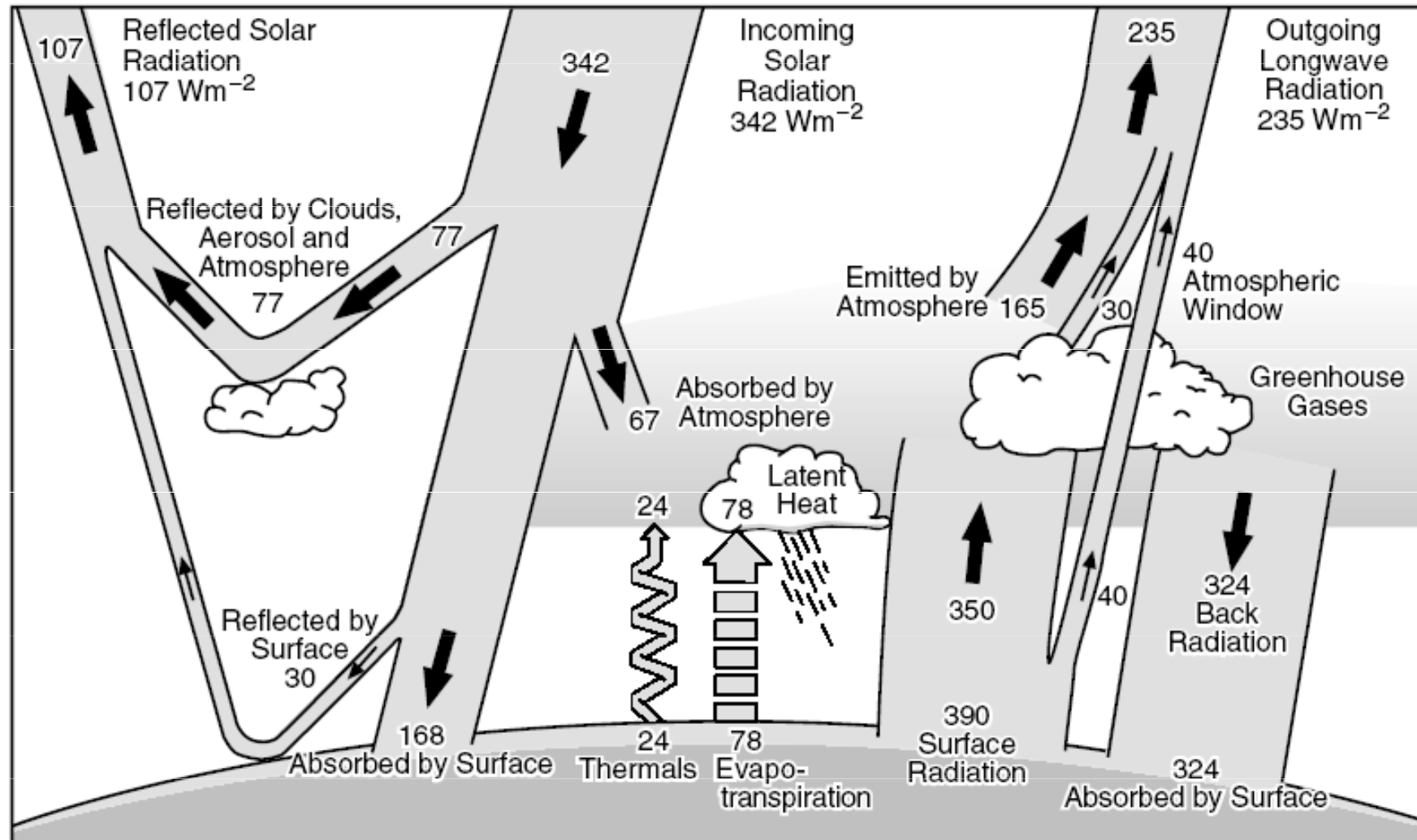


Podrobnosti tepelné rovnováhy Země

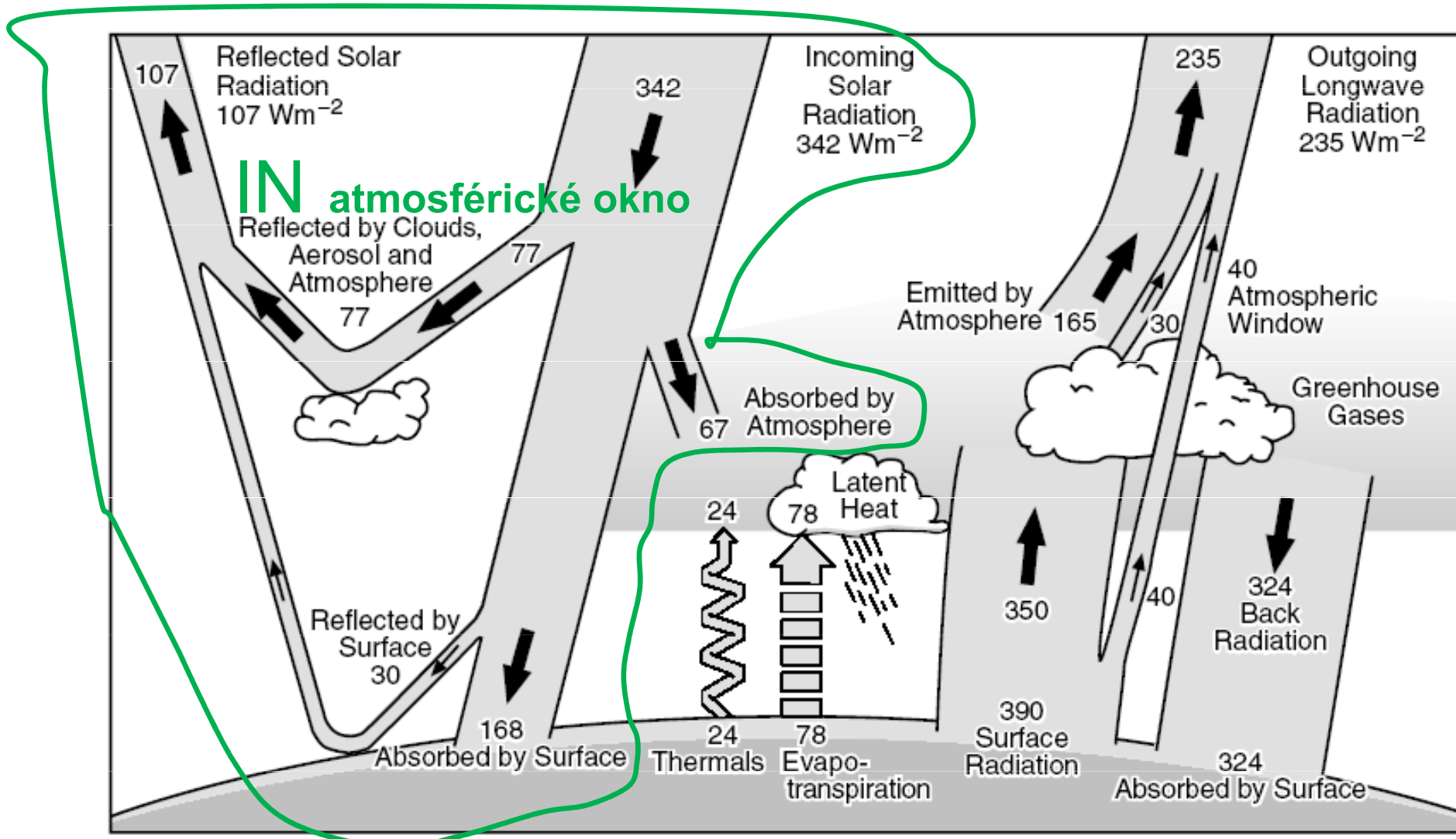


$$342 \times 4 = 1368 \text{ W/m}^2 \quad \text{Solární konstanta}$$

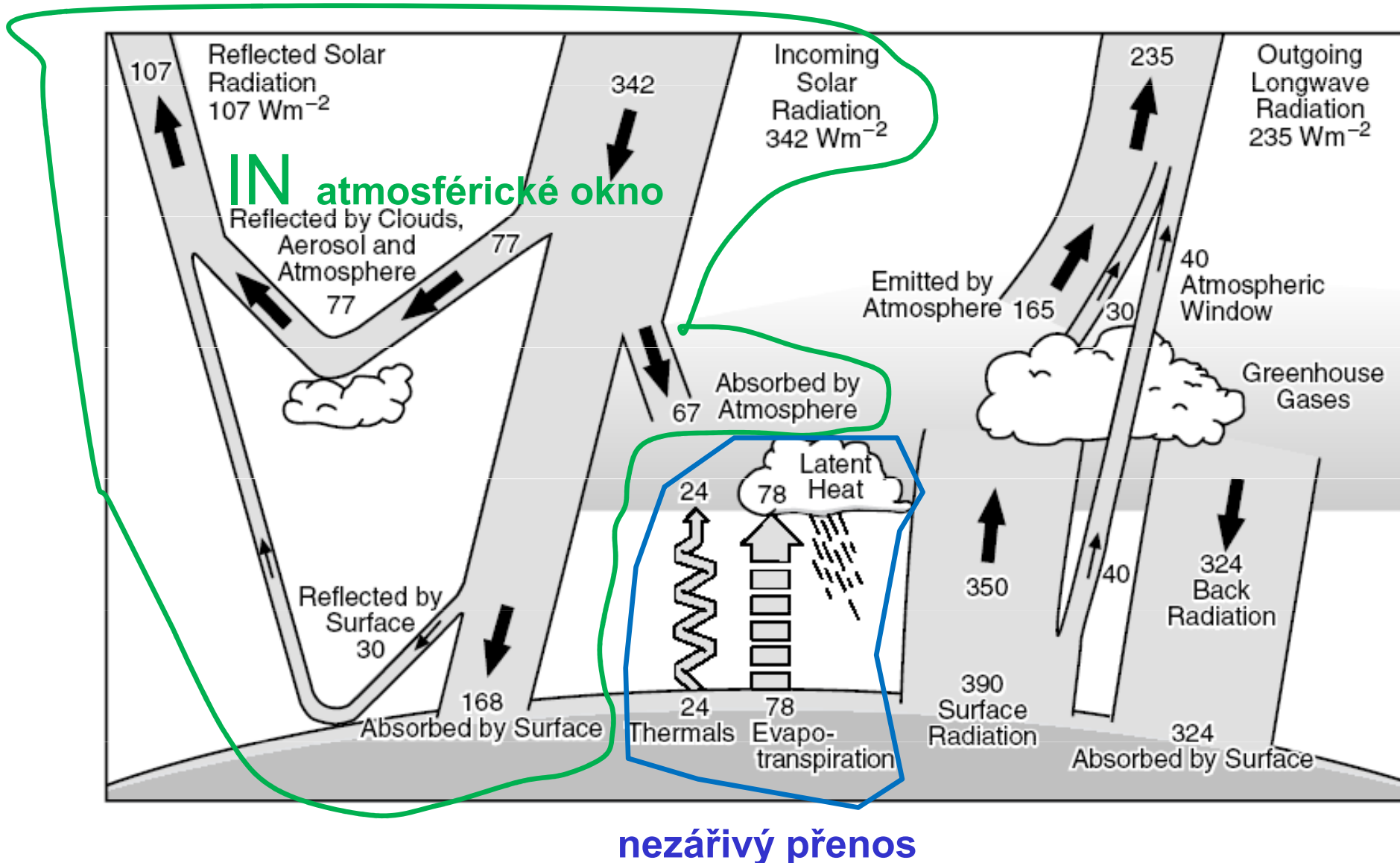
Podrobnosti tepelné rovnováhy Země



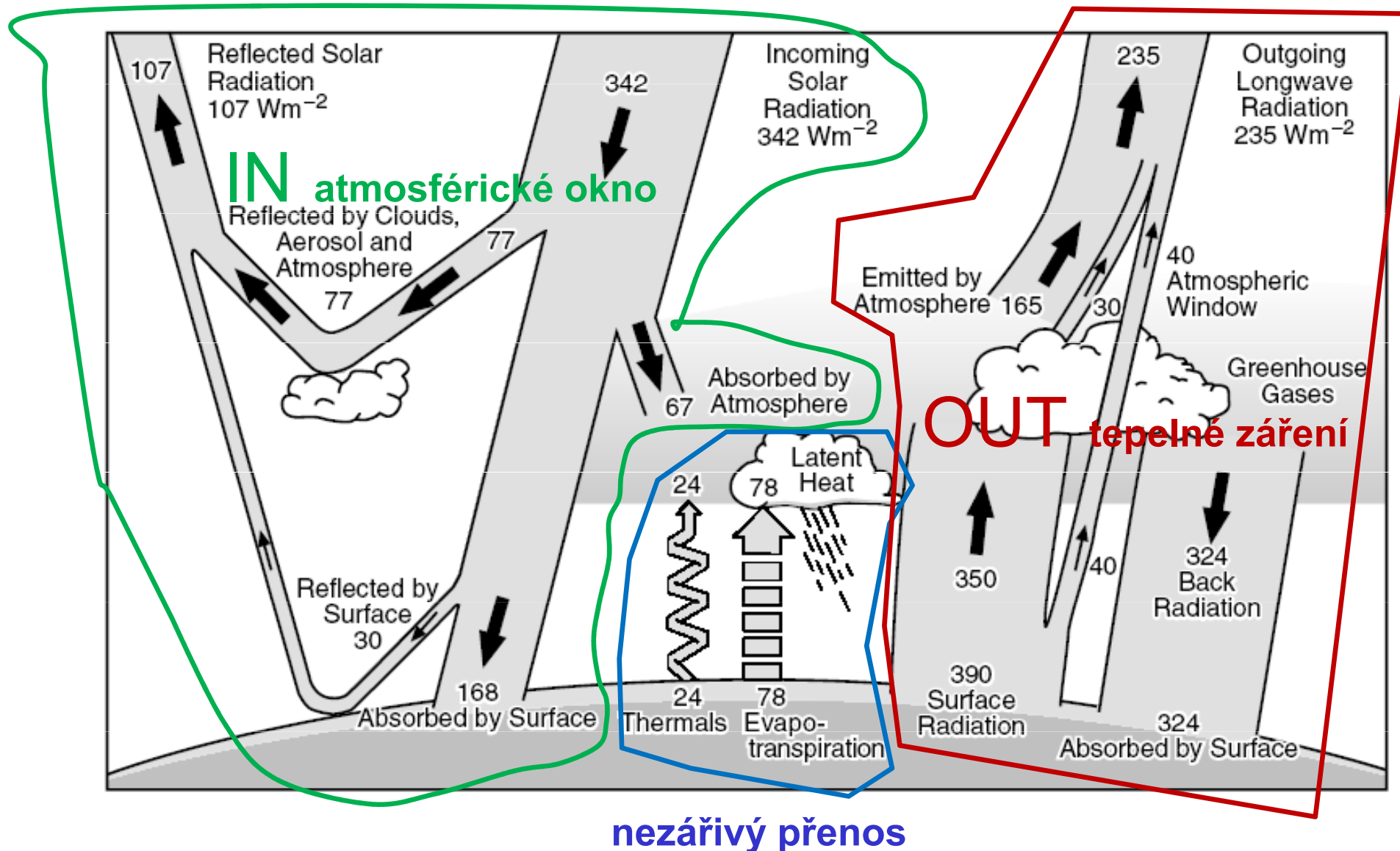
Podrobnosti tepelné rovnováhy Země



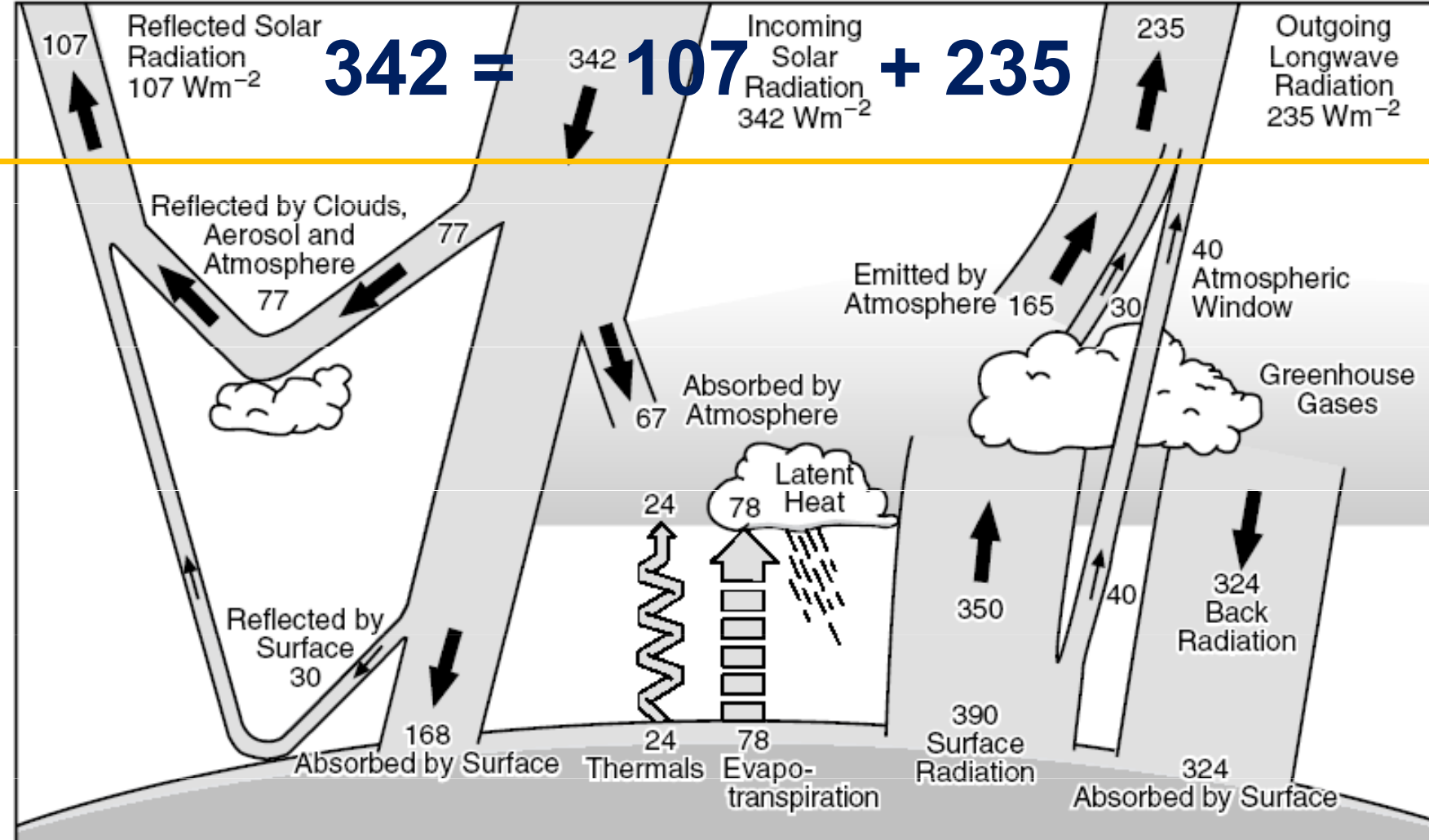
Podrobnosti tepelné rovnováhy Země



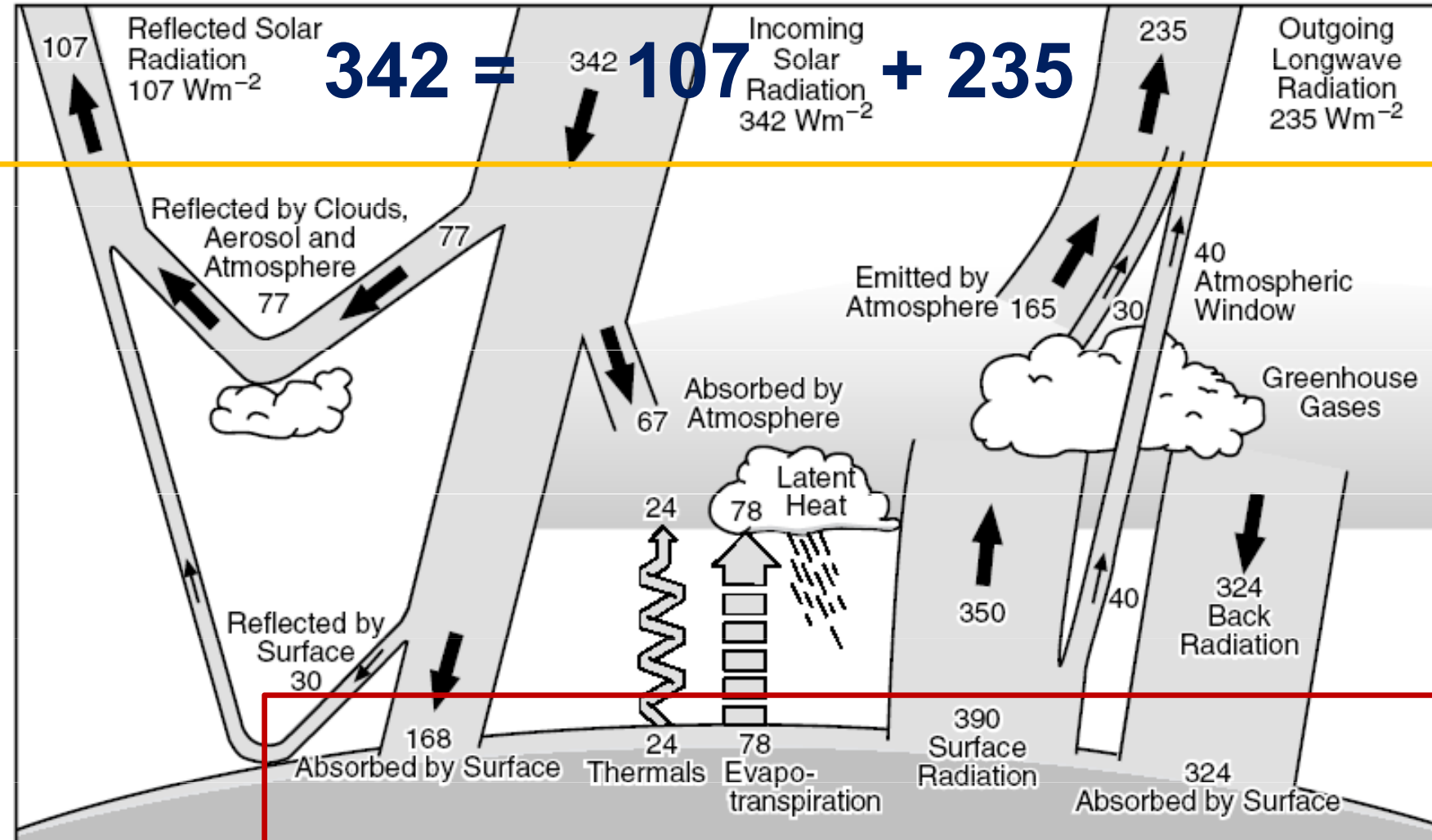
Podrobnosti tepelné rovnováhy Země



Podrobnosti tepelné rovnováhy Země

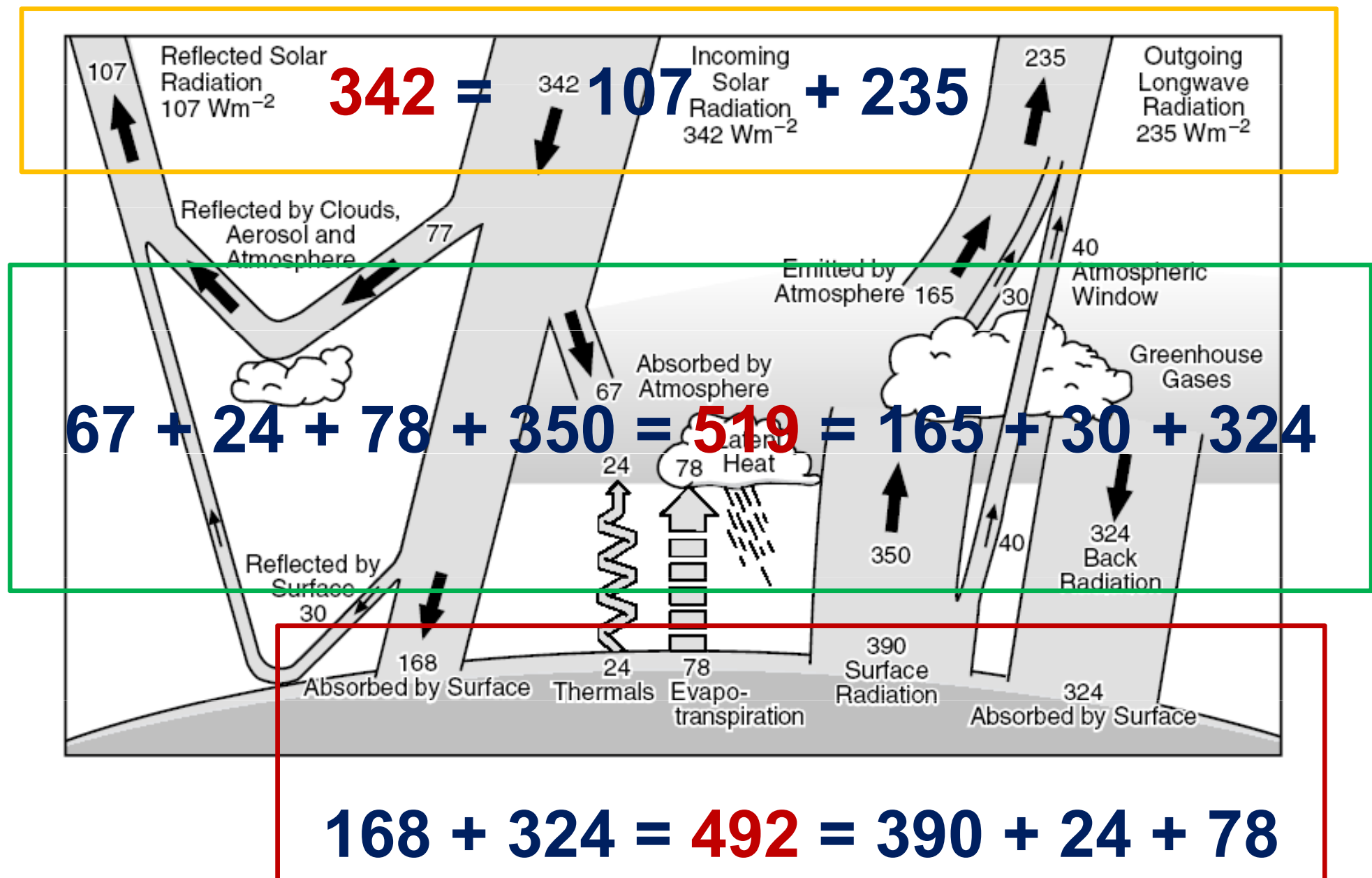


Podrobnosti tepelné rovnováhy Země

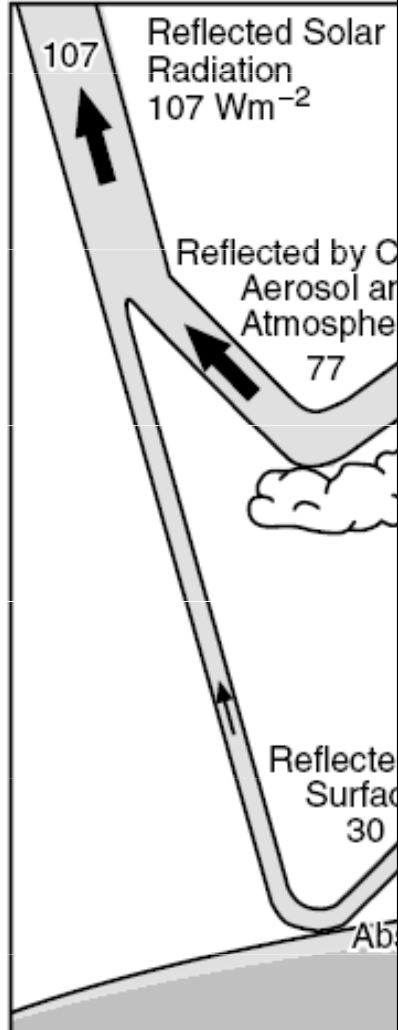


$$168 + 324 = 492 = 390 + 24 + 78$$

Podrobnosti tepelné rovnováhy Země



Podrobnosti tepelné rovnováhy Země

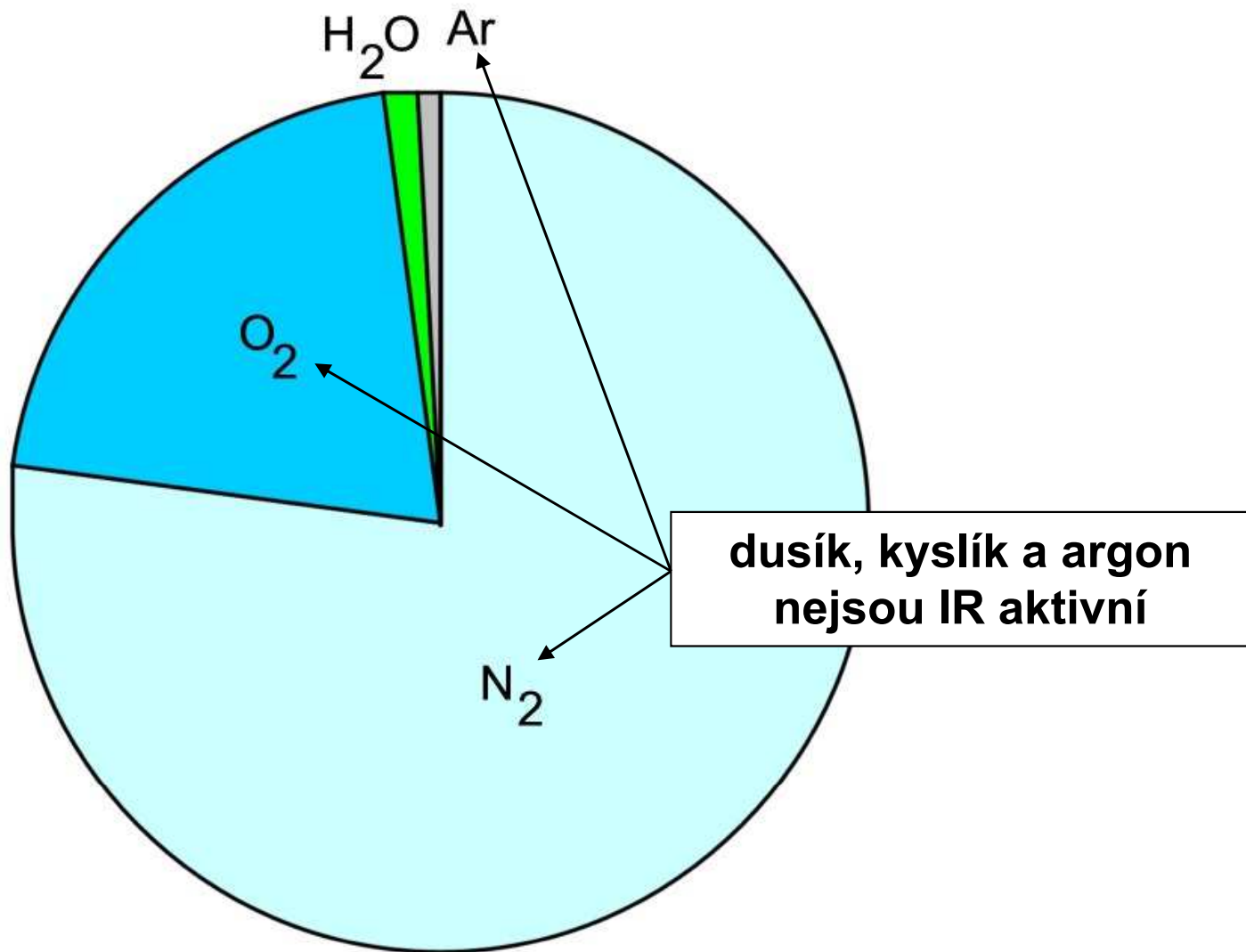


TEPELNÁ ROVNOVÁHA ZEMĚ

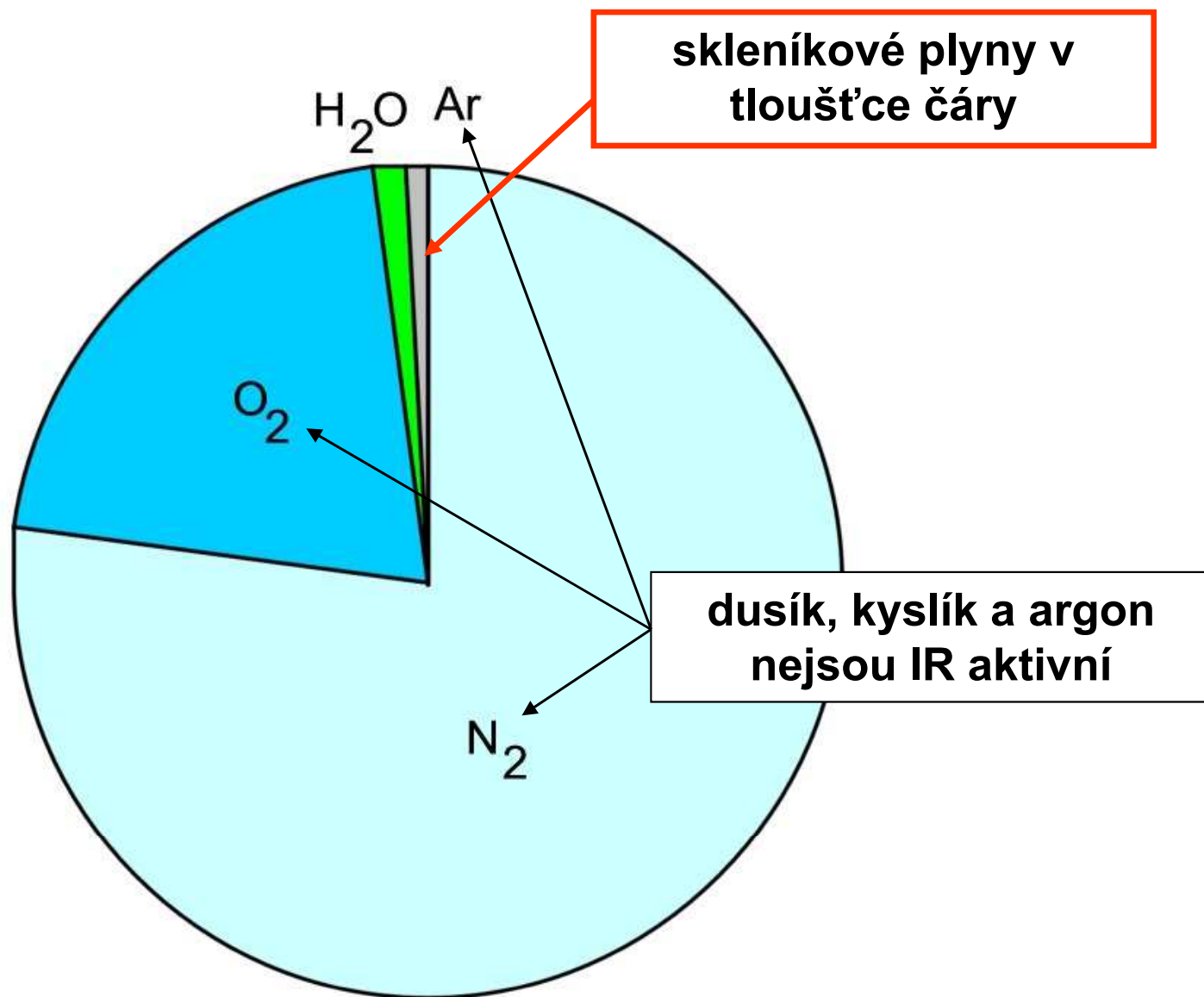
- dynamický proces s jemnou rovnováhou
- závisí na mnoha faktorech
 - rozsah oblačnosti
 - množství aerosolů v atmosféře (sopky)
 - variace solární konstanty
 - koncentrace skleníkových plynů
- uvedený model je stále jen schematický
 - cirkadiánní změny
 - sezonní změny
 - geografické vlivy: moře vs. kontinent atd.

Mechanismus skleníkového efektu: IR aktivní molekuly v atmosféře

Atmosféra Země



Atmosféra Země



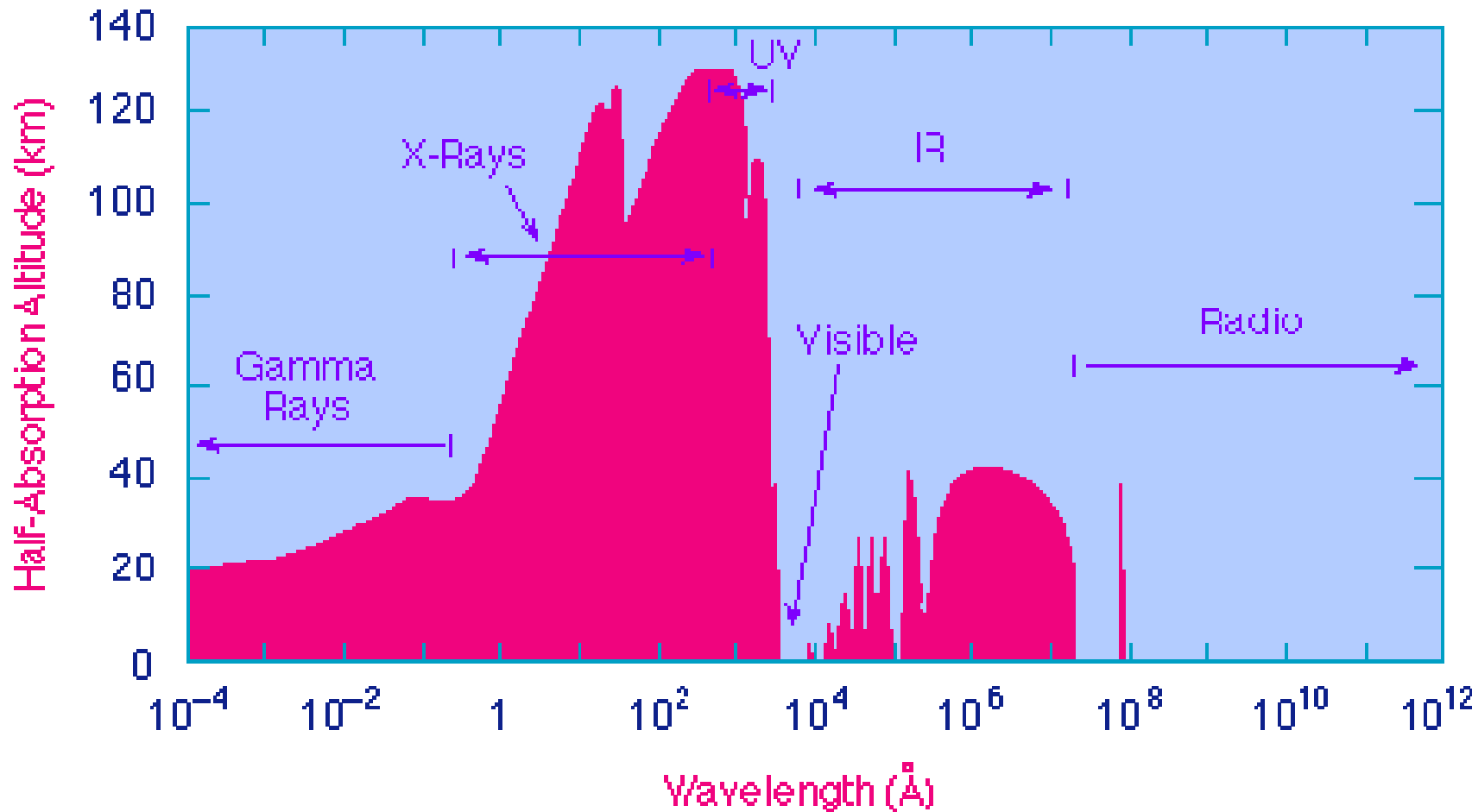
Které jsou skleníkové molekuly?

SKLENÍKOVÉ MOLEKULY

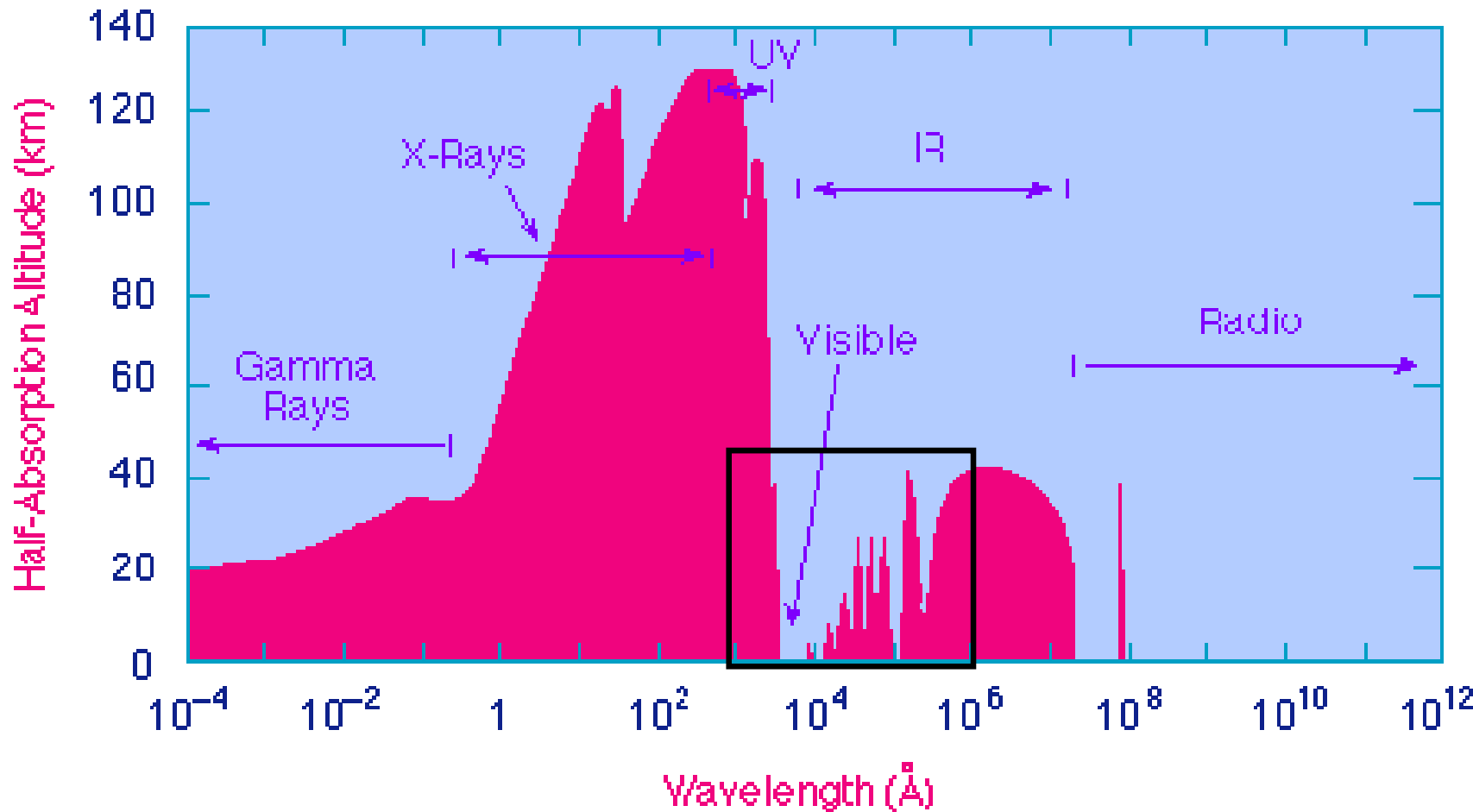
- tvoří součást zemské atmosféry (zpravidla troposféry)
- jsou IR aktivní – absorbují infračervené záření
- nejdůležitější – **vodní pára**
- další ve stopových, ale účinných množstvích

CO_2 N_2O CH_4 freony přízemní ozon O_3

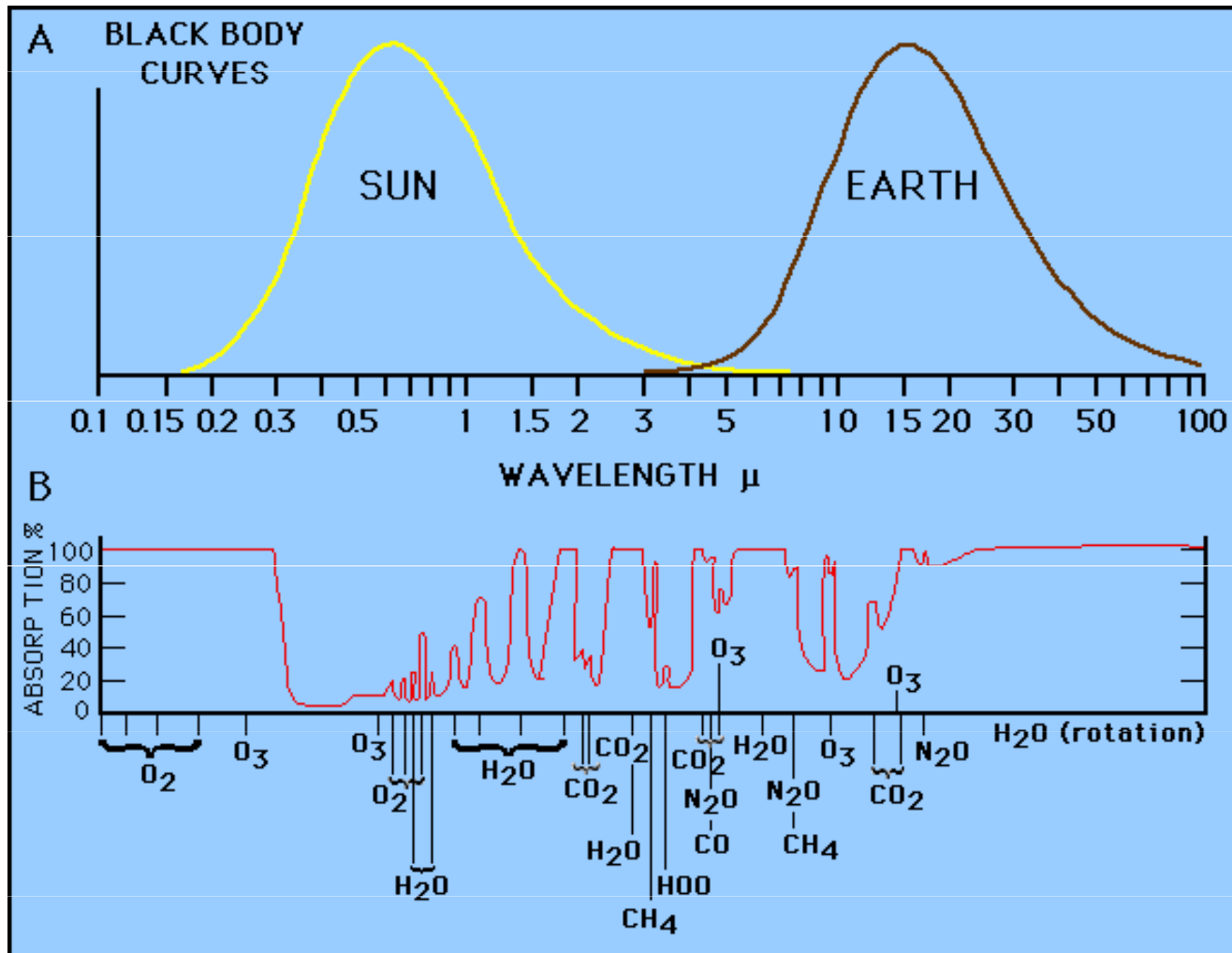
Okna průhlednosti v zemské atmosféře: podle příručky



Okna průhlednosti v zemské atmosféře: podle příručky

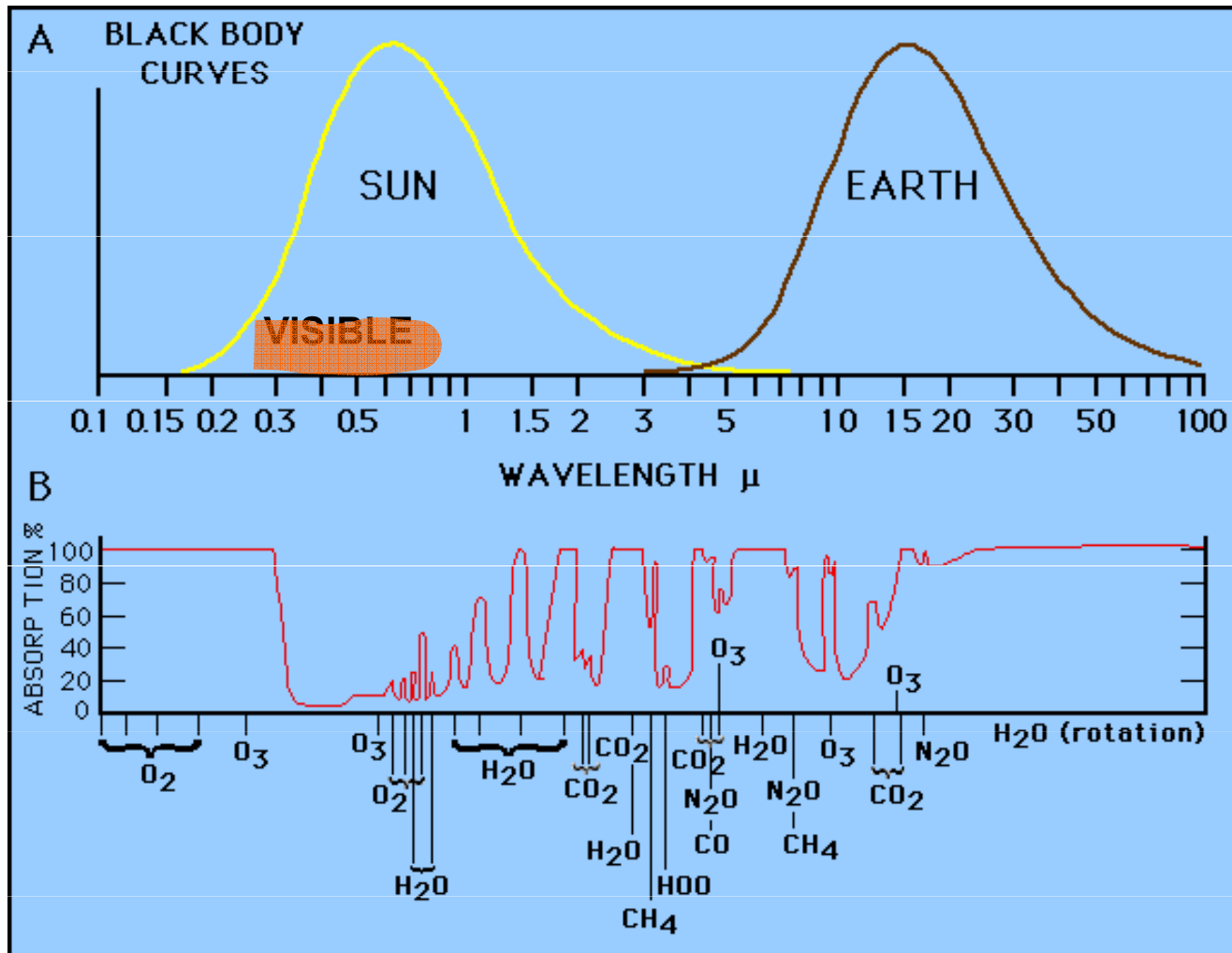


Souvislost se skleníkovým efektem



$$1\mu\text{m} = 10\ 000\text{\AA}$$

Souvislost se skleníkovým efektem

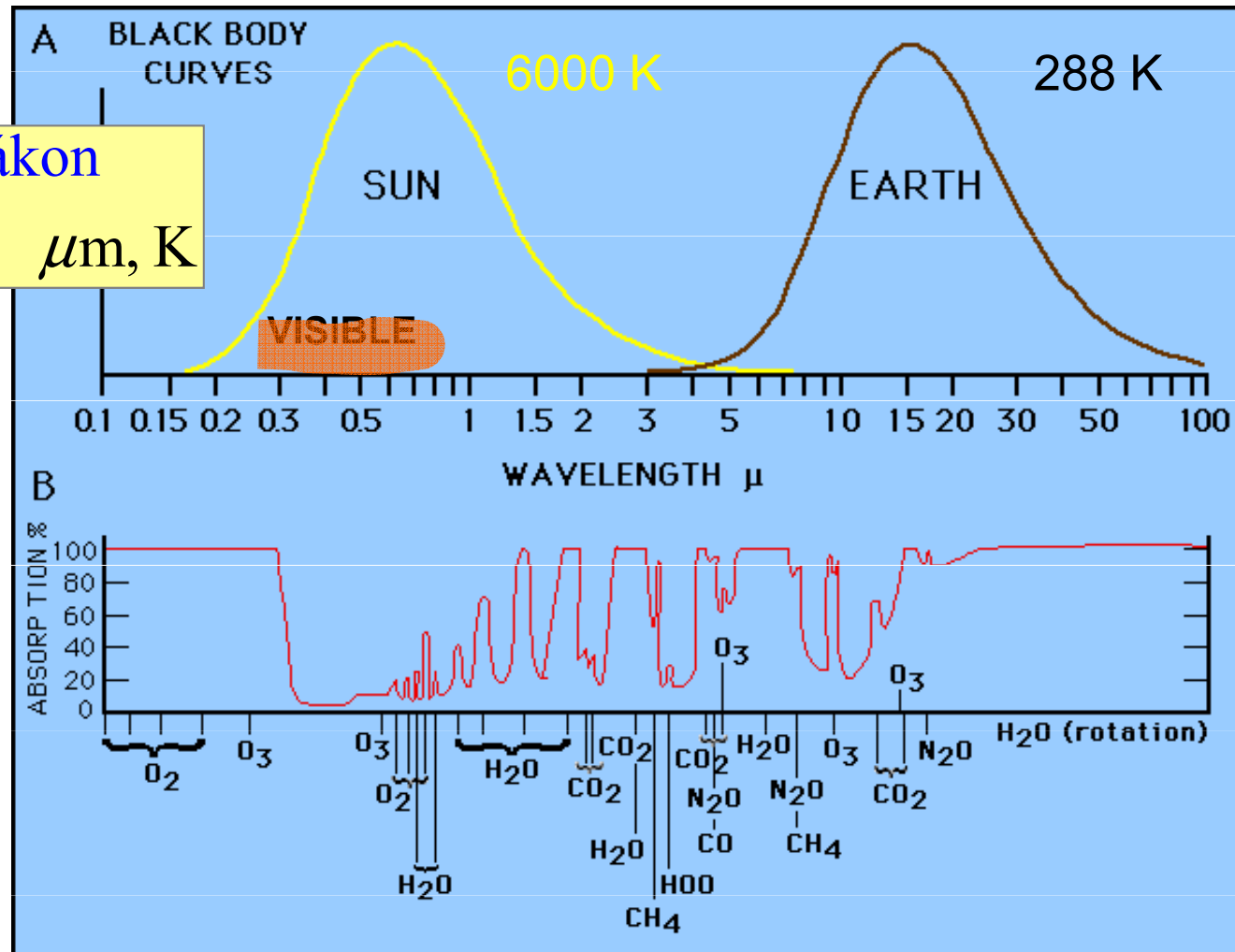


$$1\mu\text{m} = 10\ 000\text{\AA}$$

Souvislost se skleníkovým efektem

Wienův zákon

$$\lambda = 2897/T \quad \mu\text{m}, \text{K}$$

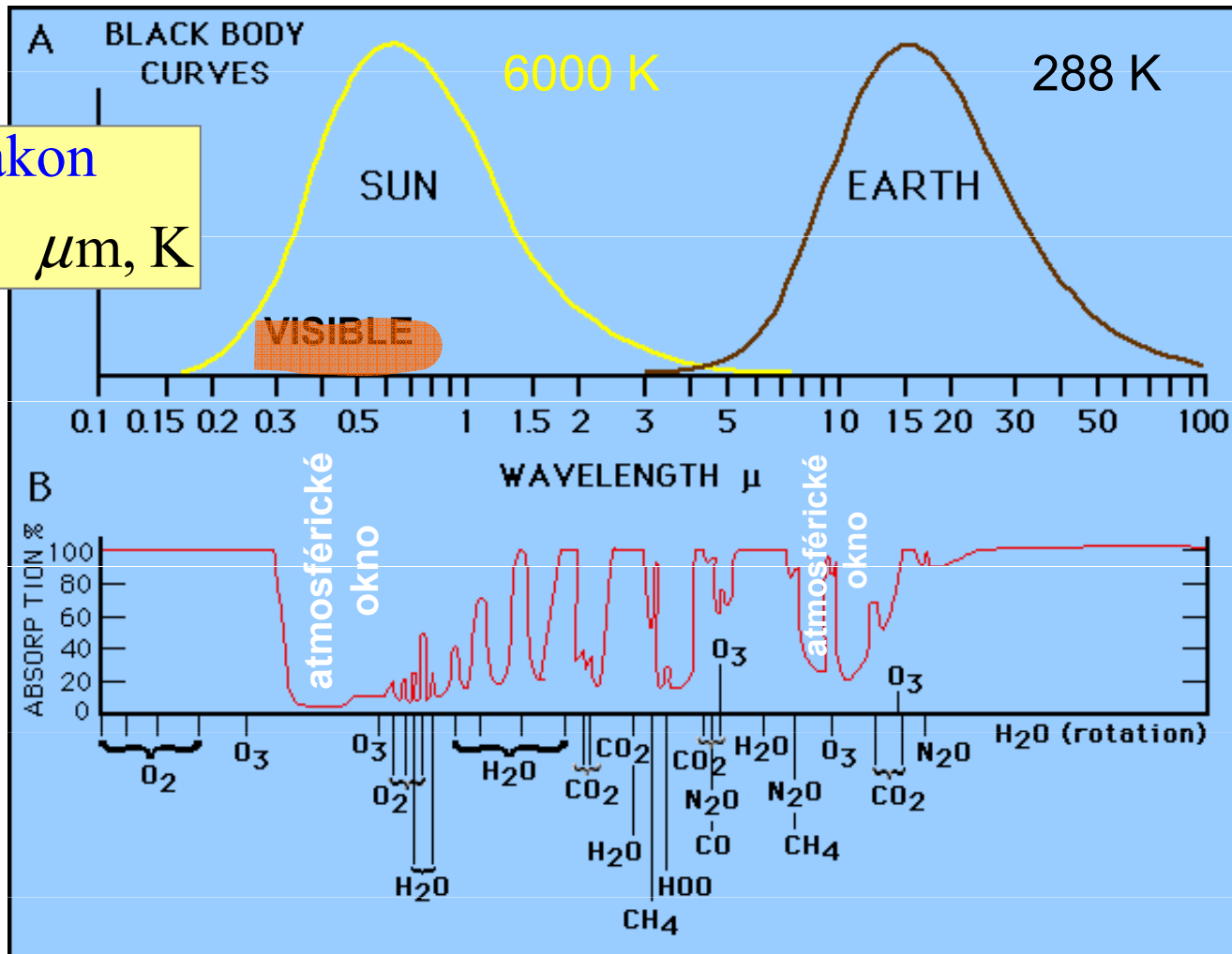


$$1\mu\text{m} = 10\ 000\text{\AA}$$

Souvislost se skleníkovým efektem

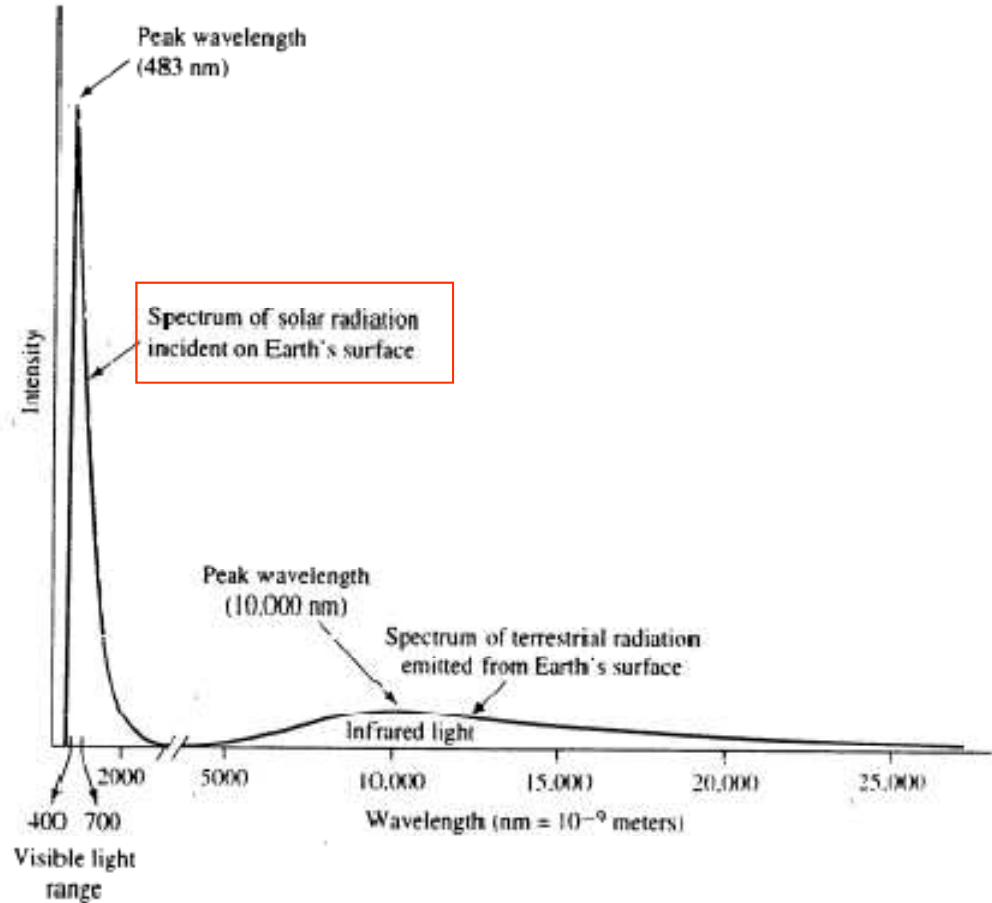
Wienův zákon

$$\lambda = 2897/T \quad \mu\text{m}, \text{K}$$



$$1\mu\text{m} = 10\,000\text{\AA}$$

Skleníkový efekt jako čtyřstupňový proces

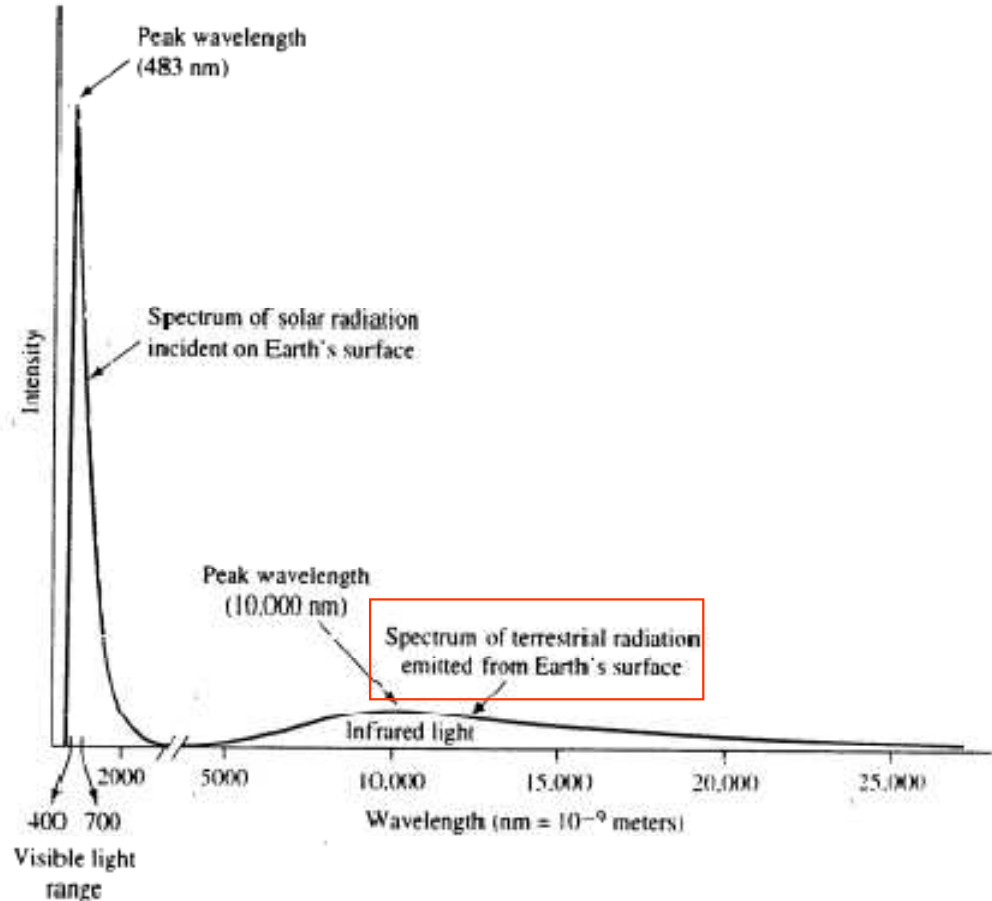


SKLENÍKOVÝ EFEKT

1. stupeň

Sluneční záření prochází
viditelným oknem a ohřívá Zemi

SKLENÍKOVÝ EFEKT JAKO ČTYŘSTUPŇOVÝ PROCES



SKLENÍKOVÝ EFEKT

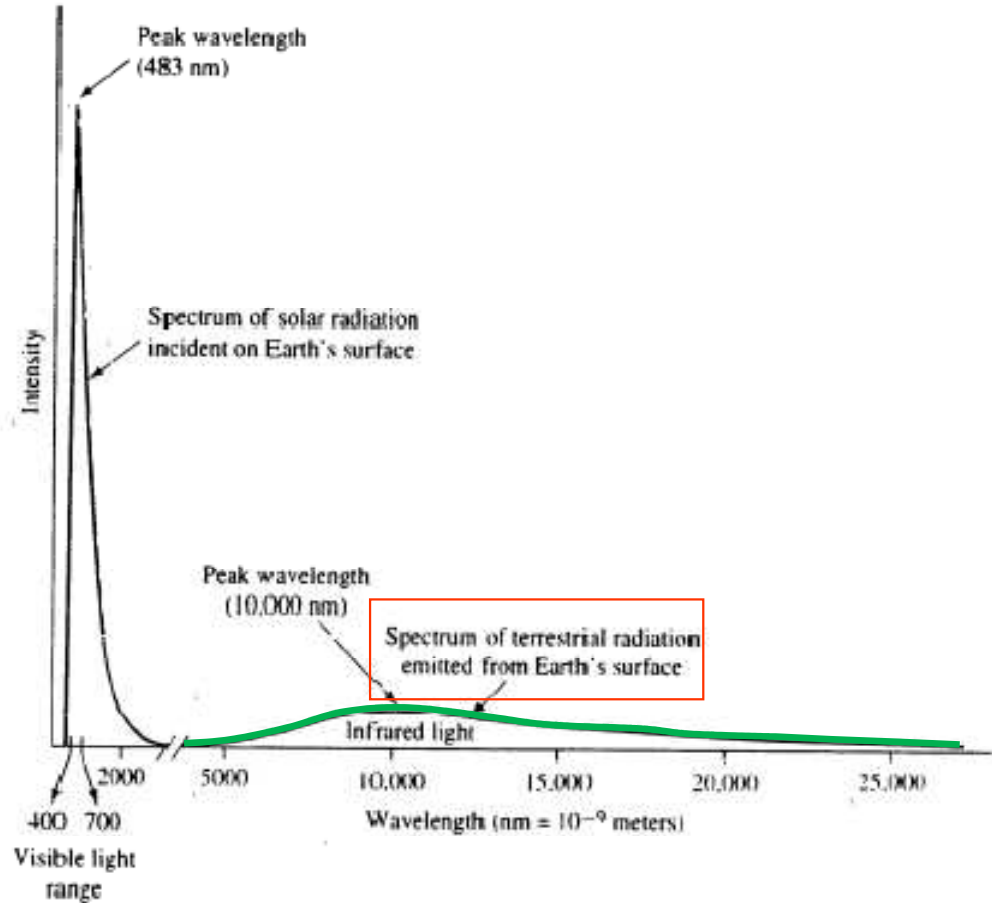
1. stupeň

Sluneční záření prochází
viditelným oknem a ohřívá Zemi

2. stupeň

Země vyzařuje do prostoru
tepelné záření, hlavně v IR oboru

Skleníkový efekt jako čtyřstupňový proces



SKLENÍKOVÝ EFEKT

1. stupeň

Sluneční záření prochází
viditelným oknem a ohřívá Zemi

2. stupeň

Země vyzařuje do prostoru
tepelné záření, hlavně v IR oboru

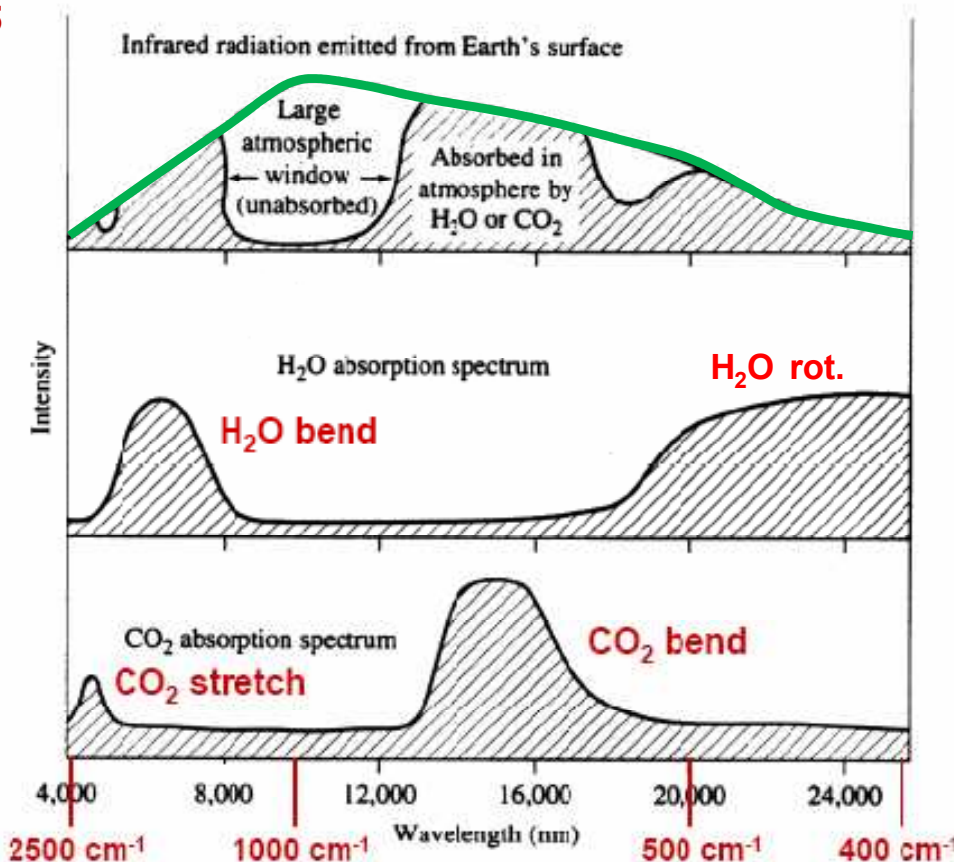


Figure 2.12 Absorption of terrestrial radiation by water and carbon dioxide.

SKLENÍKOVÝ EFEKT

1. stupeň

Sluneční záření prochází
viditelným oknem a ohřívá Zemi

2. stupeň

Země vyzařuje do prostoru
teplné záření, hlavně v IR oboru

3. stupeň

Toto záření je v troposféře
pohlcováno skleníkovými plyny

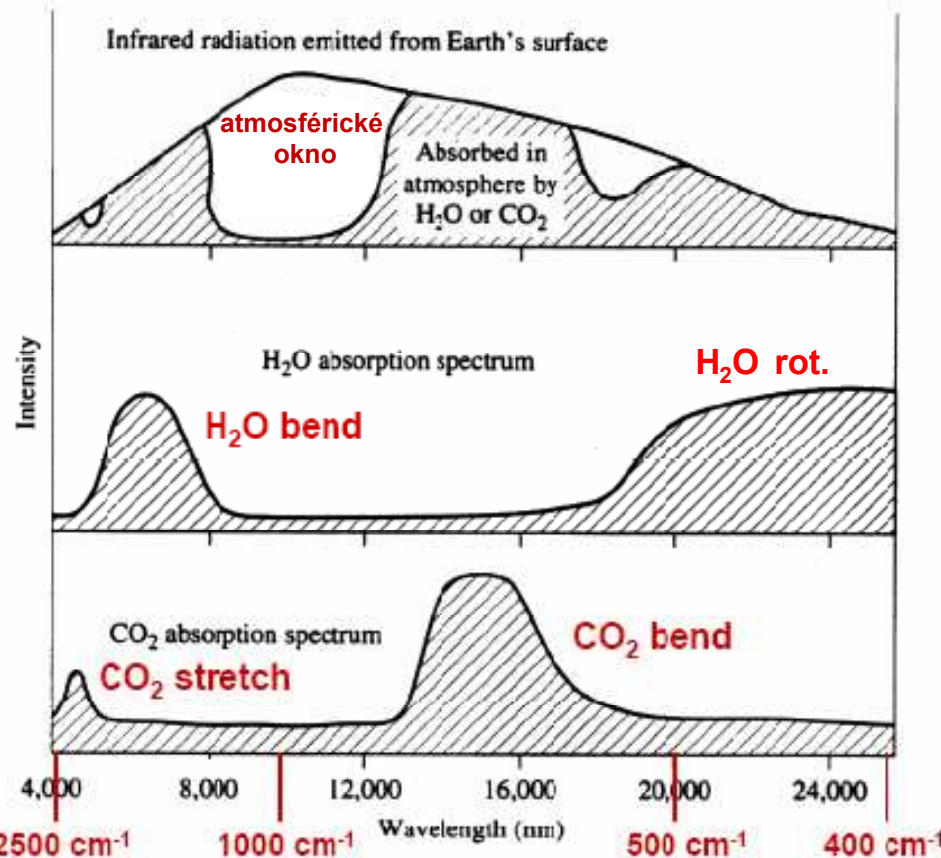


Figure 2.12 Absorption of terrestrial radiation by water and carbon dioxide.

SKLENÍKOVÝ EFEKT

1. stupeň

Sluneční záření prochází
viditelným oknem a ohřívá Zemi

2. stupeň

Země vyzařuje do prostoru
teplné záření, hlavně v IR oboru

3. stupeň

Toto záření je v troposféře
pohlcováno skleníkovými plyny

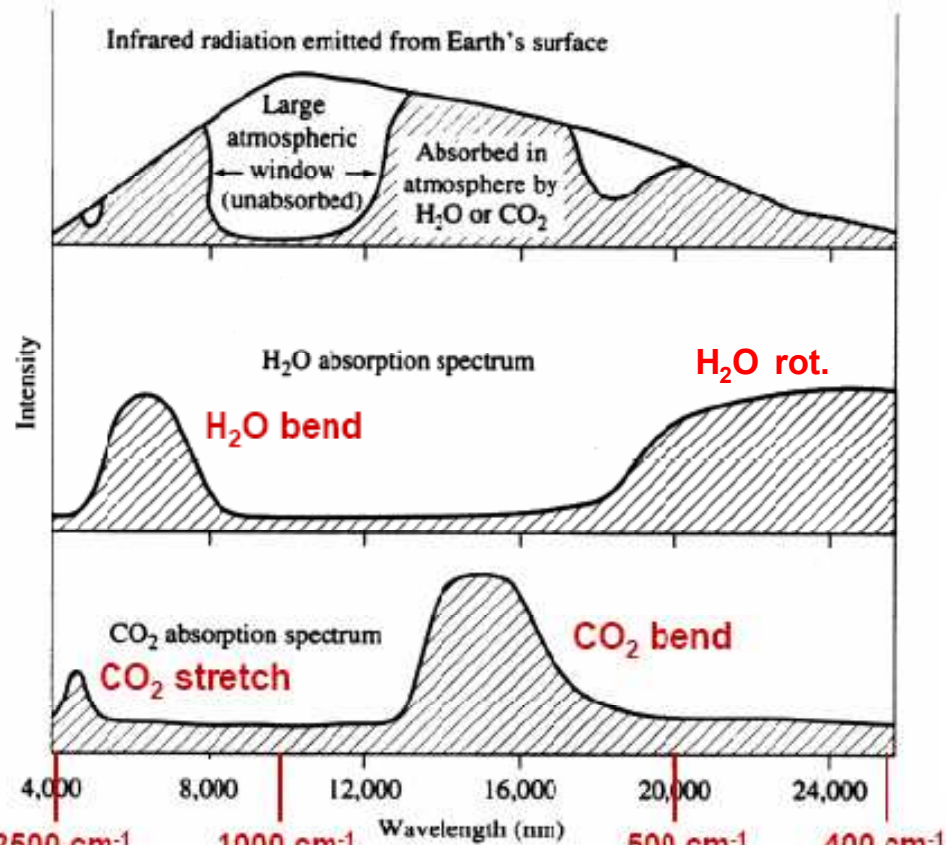


Figure 2.12 Absorption of terrestrial radiation by water and carbon dioxide.

SKLENÍKOVÝ EFEKT

1. stupeň

Sluneční záření prochází viditelným oknem a ohřívá Zemi

2. stupeň

Země vyzařuje do prostoru tepelné záření, hlavně v IR oboru

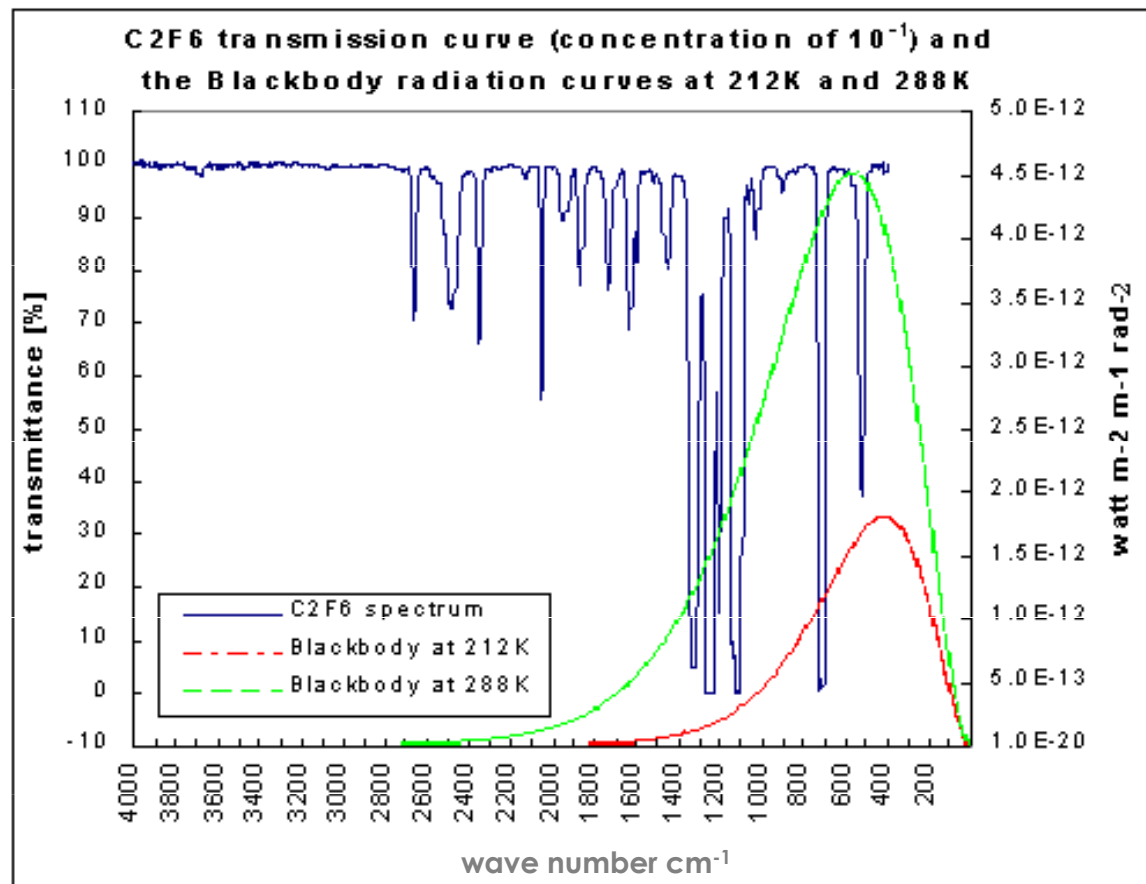
3. stupeň

Toto záření je v troposféře pohlcováno skleníkovými plyny

4. stupeň

Část pohlceného záření je zpětně vyzářena k Zemi a zlepšuje její tepelnou bilanci

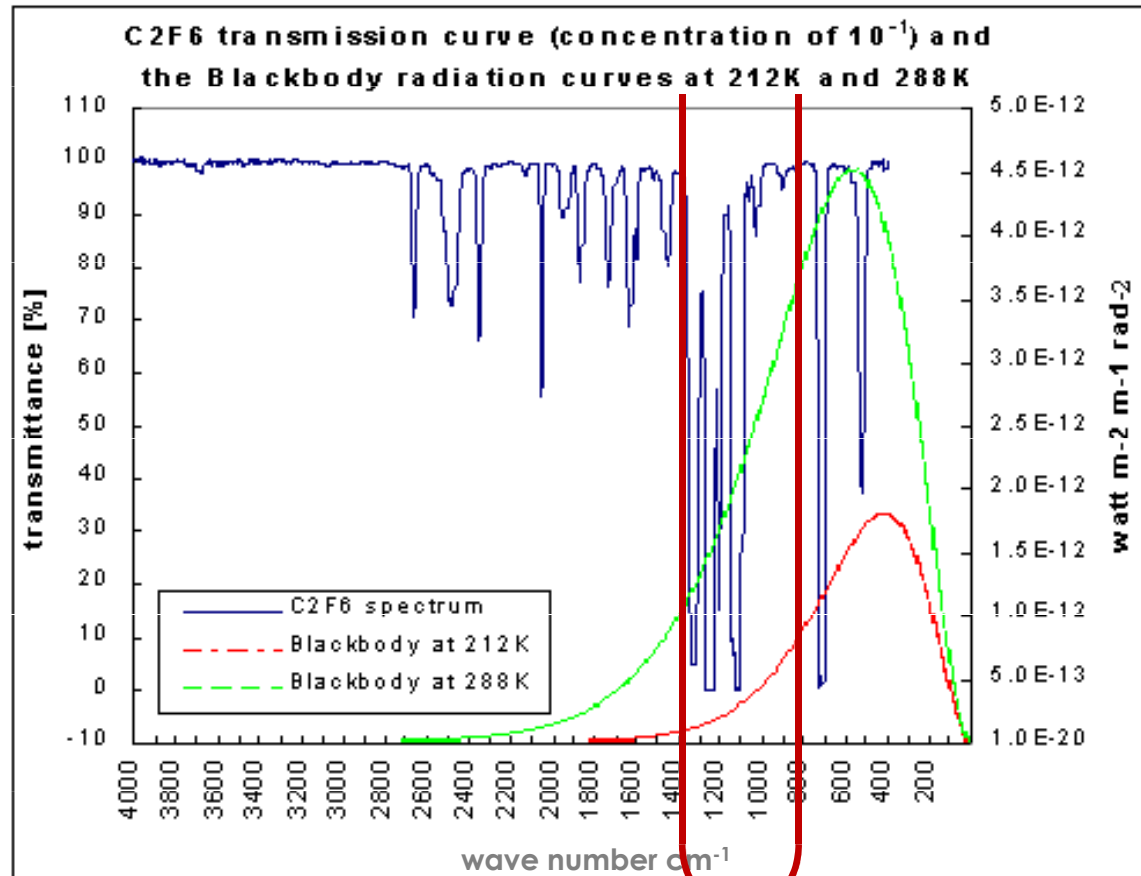
Detailení pohled: Účinek freonu C₂F₆



záleží na teplotě
povrchu Země

288 K ↔ 15° C
212 K ↔ -51° C

Detailení pohled: Účinek freonu C₂F₆

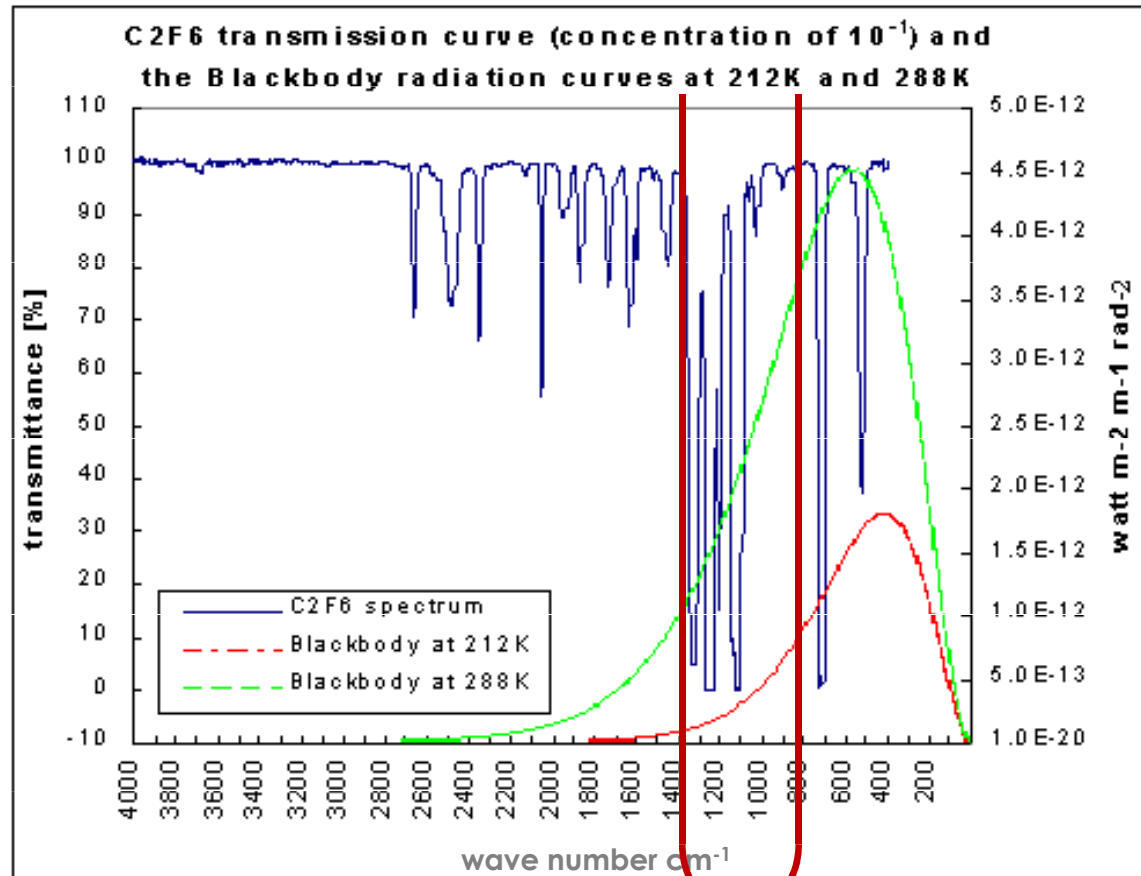


záleží na teplotě
povrchu Země

288 K ↔ 15° C
212 K ↔ -51° C

ATMOSFÉRICKÉ OKNO
Proto je účinnost freonů
značná

Detailení pohled: Účinek freonu C₂F₆



záleží na teplotě
povrchu Země

288 K \leftrightarrow 15° C
212 K \leftrightarrow -51° C

ATMOSFÉRICKÉ OKNO
Proto je účinnost freonů
značná
Podobně i methan má v
okně deštníkový kmit

Skleníkových plynů je bezpočet

Carbon dioxide
CO₂



ppm

120

1

Table 4.1(a): Chemically reactive greenhouse gases and their precursors: abundances, trends, budgets, lifetimes, and GWPs.

Chemical species	Formula	Abundance ^a ppt		Trend ppt/yr ^a 1990s	Annual emission late 90s	Life- time (yr)	100-yr GWP ^b
		1998	1750				
Methane	CH ₄ (ppb)	1745	700	7.0	600 Tg	8.4/12 ^c	23
Nitrous oxide	N ₂ O (ppb)	314	270	0.8	16.4 TgN	120/114 ^c	296
Perfluoromethane	CF ₄	80	40	1.0	~15 Gg	>50000	5700
Perfluoroethane	C ₂ F ₆	3.0	0	0.08	~2 Gg	10000	11900
Sulphur hexafluoride	SF ₆	4.2	0	0.24	~6 Gg	3200	22200
HFC-23	CHF ₃	14	0	0.55	~7 Gg	260	12000
HFC-134a	CF ₃ CH ₂ F	7.5	0	2.0	~25 Gg	13.8	1300
HFC-152a	CH ₃ CHF ₂	0.5	0	0.1	~4 Gg	1.40	120

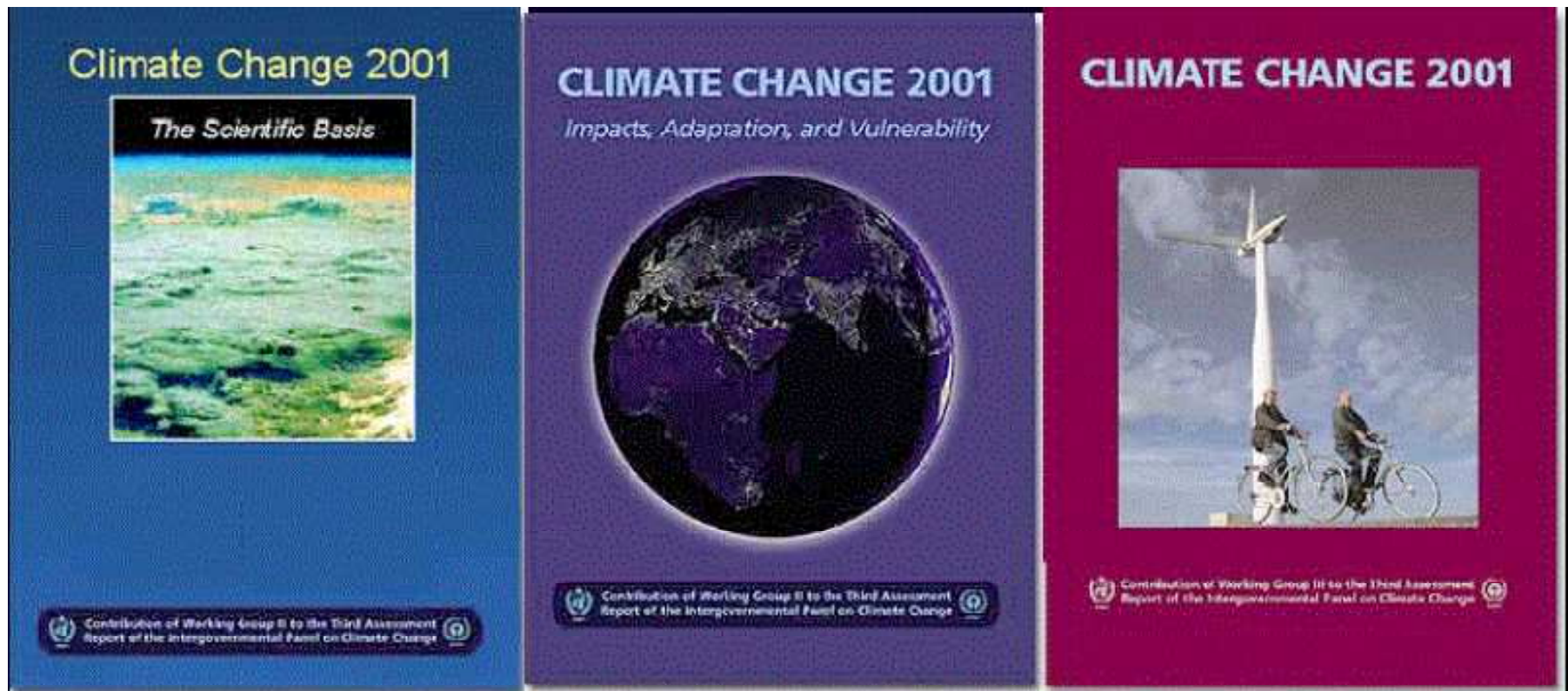
$$GWP = \frac{\int_0^n a_i c_i dt}{\int_0^n a_{CO_2} c_{CO_2} dt}$$

Global Warming Potential

- c_i pravděpodobnost přežití molekuly n let
- a_i účinek jedné molekuly
- n zvolený počet let, typicky ... 100

Globální oteplování?

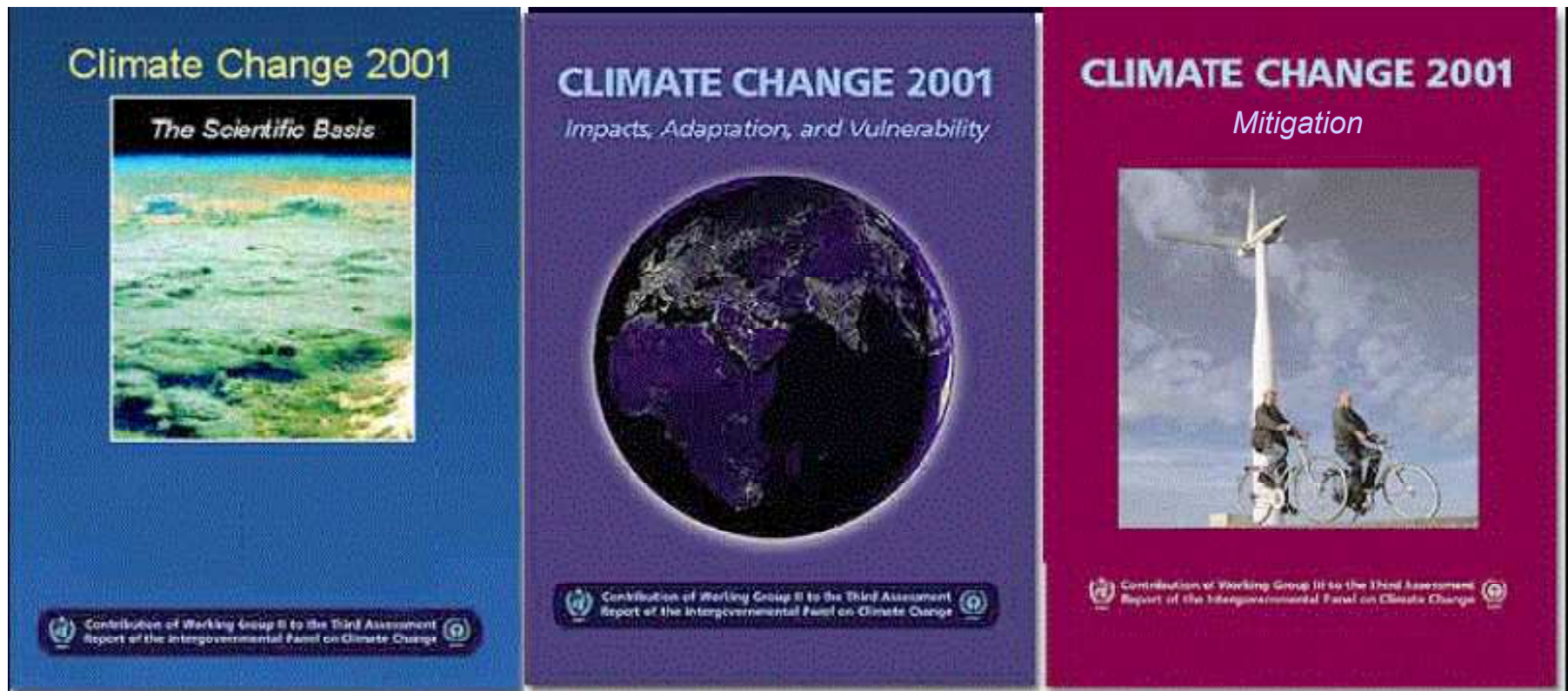
Intergovernmental Panel on Climate Change



IPCC TAR

Third Assessment Report

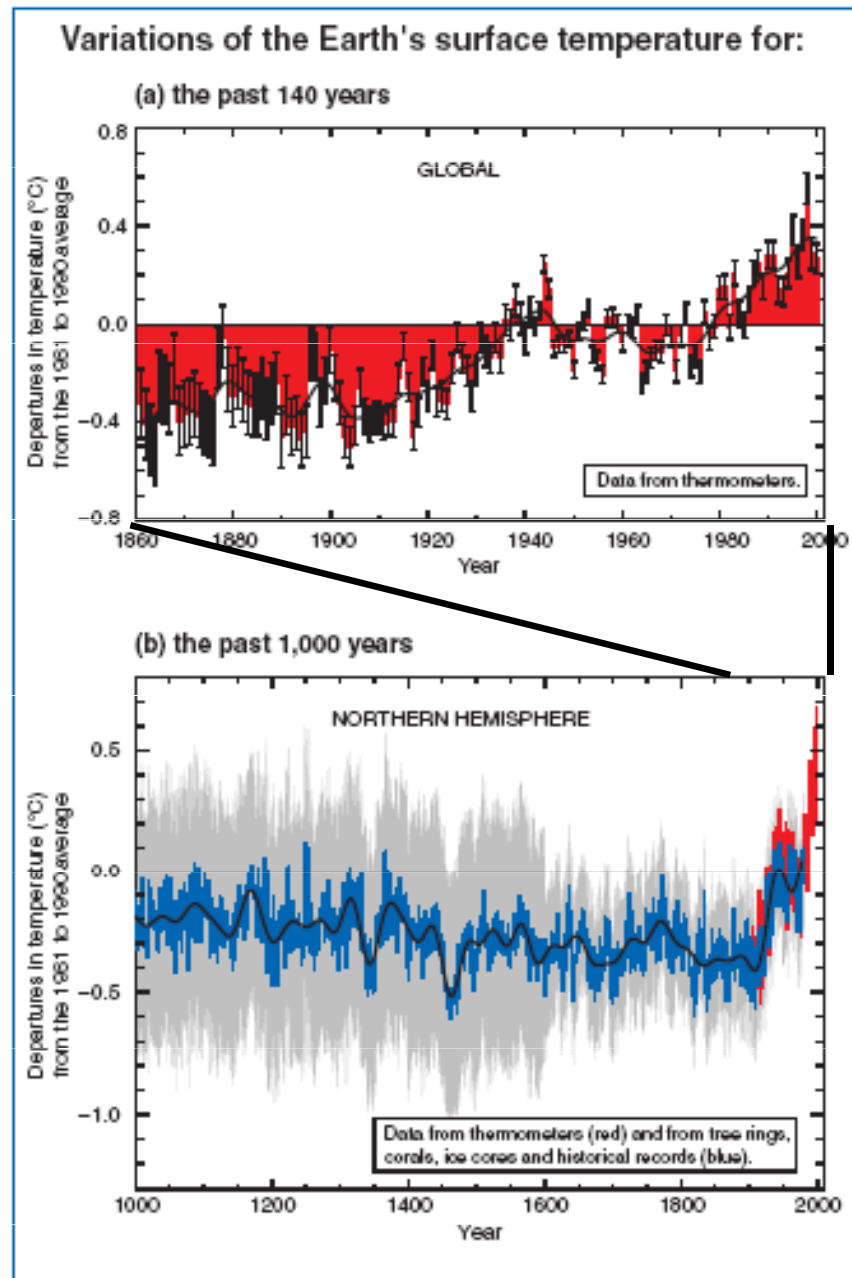
Intergovernmental Panel on Climate Change



IPCC TAR

Third Assessment Report

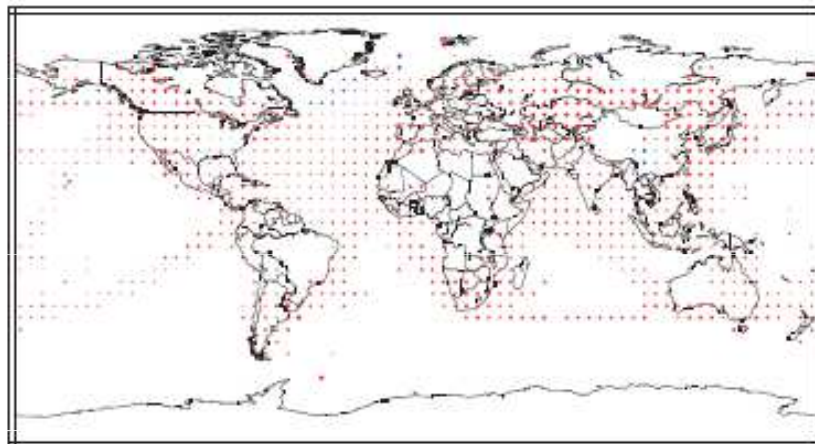
Skleníkový efekt?



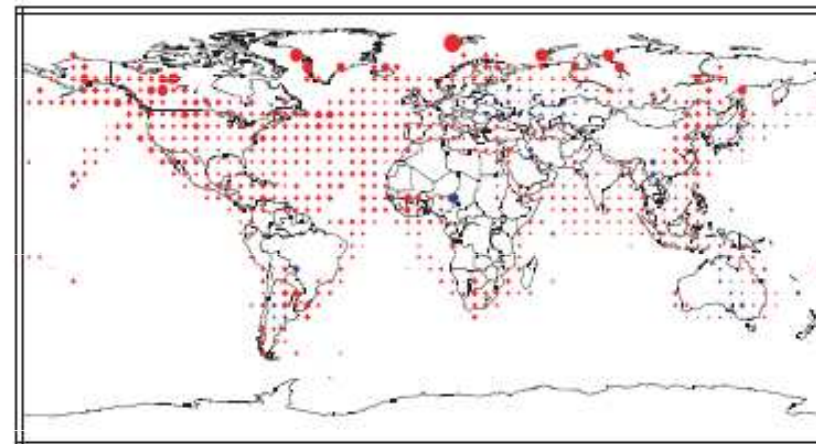
TEPLOTA SE MĚNÍ

Geografické rozložení teplotních změn

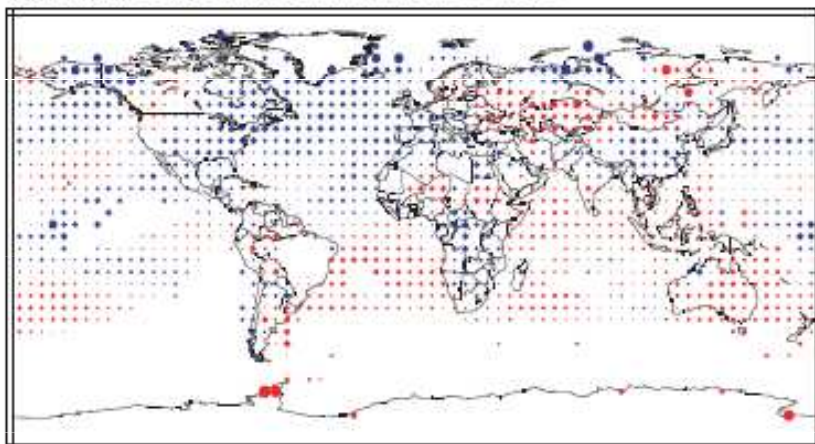
(a) Annual temperature trends, 1901 to 2000



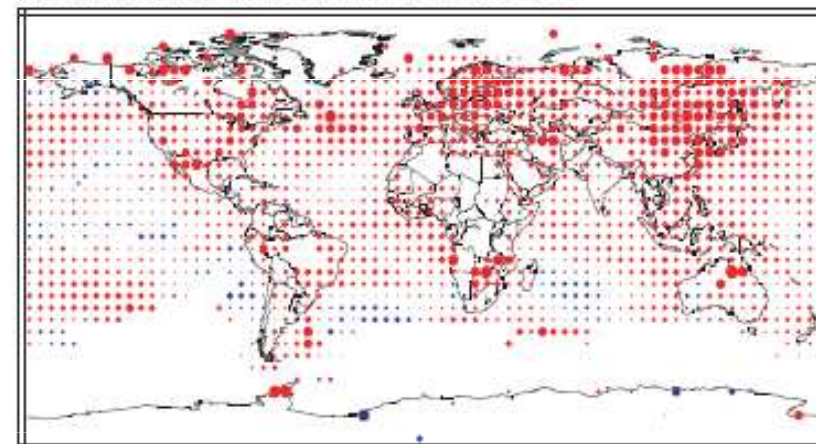
(b) Annual temperature trends, 1910 to 1945



(c) Annual temperature trends, 1946 to 1975



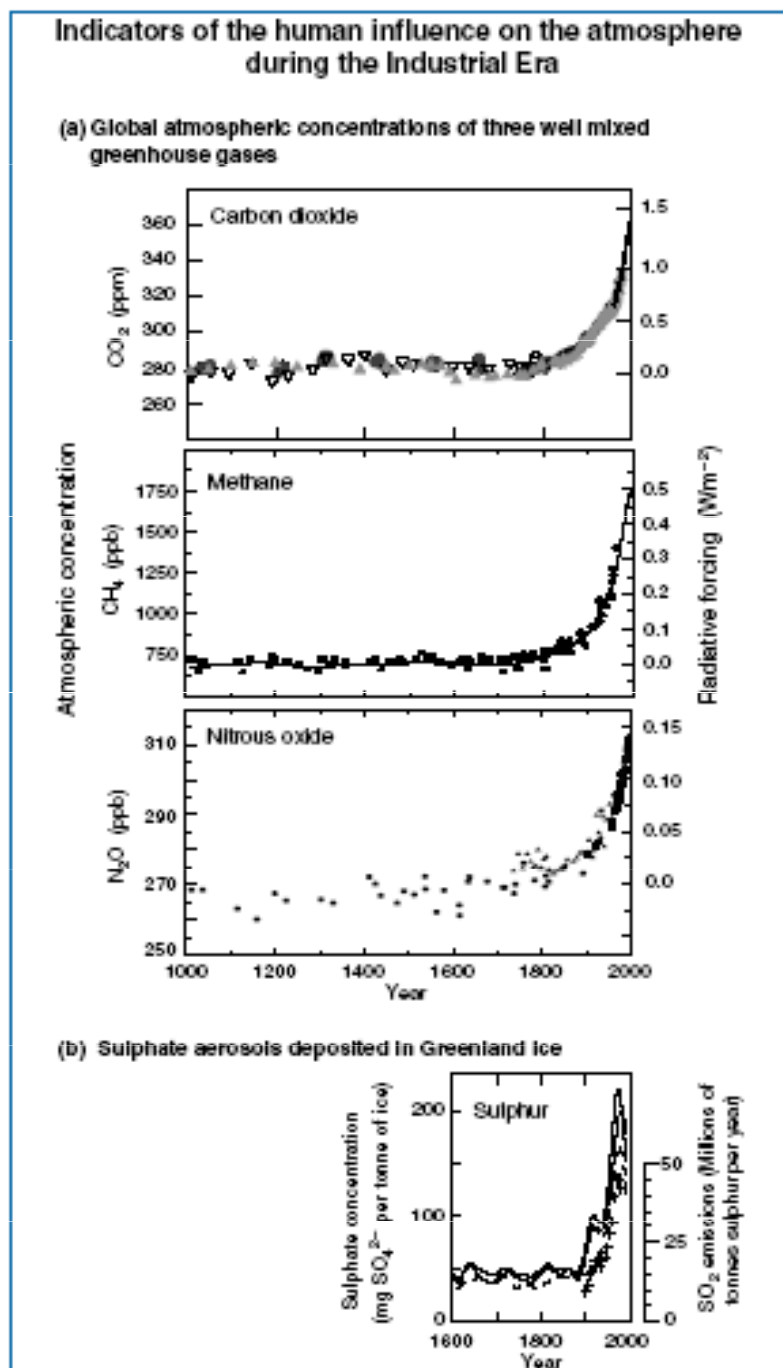
(d) Annual temperature trends, 1976 to 2000



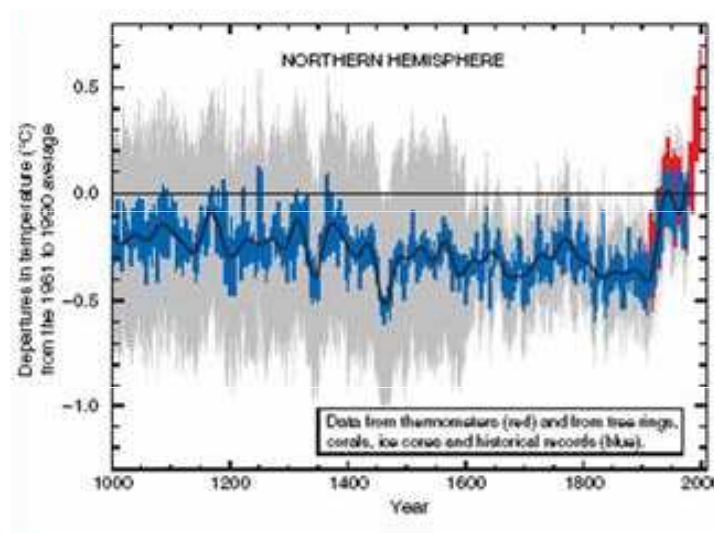
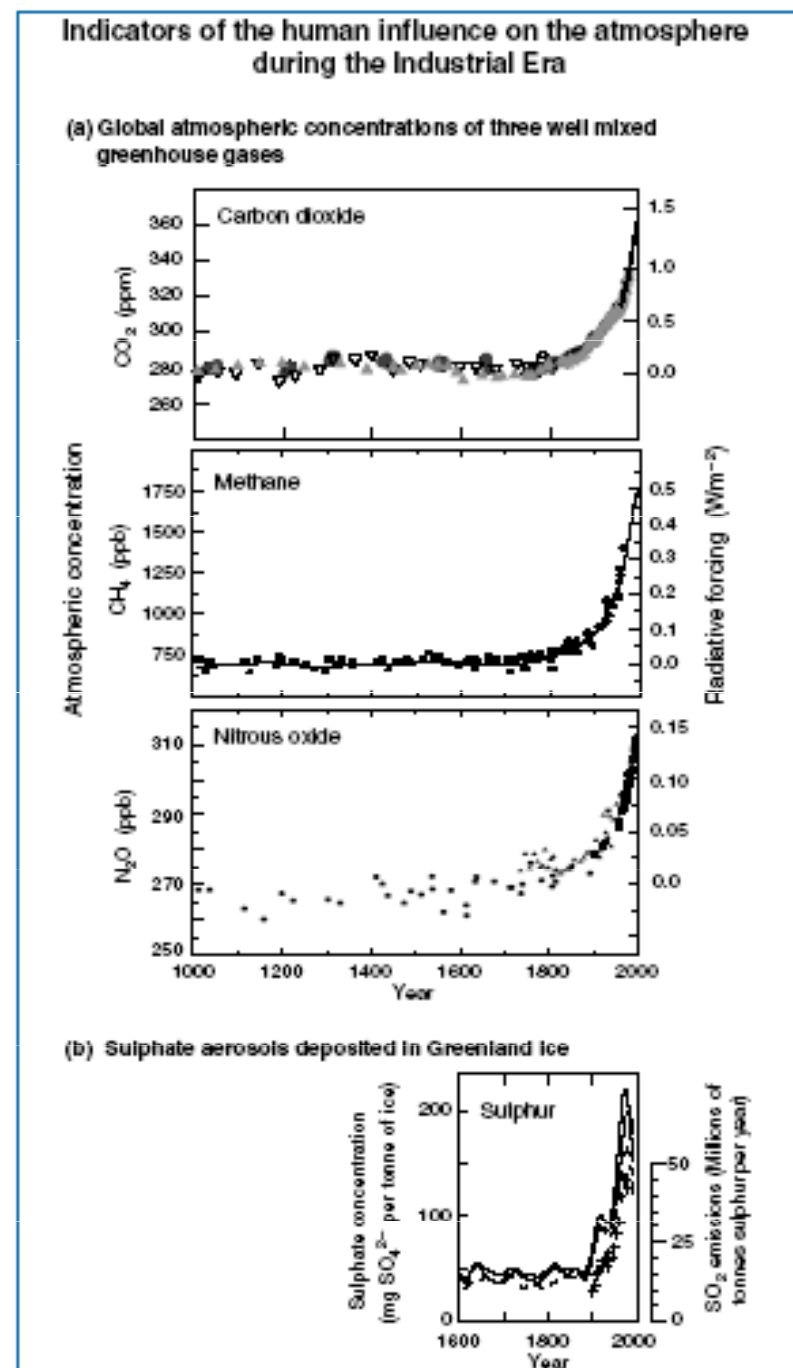
-1 -0.8 -0.6 -0.4 -0.2 0 0.2 0.4 0.6 0.8 1
Trend ($^{\circ}\text{C}/\text{decade}$)

Skleníkových plynů přibývá

Nezávislý údaj: nárůst atmosférických koncentrací



Nezávislý údaj: nárůst atmosférických koncentrací



NEPŘÍJEMNÁ SHODA

Novinové články ... a dál

2007

**Contribution of Working Group I to the
Fourth Assessment Report of the
Intergovernmental Panel on Climate Change**

Summary for Policymakers

Novinové články ... a dál

2007

**Contribution of Working Group I to the
Fourth Assessment Report of the
Intergovernmental Panel on Climate Change**

Summary for Policymakers

Novinové články ... a dál

2007

**Contribution of Working Group I to the
Fourth Assessment Report of the
Intergovernmental Panel on Climate Change**

Zde jen

Summary for Policymakers



Novinové články ... a dál

2007

**Contribution of Working Group I to the
Fourth Assessment Report of the
Intergovernmental Panel on Climate Change**

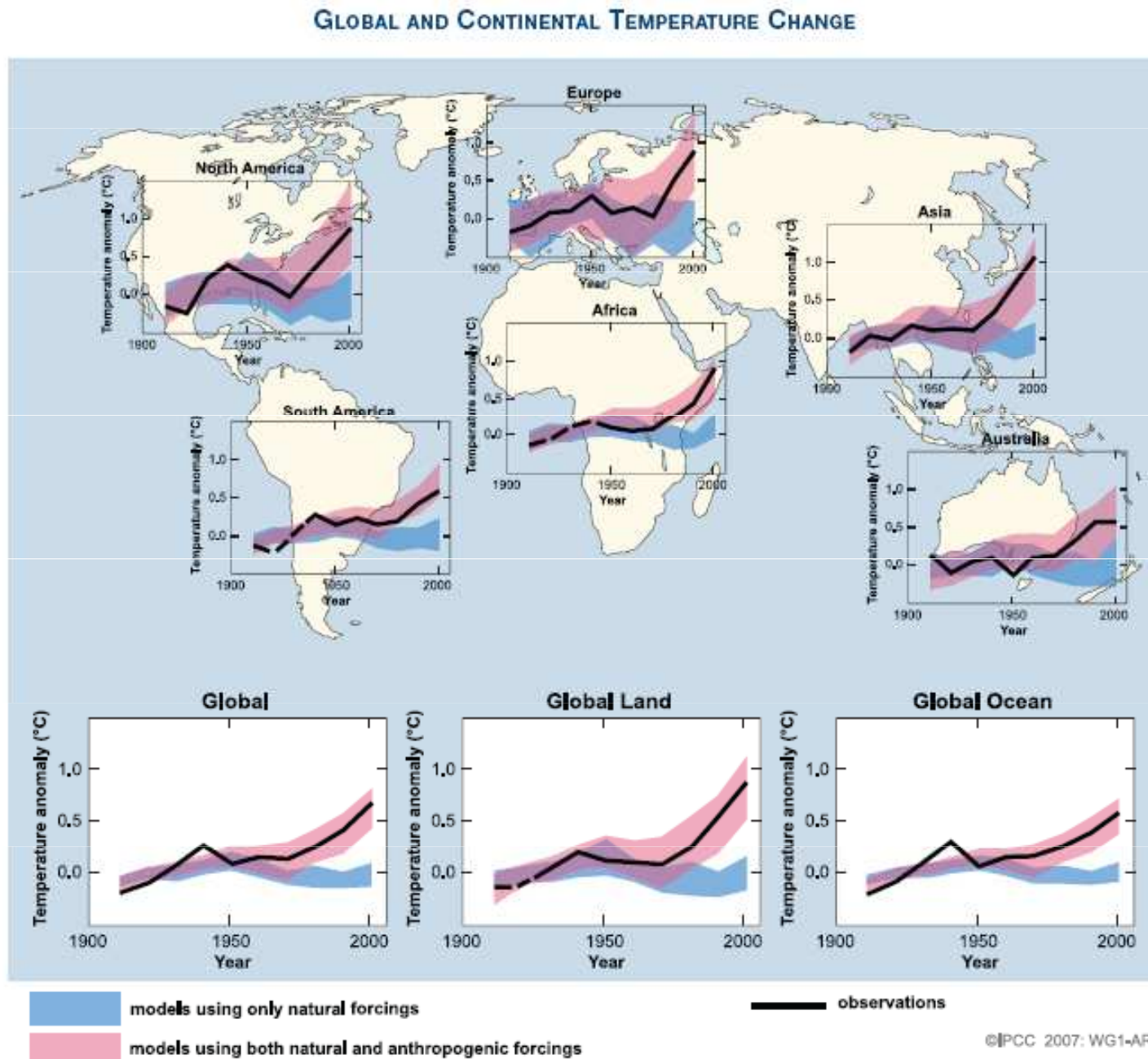
Zde jen

Summary for Policymakers

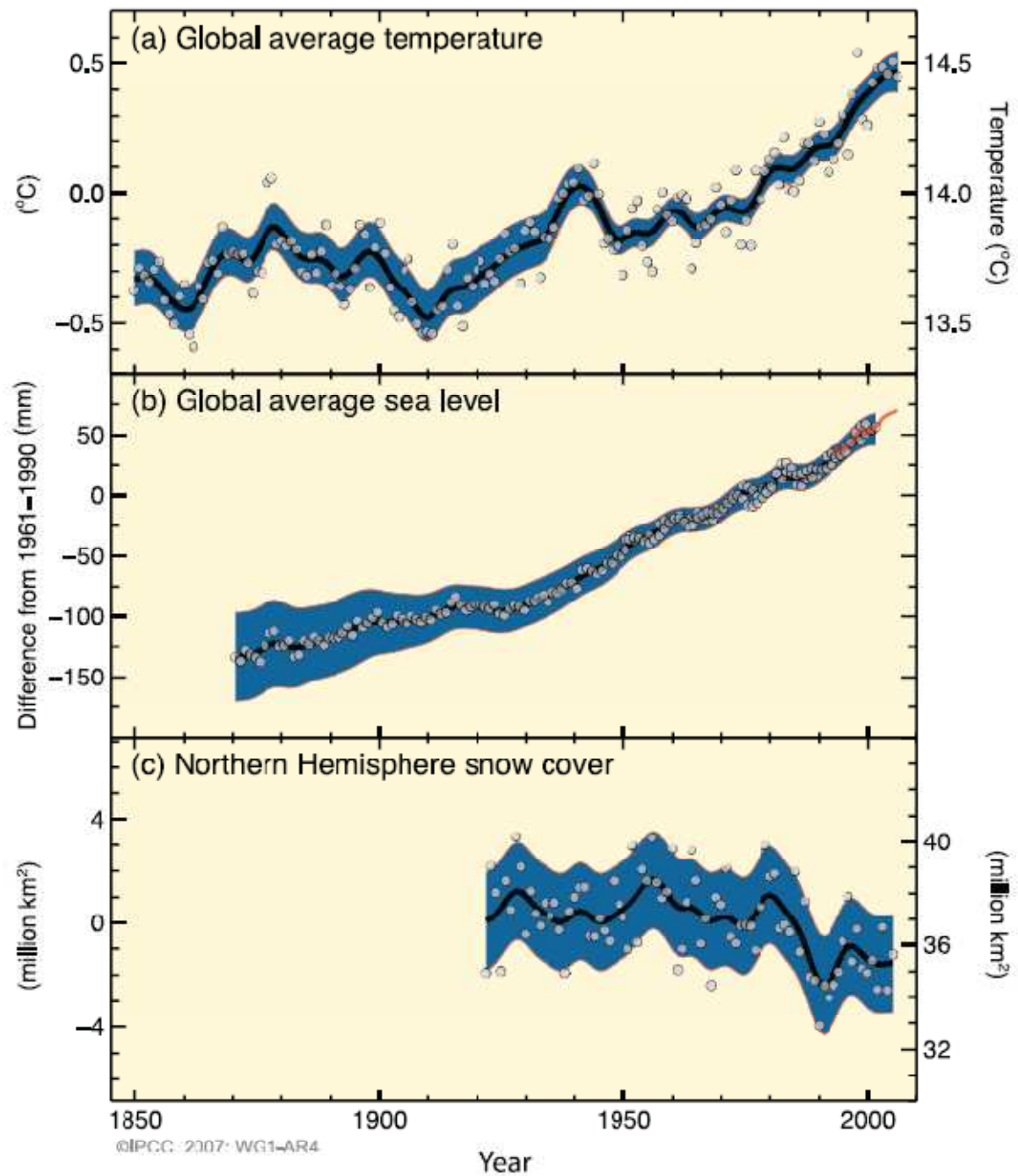


Úplný text Zprávy IPCC na www.ipcc.ch

Nové údaje o růstu teploty+modelové výpočty

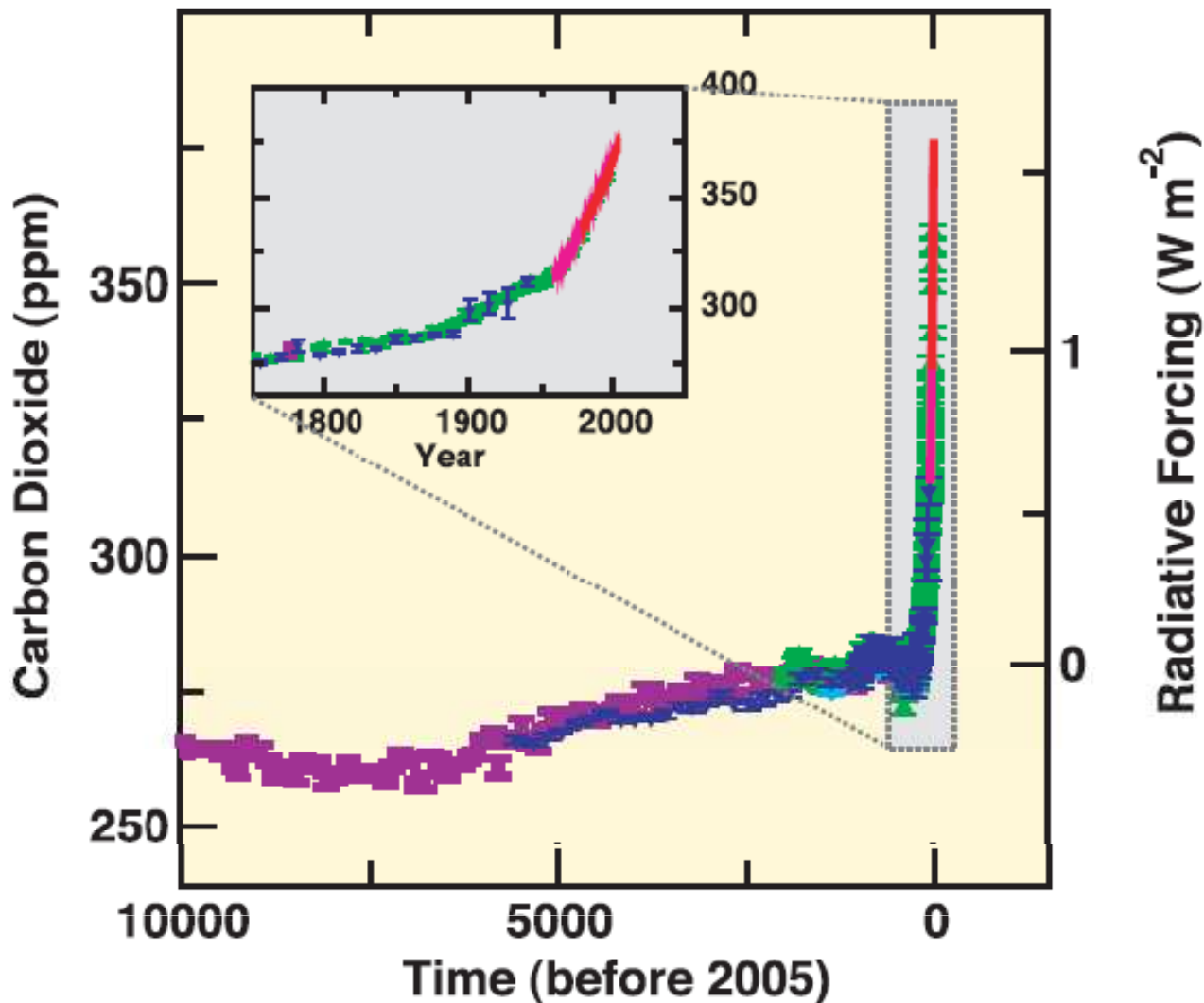


CHANGES IN TEMPERATURE, SEA LEVEL AND NORTHERN HEMISPHERE SNOW COVER

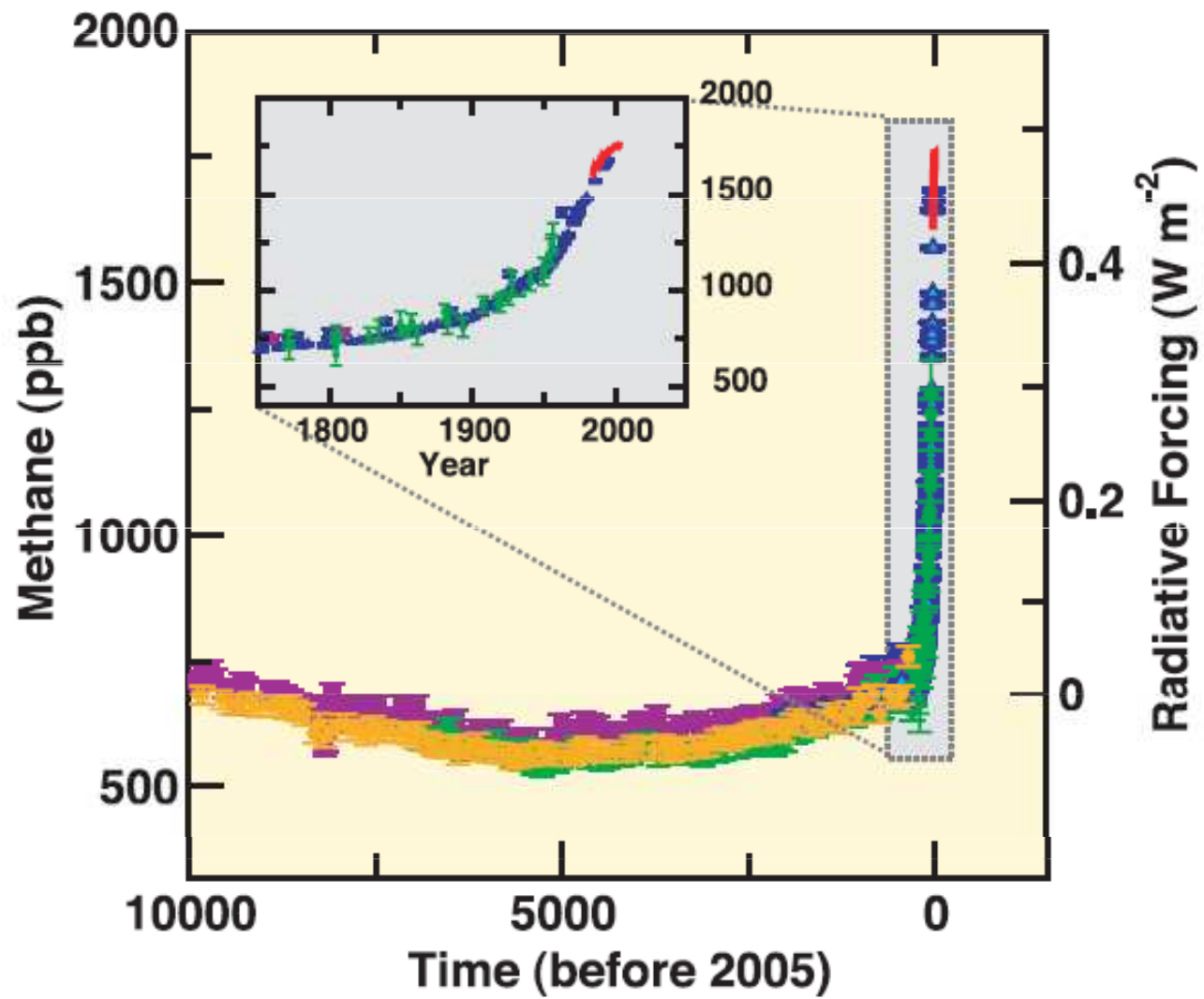


Vývoj koncentrace skleníkových plynů: CO₂

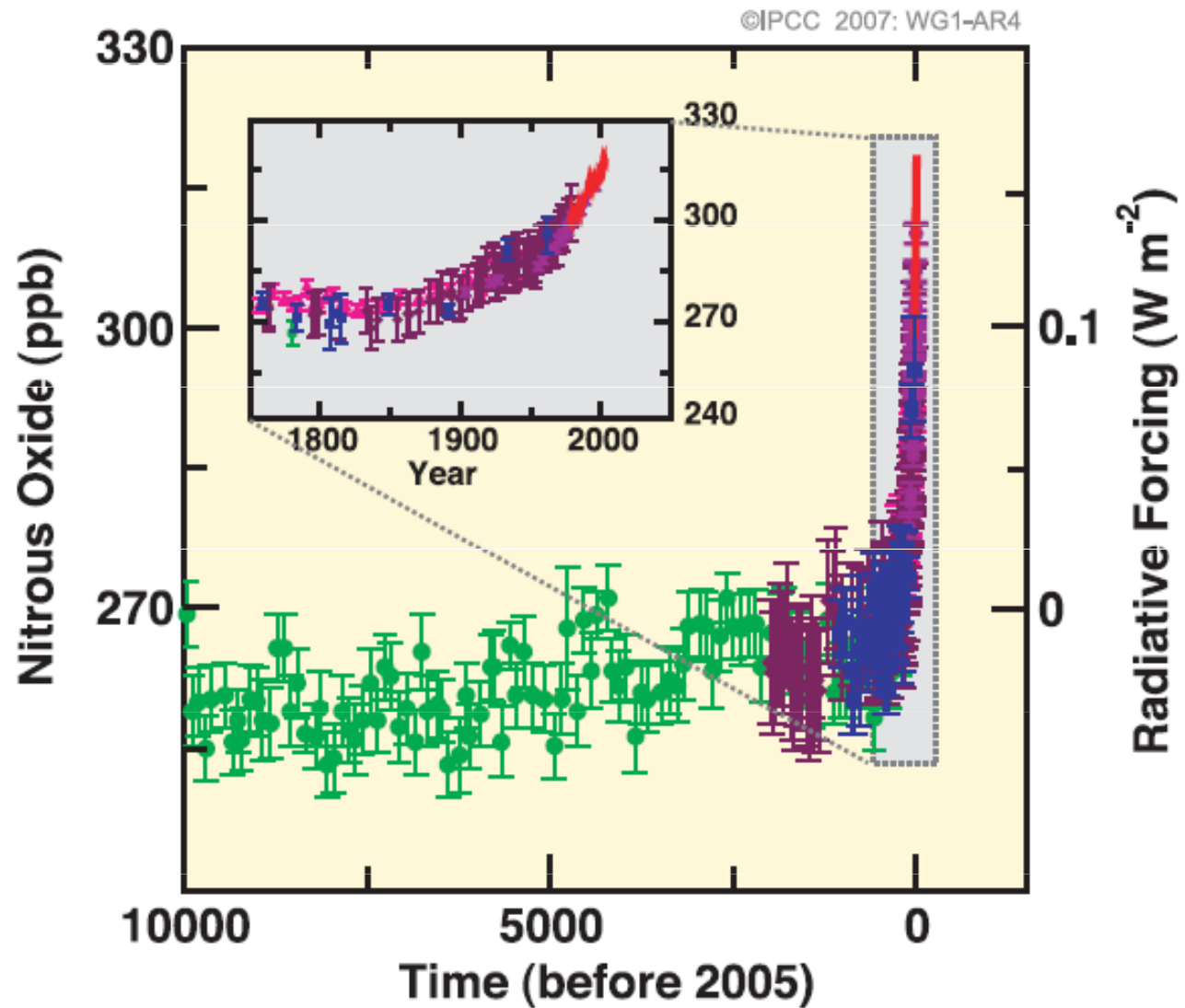
CHANGES IN GREENHOUSE GASES FROM ICE CORE AND MODERN DATA



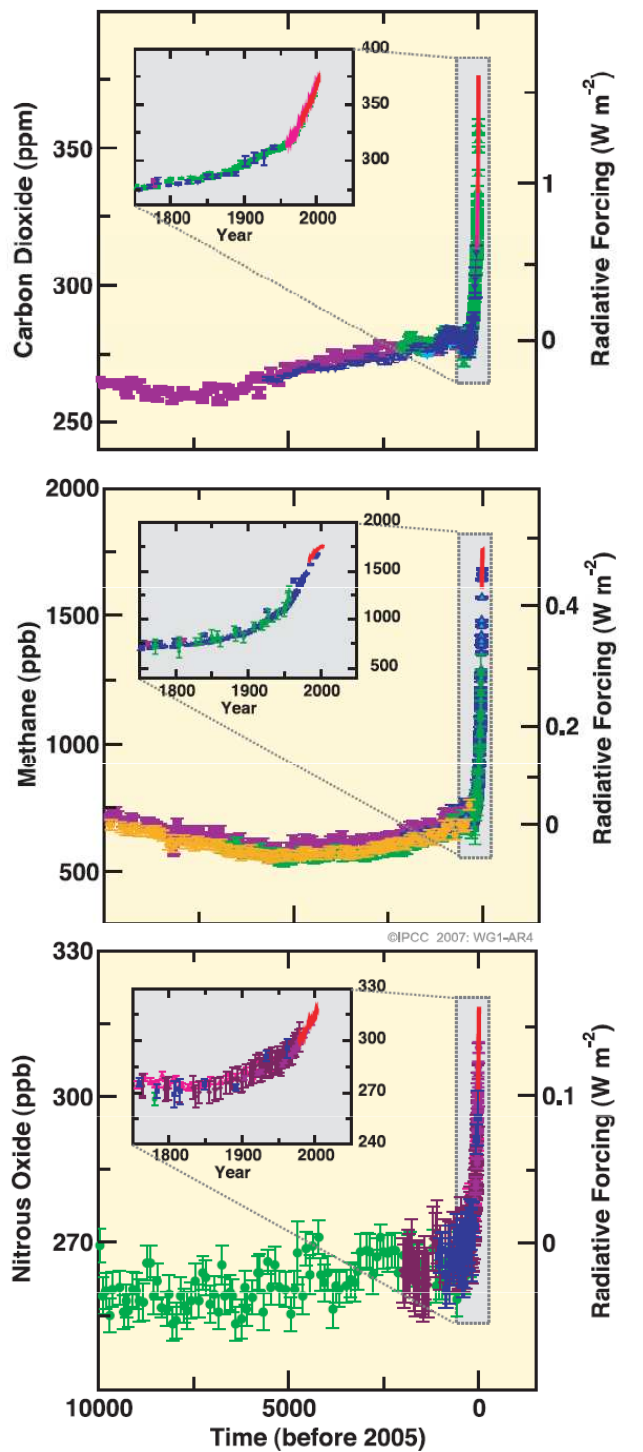
Vývoj koncentrace skleníkových plynů: CH₄



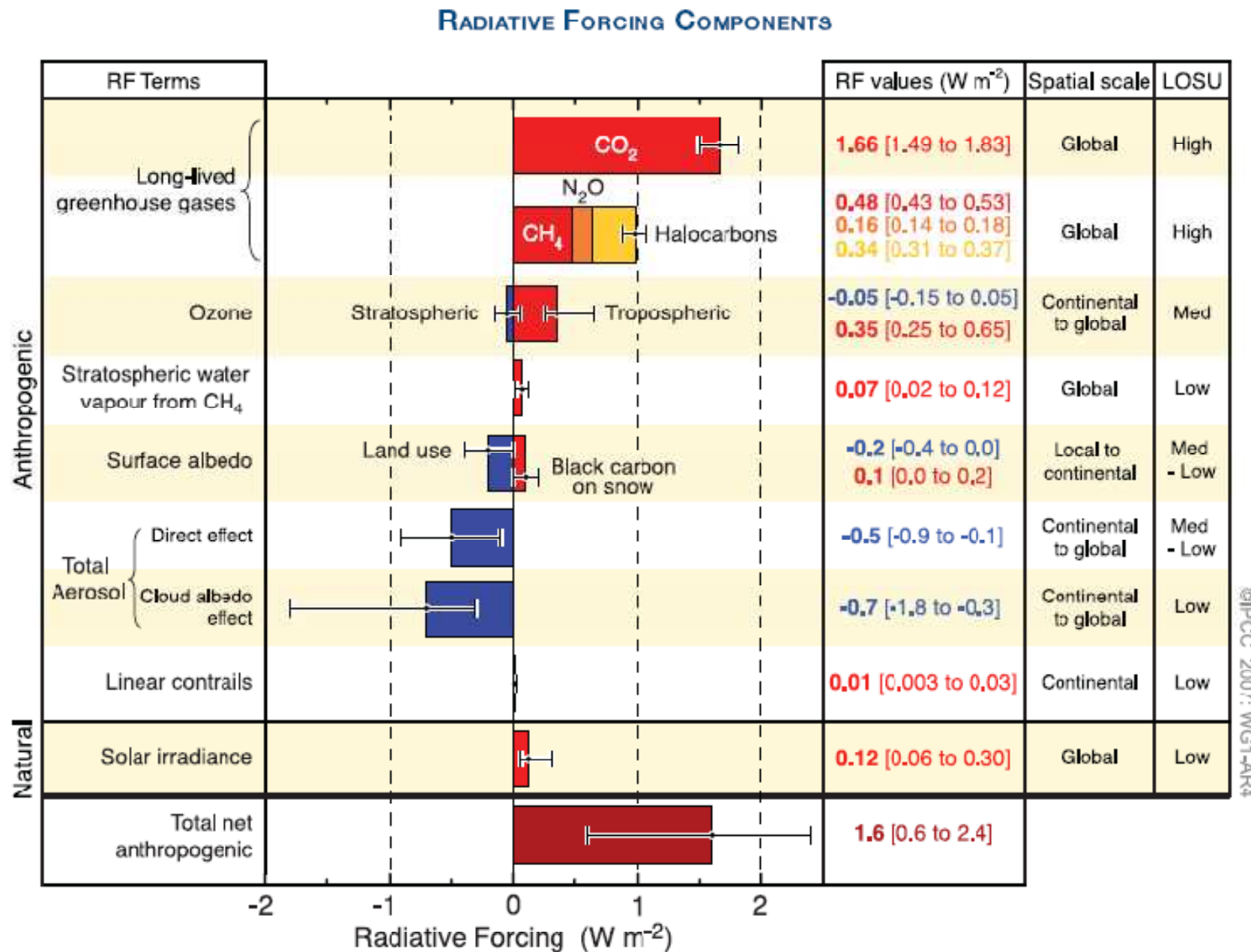
Vývoj koncentrace skleníkových plynů: N_2O



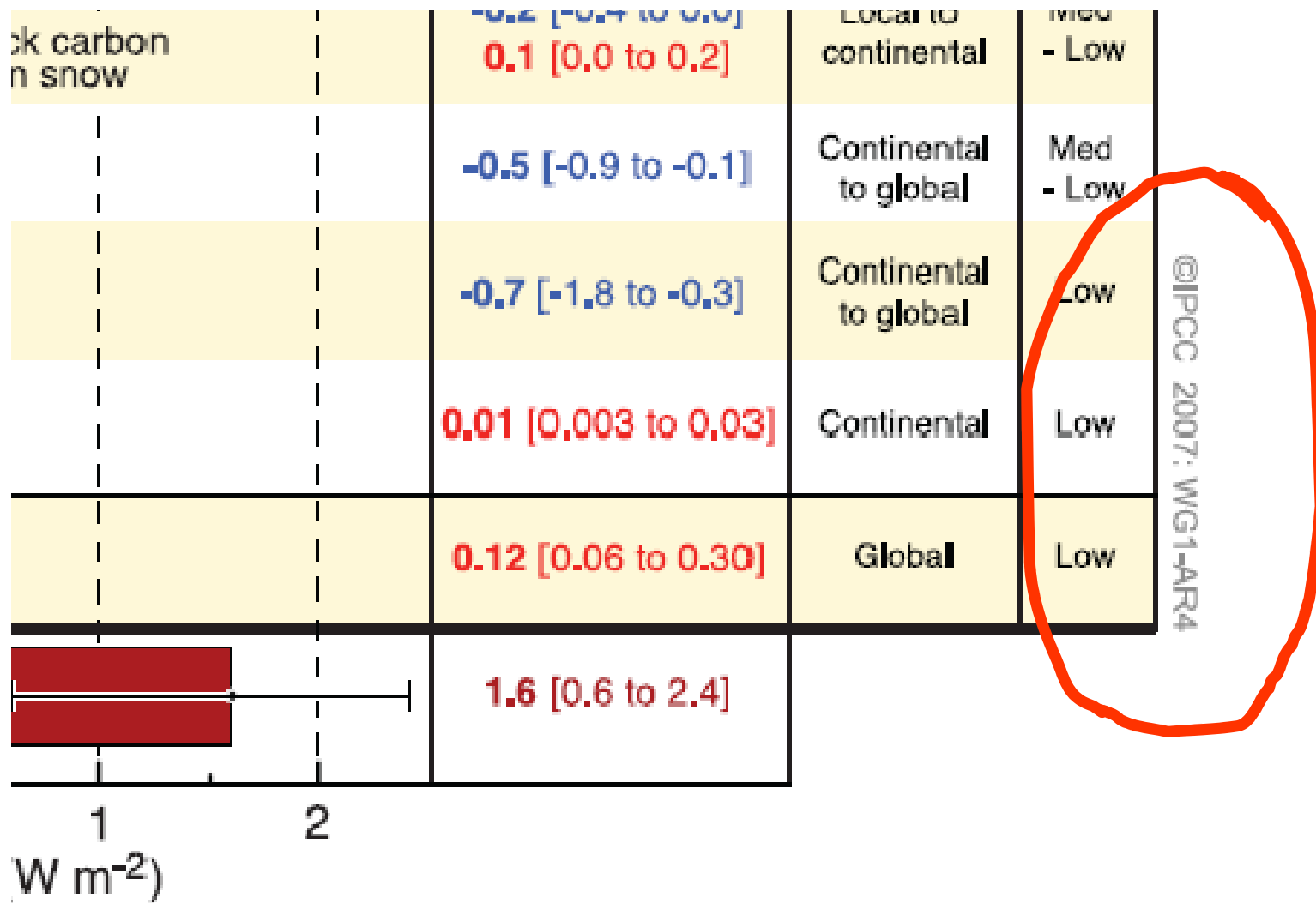
**CHANGES IN GREENHOUSE GASES FROM ICE CORE
AND MODERN DATA**



Souhrn jednotlivých příspěvků k zářivé rovnováze

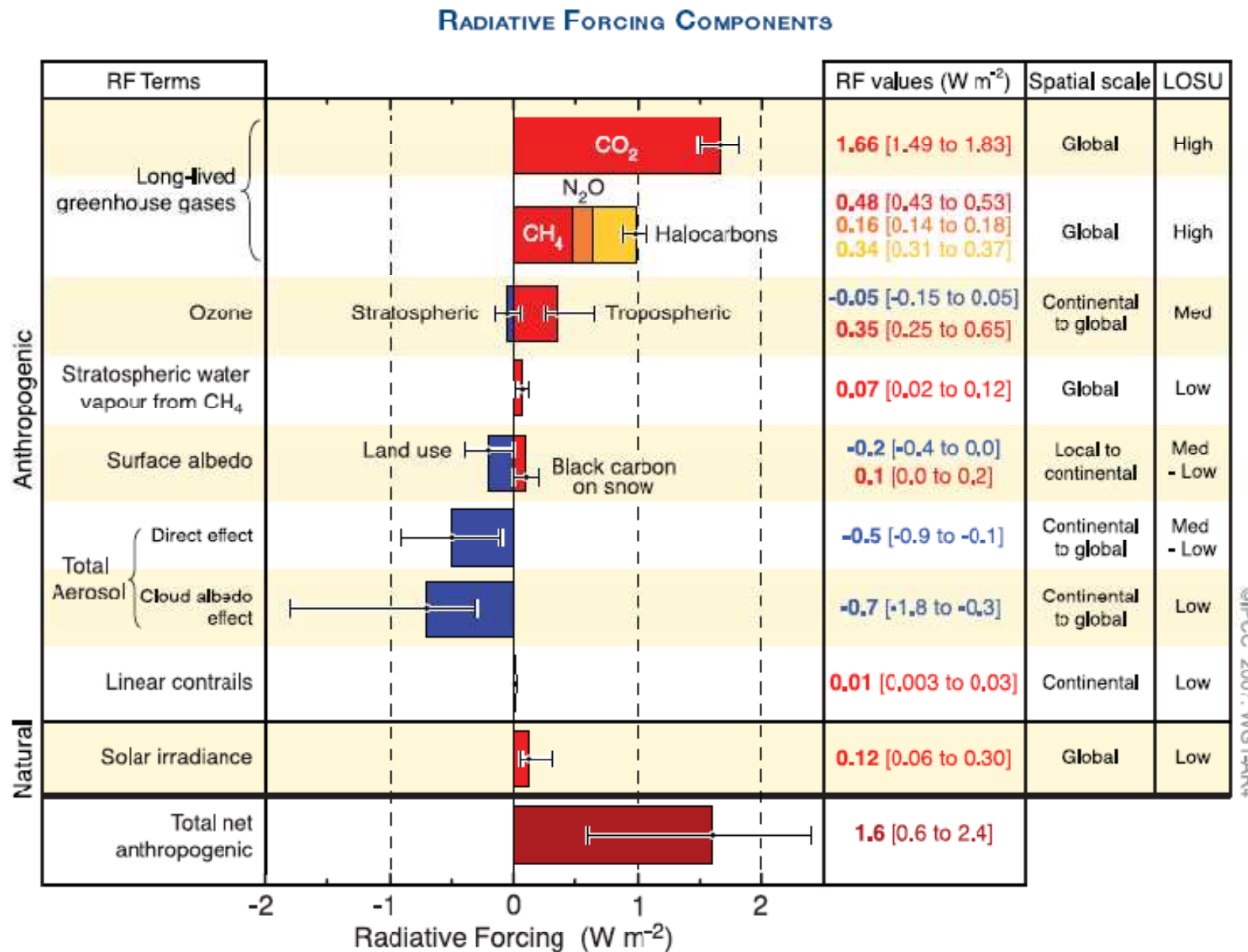


Souhrn jednotlivých příspěvků k zářivé rovnováze

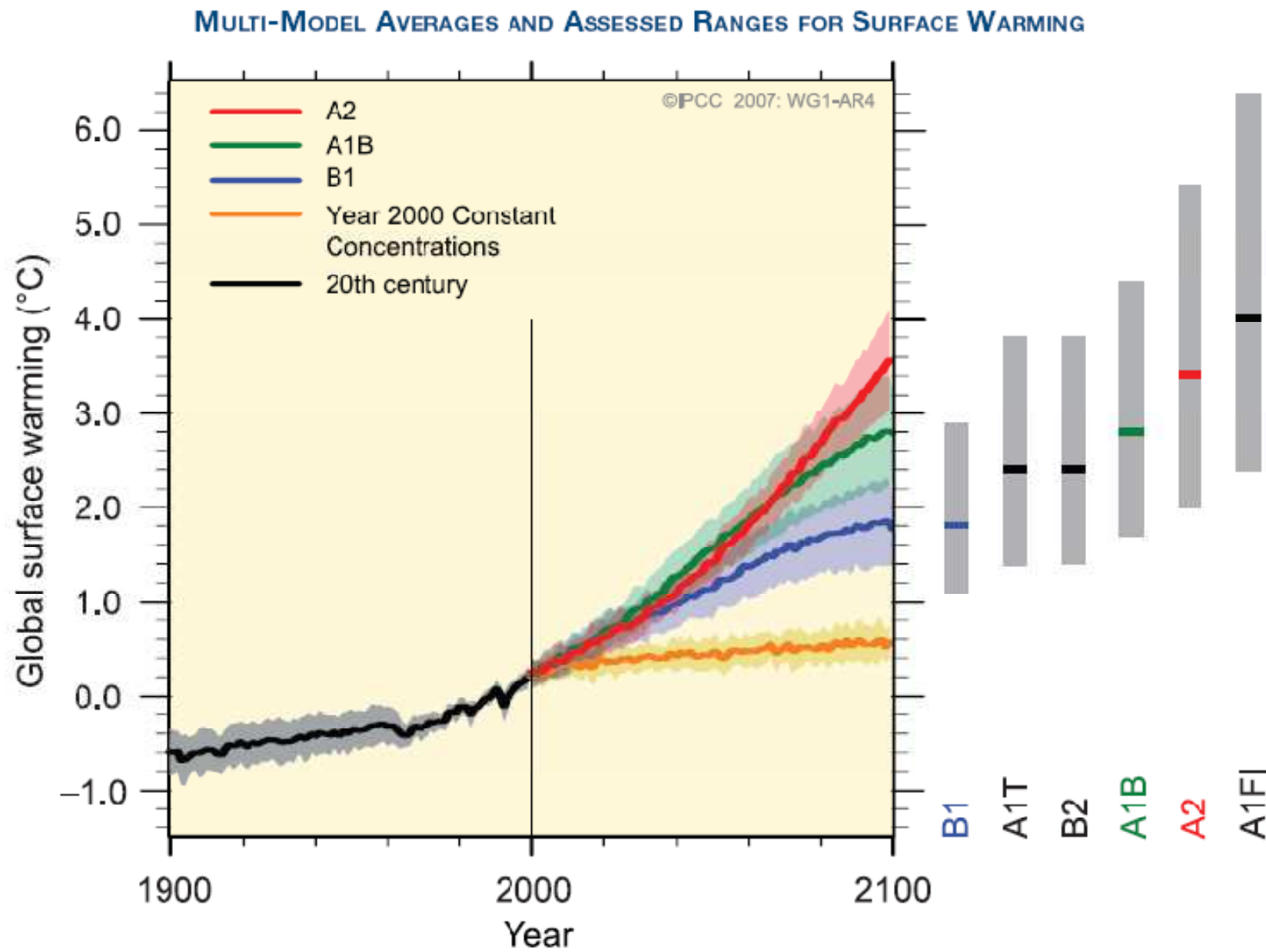


©IPCC 2007: WG1-AR4

Souhrn jednotlivých příspěvků k zářivé rovnováze



Pesimistický výhled do budoucnosti



THE EMISSION SCENARIOS OF THE IPCC SPECIAL REPORT ON EMISSION SCENARIOS (SRES)¹⁷

A1. The A1 storyline and scenario family describes a future world of very rapid economic growth, global population that peaks in mid-century and declines thereafter, and the rapid introduction of new and more efficient technologies. Major underlying themes are convergence among regions, capacity building and increased cultural and social interactions, with a substantial reduction in regional differences in per capita income. The A1 scenario family develops into three groups that describe alternative directions of technological change in the energy system. The three A1 groups are distinguished by their technological emphasis: fossil-intensive (A1FI), non-fossil energy sources (A1T) or a balance across all sources (A1B) (where balanced is defined as not relying too heavily on one particular energy source, on the assumption that similar improvement rates apply to all energy supply and end use technologies).

A2. The A2 storyline and scenario family describes a very heterogeneous world. The underlying theme is self-reliance and preservation of local identities. Fertility patterns across regions converge very slowly, which results in continuously increasing population. Economic development is primarily regionally oriented and per capita economic growth and technological change more fragmented and slower than other storylines.

B1. The B1 storyline and scenario family describes a convergent world with the same global population, that peaks in mid-century and declines thereafter, as in the A1 storyline, but with rapid change in economic structures toward a service and information economy, with reductions in material intensity and the introduction of clean and resource-efficient technologies. The emphasis is on global solutions to economic, social and environmental sustainability, including improved equity, but without additional climate initiatives.

B2. The B2 storyline and scenario family describes a world in which the emphasis is on local solutions to economic, social and environmental sustainability. It is a world with continuously increasing global population, at a rate lower than A2, intermediate levels of economic development, and less rapid and more diverse technological change than in the B1 and A1 storylines. While the scenario is also oriented towards environmental protection and social equity, it focuses on local and regional levels.

Skeptické názory a kritika IPCC

FROM WIKIPEDIA

The **global warming controversy** is a dispute regarding the nature, causes, and consequences of global warming. The disputed issues include the causes of increased global average air temperature, especially since the mid-20th century, whether this warming trend is unprecedented or within normal climatic variations, whether humankind has contributed significantly to it, and whether the increase is wholly or partially an artifact of poor measurements. Additional disputes concern estimates of climate sensitivity, predictions of additional warming, and what the consequences of global warming will be. The controversy is significantly more pronounced in the popular media than in the scientific literature, where there is a consensus that recent global warming is mostly attributable to human activity.

Skeptické názory a kritika IPCC

FROM WIKIPEDIA

The **global warming controversy** is a dispute regarding the nature, causes, and consequences of global warming. The disputed issues include the causes of increased global average air temperature, especially since the mid-20th century, whether this warming trend is unprecedented or within normal climatic variations, whether humankind has contributed significantly to it, and whether the increase is wholly or partially an artifact of poor measurements. Additional disputes concern estimates of climate sensitivity, predictions of additional warming, and what the consequences of global warming will be. The controversy is significantly more pronounced in the popular media than in the scientific literature, where there is a consensus that recent global warming is mostly attributable to human activity.

The end